

**Հ**ԱՅԱՍՏԱՐԻ ՔԻՄԻԱԿԱՐ ՀԱՐԴԵՍ

Химический журнал армении

CHEMICAL JOURNAL OF ARMENIA

#### **Խ**ՄԲԱԳՐԱԿԱՆ ԿՈԼԵԳԻԱ

Վ. Դ. Ազատյան *(խմբագրի տեղակալ)*, Ա. Ա. Ալչուջյան, Հ. Գ. Բաբայան, Գ. Տ. Թաղևոսյան *(պատ. խմբագիր)*, Վ. Մ. Թառայան, Ա. Մ. Հակոբյան, Հ. Ա. Հարոյան, Մ. Գ. Մանվելյան, Հ. Հ. Չալրիկյան, Ս. Հ. Վարդանյան, Տ. Վ. Քրմոյան

*ամրագրության վարիչ*՝ Ա. Ա. Դավթյան

#### РЕДАКЦИОННАЯ КОЛЛЕГИЯ

В. Д. Азатян (зам. редактора). А. Н. Акопян, А. А. Алчуджан, А. А. Ароян, Г. Г. Бабаян, С. А. Вартанян, Т. В. Крмоян, М. Г. Манвелян, В. М. Таранн, Г. Т. Татегосян (ответ. редактор), О. А. Чалтыкин

Зав. редакцией: А. А. Давтян

мармары Рушь Амадыс времы, Рыпыциаль Рушь, 24 Адрес редакции: Ереван, Барекамутян, 24

#### ОБЩАЯ И ФИЗИЧЕСКАЯ ХИМИЯ

УДК 541.14+542.943+547.211

Образование метилового спирта при фотохимическом, сенсибилизированном парами ртути окислении метана

М. Д. Мусеридзе, А. А. Манташян и А. Б. Налбандян

Изучено фотохимическое, сенсибилизированное парами ртути окисление метана в струевых условиях при температуре 250°C.

Показано, что нараллельно с ранее известными промежуточными продуктами реакции — гидроперекисью метила и формальдегидом образуется также метиловый спирт.

В цепной схеме окисления углеводородов [1] образование промежуточных продуктов объясняется конкуренцией двух типов реакций перекисных радикалов: бимолекулярная реакция перекисного радикала с исходным углеводородом приводит к образованию соответствующих гидроперекисей, а мономолекулярная реакция изомеризации и распада перекисного радикала — к образованию альдегидов и спиртов. Согласно этой схеме, при окислении метана возможно образование только двух промежуточных продуктов — гидроперекиси метила по реакции:

$$CH_3OO + CH_4 \longrightarrow CH_2OOH + CH_3,$$
 (1)

и формальдегида, по реакции:

$$CH_3OO \longrightarrow CH_2O + OH.$$
 (2)

Именно эти продукты и идентифицированы при фотохимическом окислении метана [1]. Метиловый же спирт при окислении углеводородов может образоваться, если число атомов углерода в углеводородной цепочке больше единицы. Так, при окислении этана, этильный перекисный радикал может изомеризоваться и распадаться двояко [2]; с образованием ацетальдегида по реакции

$$C_2H_5OO \longrightarrow C_2H_4O + OH;$$
 (2')

и формальдегида по реакции

$$C_2H_5OO \longrightarrow CH_2O + CH_3O.$$
 (2")

Метоксильный радикал СН,О затем по реакции

$$CH_3O + C_2H_6 \longrightarrow CH_3OH + C_2H_5$$

приводит к образованию метилового спирта.

Между тем известно, что при термическом окислении метана (выше 400°С), наряду с формальдегидом (главным промежуточным продуктом реакции при термическом окислении), в заметных количествах образуется и метиловый спирт [3, 4]. Известно также, что с увеличением давления метана в исходной смеси выход метилового спирта возрастает [5]. Основываясь на данных работы [5], Иост [6] приходит к заключению, что в этих условиях метиловый спирт образуется в реакции, порядок которой на единицу выше порядка реакции образования формальдегида. Исходя из этого, Иост, а позже и Воеводский [7], постулируют следующую схему образования метилового спирта при окислении метана:

$$CH_3OO + CH_4 \longrightarrow CH_3OH + CH_3O,$$
 (3)  
 $CH_3O + CH_4 \longrightarrow CH_3OH + CH_3.$ 

Таким образом постулируется бимолекулярная реакция метильного перекисного радикала с метаном, аналогичная реакции (1), но приводящая к образованию метилового спирта.

К сожалению специальных исследований, четко подтверждающих или опровергающих данную гипотезу, не проводилось, и не установлено, каков истинный механизм образования метилового спирта, какова роль элементарной реакции, приводящей к образованию метилового спирта в общей схеме окисления метана. Выполненные кинетические исследования посвящены в основном установлению роли метилового спирта, как промежуточного продукта, в процессе вырожденного разветвления [4, 8].

Согласно изложенному, если постулированная Иостом и Воеводским реакция (3) на самом деле протекает, она должна конкурировать с реакцией (1). Однако реакция (1) в свою очередь конкурирует с реакцией (2). В связи с этим интересно сопоставить данные по конкуренции реакций (1) и (2) с экспериментальными данными по накоплению метилового спирта и формальдегида при высокотемпературном окислении метана и, тем самым, судить о возможной конкуренции гипотетической реакции (3) с реакцией (1). В работе [4], где изучалась кинетика накопления формальдегида и метилового спирта при инициированном окислении метана в струевых условиях при  $T=650^{\circ}\mathrm{C}$ и содержании метана 25% в исходной смеси (опыты проводились при атмосферном давлении), в продуктах реакции формальдегида обнаруживается в 10 раз больше чем метилового спирта. Поскольку данных по накоплению гидроперекиси в указанной работе нет, интересно оценить, во сколько раз в этих условиях количество формальдегида должно превосходить количество гидроперекиси метила. Отношение скоростей образования этих продуктов выразится следующим уравнением:

$$\frac{W_{(2)}}{W_{(1)}} = \frac{K_2 (CH_3OO)}{K_1 (CH_3OO)(CH_4)} = \frac{K_2}{K_1} \frac{1}{(CH_4)}.$$

 $\frac{K_*}{K_1}$ , определенное при фотохимическом окислении метана [9], составляет  $2.5 \cdot 10^{22} \, e^{-\frac{8500}{RT}}$ .

Отсюда, при указанных выше условиях  $\frac{W_{(2)}}{W_{(1)}} \approx 125$ , т. е. в продуктах реакции формальдегида должно быть в 125 раз больше, чем гидроперекиси метила. Поскольку в этих условиях формальдегида образуется всего в 10 раз больше метилового спирта, то отсюда гипотетическая реакция (3) должна протекать в  $\approx 12.5$  раз быстрее реакции (1). Если эту разницу в скоростях реакций (1) и (3) приписать энергиям активации, то окажется, что  $E_1 - E_3 \approx 4$  ккак/моль. Конечно, могут отличаться и предэкспоненциальные множители констант скоростей указанных реакций.

Таким образом, исходя из приведенной оценки, можно заключить, что если бимолекулярная реакция метильного перекисного радикала с метаном может приводить и к образованию метилового спирта, то при низких температурах, наряду с гидроперекисью метила, должен обнаруживаться метиловый спирт, по крайней мере, в соизмеримых количествах.

Представляется интересным, с этой точки зрения, исследование фотохимической реакции окисления метана.

Следует отметить, что при фотохимической генерации метильных радикалов в присутствии кислорода и доноров водорода в продуктах реакции обнаруживается метиловый спирт [10]. Этот факт также говорит о возможности образования метилового спирта при фотохимическом окислении метана.

# Экспериментальная часть

Опыты проводились на фотохимической вакуумной струевой установке, подобной описанной ранее [11]. Источник света — ртутнокварцевая лампа ПРК-2, помещалась внутри реактора, состоящего из цилиндрических кварцевых трубок, связанных между собой коаксиально. Конструкция такого реактора подробно описана в работе [9].

С целью исключения вторичных процессов, опыты проводились при малых временах контакта, исчислявшихся секундами. Продукты реакции по ходу процесса вымораживались в стеклянных ловушках, погруженных в жидкий азот. Для накопления продуктов реакции в больших количествах в отдельных опытах к установке (после ловушек, погруженных в этом случае в охладительную смесь с температурой —104°С) подключался стеклянный циркуляционный насос с магнитным приводом. Таким образом, осуществлялось многократное.

прохождение смеси через реактор и тем самым обеспечивалось непрерывное облучение реагирующей смеси в струевых условиях в течение долгого времени (время контакта в этих условиях не контролировалось). Опыты проводились при  $T=250\,^{\circ}\mathrm{C}$ . Кислород в реагирующей смеси во всех случаях составлял  $10^{\circ}/_{\circ}$ . Гидроперекись метила в продуктах реакции определялась йодометрически, а формальдегид — колориметрически, с использованием хромотроповой кислоты [9].

Для установления наличия метилового спирта в продуктах реакции применялись инфракрасная спектроскопия и газожидкостная хроматография. Систематические анализы на метиловый спирт производились хроматографически, на хроматографе ХЛ-3. Колонка была заполнена триэтиленгликолем. Температура колонки 84°С, а температура испарителя 200°С. Скорость потока газа-носителя (гелия) поддерживалась постоянной и равнялась 6,9 л/час, при давлении на входе в колонку 1,5 кг/см². Конденсат, полученный в опытах, вводился в колонку хроматографа в виде водных растворов.

# Результаты и их обсуждение

Для установления наличия метилового спирта в продуктах реакции методом инфракрасной сректроскопии реагирующая смесь при давлении 100 мм рт. ст. в циркуляционных условиях в течение 8 часов подвергалась облучению. Вымороженные продукты реакции в вакууме испарялись в заранее эвакуированную кювету спектрофотометра ИКС-14. На рисунке 1 приводится спектрограмма продуктов реакции (а), полученная в характерной области полос поглощения деформационных и валентных колебаний О—Н и С—О связей в молекулах первичных спиртов [12]. Для сравнения снят также спектр паров чистого метилового спирта, не содержащих других примесей (б). Как видно из сопоставления приведенных спектрограмм, характерные полосы поглощения в обоих случаях совпадают. Добавление паров спирта непосредственно к продуктам реакции привело только к увеличению интенсивностей полос поглощения. Данные представлены на рисунке 2.

Ввиду наличия в продуктах реакции молекул гидроперекиси метила, которые также содержат О—Н и С—О связи, можно предположить, что в приведенных спектрограммах могло иметь место наложение полос поглощения. Поэтому строгим доказательством присутствия метилового спирта в продуктах реакции служит хроматографический анализ.

Опыты в дальнейшем проводились в струевых условиях (не в циркуляционных) при давлении реагирующей смеси в 50 мм рт. ст.

Для сопоставления, на рисунке 3 приводятся хроматограммы метилового спирта, полученные при вводе в колонку водных растворов чистого спирта (1), конденсата, полученного в спирте, и того же конденсата, в котором гидроперекись метила разлагалась с помощью

MnO<sub>2</sub> (3). Как видно из сопоставления хроматограмм (2) и (3), разложение гидроперекиси метила привело только к увеличению количества метилового спирта (известно, что MnO<sub>2</sub> разлагает гидроперекись метила до метилового спирта и формальдегида [13]).

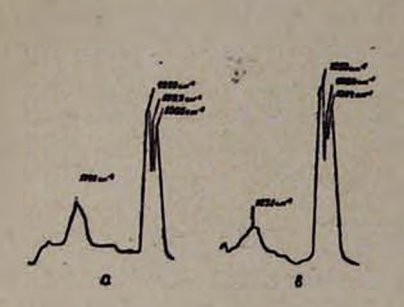


Рис. 1. Спектрограмма метилового спирта, полученная на ИКС-14. а) в продуктах реакции, б) чистого метилового спирта.

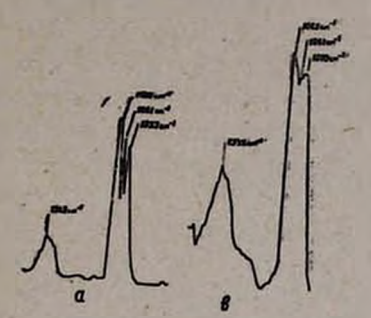


Рис. 2. Спектрограмма метилового спирта, полученная на ИКС-14. а) в продуктах реакции; б) в продуктах реакции с добавкой чистого метилового спирта.

Таким образом, совокупность полученных данных говорит о том, что при фотохимическом окислении метана в продуктах реакции наряду с гидроперекисью метила и формальдегидом, обнаруживается и метиловый спирт.

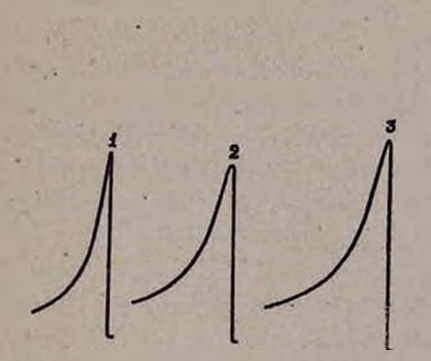


Рис. 3. Хроматограммы метилового спирта. 1 — чистого; 2 — полученного в опыте; 3 — после разложения гидроперекиси метила (в этом случае пробы взято вдвое меньше).

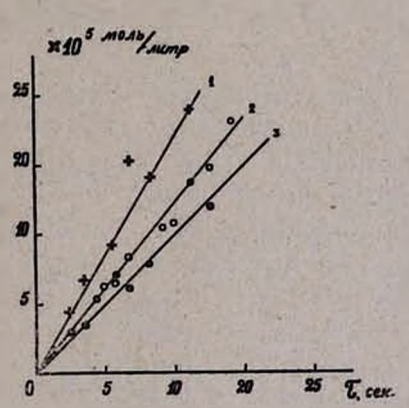


Рис. 4. Кинетика накопления продуктов реакции. 1— метилового спирта; 2— гидроперекиси метила; 3— формальдегида.

На рисунке 4 представлены данные по кинетике накопления метилового спирта (1), гидроперекиси метила (2) и формальдегида (3). Как видно, выход всех трех продуктов линейно возрастает с увеличением времени контакта. Наблюдаемая кинетика накопления гидро-

перекиси метила и формальдегида хорошо согласуется с существующими данными [2, 9].

Из приведенных данных можно сделать вывод о том, что все три продукта образуются одновременно, по независимым путям.

Таким образом, при фотохимическом окислении метана параллельно с гидроперекисью метила и формальдегидом в значительном количестве образуется метиловый спирт. Для того, чтобы установить какая именно реакция приводит к образованию метилового спирта необходимы подробные кинетические исследования. Такие исследования нами начаты. По предварительным данным оказалось, что метиловый спирт образуется и при комнатной температуре; кроме того, выход его с увеличением температуры возрастает вплоть до 300°С.

В заключение выражаем свою благодарность А. Мушегяну за помощь при проведении спектрального анализа.

Лаборатория химической физики АН АрмССР

Поступило 12 VII 1966

# ՄԵ<mark>ՔԱՆԻ՝ ՍՆԴԻԿԻ ԳՈԼՈՐՇԻՆԵՐՈՎ ԶԳԱՅՈՒՆԱՑՎԱԾ</mark> **ՕՔՍԻԴԱՑՄԱՆ ԸՆ**ՔԱՑՔՈՒՄ ՄԵ<del></del>ՔԻԼԱՅԻՆ ԱԼԿՈՀՈԼԻ ԳՈՅԱՑՈՒՄ

Մ. Դ. Մուսերիձե, Ա. Հ. Մանթաշյան և Ա. A. Նալբանգյան

# Udhnhnid

առաջանում է նաև մեթիլալին ալկոհոլ (որը իրոք առաջանում է)։

Համաձալն ածխաջրացինների օքսիդացման չվթական շվթալական սխեմալի, մե
հանկ ֆոտոքիմիական օքսիդացման գլխավոր միջանկլալ պրոդուկներ պետք և

իրականում գոլանում են)։ Միաժամանակ հայտնի է, որ մեթանի ջերժալին

գ հանդիսանան ընթացքում (400°-ից բարձր ջերմաստիճաններում) գլխավոր

գ հանդիսանանն ածխաջրում (400°-ից հարձա միասին նկատելի ջանակներով

հարձանկլալ արոգուկտ ֆորմալդեհիդի հետ միասին նկատելի ջանակներով

Ներկա աշխատանքում ցույց է տրված, որ մեթանի՝ սնդիկի դոլորջիներով ղդալունացված ֆոտոքիմիական օքսիդացման ընթացքում մեթիլի հիդրոպերօքսիդի և ֆորմալդեհիդի հետ միասին դոլանում է նաև մեթիլալին ալկոհոլ։ Փորձերը կատարված են  $T=250^{\circ}\mathrm{C}$ , P=50 մմ  $\mathrm{Hg}$  ( $\mathrm{CH_4}-45$  մմ  $\mathrm{Hg}$ ,  $\mathrm{O_2}-5$  մմ  $\mathrm{Hg}$ ) պալմաններում։

Ուսումնասիրել ենք պրոդուկաների կուտակման կինետիկան շիթալին պալմաններում։ Ստացված տվլալներից հետևում է, որ մեթիլալին ալկոհոլը դոլանում է անկախ ճանապարհներով մեթիլի հիդրոպերօքսիդի և ֆորմալդեհիդի հետ միաժամանակ։ Գարզելու համար, Թե ինչպիսի ռեակցիալի հետևանջով է առաջանում ալկոհոլը, անհրաժեշտ են մանրամասն կինետիկական հետադոտություններ։

#### ЛИТЕРАТУРА

- 1. 11. Семенов. О некоторых проблемах химической кинетики и реакционной способности, АН СССР, Москва, 1958; В. Я. Штери, Механизм окисления углеводородов в газовой фазе, АН СССР, Москва, 1960; Н. В. Фок, А. Б. Нал-бандан, Сборник, Вопросы химической кинетики, катализа и реакционной способности, АН СССР, Москва, 1955.
- 2. Л. А. Манташян, Кандидатская диссертация, ИХФ, АН СССР, Москва, 1962.
- 3. D. M. Newitt, A. E. Haffner, Proc. Roy. Soc., A, 134, 591 (1932). Л. В. Кармилова, Кандидатская диссертация, ИХФ, АН СССР, Москва, 1954.
- 4. Л. В. Кармилова, Н. С. Ениколопян, А. Б. Налбандян, ЖФХ 20, 798 (1956).
- D. M. Newltt, P. Srego, Proc. Roy. Soc., A, 154, 329 (1936); D. M. Newltt, J. B. Gardner, Proc. Roy. Soc., A, 147, 555 (1934).
- W. Jost, Z. Elektrochem., 41, 232 (1935); В. Иост., Взрыв и горение в газах, ИЛ., Москва, 1952.
- 7. В. В. Воеводский, Докторская диссертация, ИХФ АН СССР, Москва, 1954.
- 8. Н. С. Ениколопян, Докторская диссертация, Москва, ИХФ АН СССР, 1959.
- 9. А. Л. Манташян, Р. И. Мошкина, А. Б. Налбандян, Изв. АН АрмССР, XH, 14, 158, 1961.
- 10. M. Barber, J. Farren, J. W. Linnet, Proc. Roy. Soc., 274, 306 (1963).
- 11. А. А. Манташян, А. Б. Налбандян, Изв. АН АрмССР, ХН, 14, 517 (1961).
- 12. Л. Беллами, Инфракрасные спектры молекул, ИЛ, Москва, 1957.
- 13. Э. Дж. Э. Хавкинс, Органические перекиси, "Химия", Москва—Ленинград (1964).

XIX, № 11, 1966

УДК 541.127+547.554+547.582.3-

# Влияние некоторых кислот на кинетику реакции перекиси бензоила с бензиламином в бензольных растворах

Н. М. Бейлерян, Ф. О. Карапетян и О. А. Чалтыкян

Установлено, что в присутствии кислот, катализирующих реакцию перекись бензонла — бензиламин, скорость реакции описывается уравнением

## $W = K(P)(A)(HA)^n$ ,

где в ≈ 0,5. Кислоты с константой диссоциации порядка 10<sup>-5</sup> ликвидируют начальный, замедленный период реакции. Найдена прямолинейная зависимость между обратными величинами эффективной константы скорости расхода, перекиси и концентрации взятой кислоты. В присутствии кислот-катализаторов снижается эффективная внергия активации.

Нами установлено (I), что при реакции перекиси бензоила (P) с бензиламином (A) в бензоле расходование перекиси протекает с начальным замедленным периодом, и кислоты с константой диссоциации (К<sub>в</sub>) порядка 10<sup>-5</sup> проявляют ускоряющее действие. Интересно было выяснить механизм действия кислот на указанную реакцию. С этой целью исследовано влияние уксусной, бензойной, фенилуксусной, тиоуксусной, триметилуксусной, хлоруксусной и трихлоруксусной кислот на кинетику реакции. Последние две кислоты отличаются от остальных тем, что они сильнее них.

# Экспериментальная часть

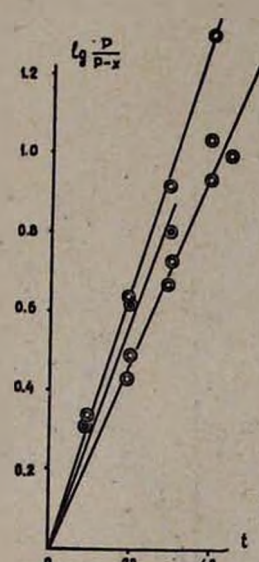
Скорость расходования перекиси бензоила определялась иодометрически. Опыты ставились при постоянной температуре с точностью  $\pm\,0.05^{\circ}$ C.

# Определение порядка реакции перекись бензоила + бензиламин в присутствии уксусной кислоты (УК)

Опыты ставились при 20°С и с начальными концентрациями реагентов: (P) $_0 = 5 \cdot 10^{-3}$  моль/ $\Lambda$ ., (A) $_0 = 5 \cdot 10^{-2}$  моль/ $\Lambda$ ., (УК) $_0 = 3 \cdot 10^{-3}$  моль/ $\Lambda$ . Как следует из рисунка 1, скорость реакции описывается уравнением:

$$\frac{dx}{dt} = K \cdot [A]_0^n \cdot [P] = K'(P)$$
, где  $K' = K(A)_0^n$ , так как  $(A)_0 \gg (P)_0$ .

Рисунок 2 в координатах K' (мин $^{-1}$ ) и (A)<sub>0</sub> [моль/n] указывает на то, что n=1, т. е. порядок реакции по бензиламину такжепервый.



трации бензиламина (A) на скорость распада перекиси бензоила. ()—(A) $_0$ =8·10 $^{-2}$  моль· $_a$ -1; (•)—(A) $_0$ =6·10 $^{-2}$  моль· $_a$ -1; (•)—(A) $_a$ =5·10 $^{-2}$  моль· $_a$ -1.

Рис. 1. Влияние концен-

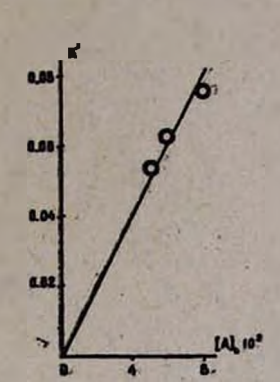


Рис. 2. Зависимость эффективной константы скорости K' мин<sup>-1</sup> от начальной концентрации бензиламина (A)<sub>0</sub> (моль  $A^{-1}$ ).

Интересно отметить, что реакция в присутствии УК протекает без начального медленного периода.

Влияние температуры на скорость расходования перекиси бензоила под действнем бензиламина в отсутствии и в присутствии уксусной кислоты

Опыты ставились при различных температурах. Полученные данные приведены на рисунке 3.

Из рисунка 3 следует, что в отсутствии уксусной кислоты до 35°С начальный медленный период не снимается. Рисунок 4 показывает, что в присутствии уксусной кислоты не только ликвидируется начальный медленный период, но не меняется и порядок реакции по перекиси бензоила. Экспериментальные данные удовлетворяют уравнению Аррениуса.

Температурная зависимость реакции в отсутствии уксусной кислоты выражается уравнениями:

$$K = 3.7 \cdot 10^8 \exp\left(-\frac{12210}{RT}\right) _{\Lambda \cdot \text{МОЛЬ}^{-1} \text{ МИН}^{-1}}$$
,

а в присутствии уксусной кислоты

$$K = 7 \cdot 10^6 \exp^{\left(-\frac{9100}{RT}\right)} \Lambda \cdot \text{MOJ}^{-1} \text{MHH}^{-1}$$
.

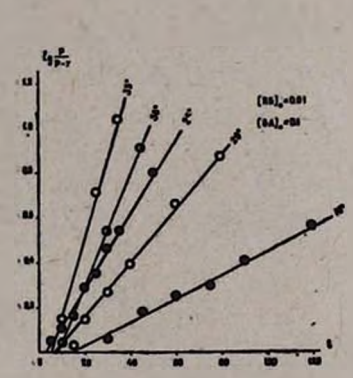


Рис. 3. Влияние температуры на скорость реакции перекись бензоила — бензиламин в отсутствии уксусной кислоты в условиях:

$$(P)_0 = 0.01$$
 моль  $\cdot a^{-1}$  и  $(A)_0 = 0.1$  моль  $\cdot a^{-1}$ .

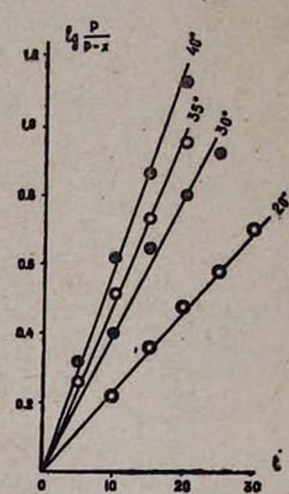


Рис. 4. Влияние температуры на скорость реакции перекись бензоила—бензиламин в присутствии уксусной кислоты в условиях:

$$(P)_0 = 5 \cdot 10^{-3}$$
 моль  $\cdot \Lambda^{-1}$ ,  $(A)_0 = 5 \cdot 10^{-2}$  моль  $\cdot \Lambda^{-1}$  и  $(YK)_0 = 3 \cdot 10^{-3}$  моль  $\cdot \Lambda^{-1}$ .

# Сравнение действия некоторых кислот на кинетику реакции перекись бензоила + бензиламин

'Опыты ставились при 35°С и при начальных концентрациях реагентов:  $(P)_0 = 5 \cdot 10^{-3}$  моль/ $\Lambda$  и  $(A)_0 = 5 \cdot 10^{-2}$  моль/ $\Lambda$ . Полученные данные приведены в таблице 1.

Из данных таблицы 1 следует, что ускоряющее влияние взятых нами кислот выражается рядом: тиоуксусная > триметилуксусная > уксусная > фенилуксусная > бензойная.

Данные таблицы 1 удовлетворяют эмпирическому уравнению:

$$\frac{1}{K_{\text{bd.}}} = a + \frac{b}{(\text{HA})},\tag{1}$$

где  $K_{\bullet\bullet}$ , эффективная константа скорости, определенная по данным иодометрического анализа, выраженная в  $n \cdot \text{моль}^{-1}$  мин $^{-1}$ ,  $a^*$  — отрезок на ординате, полученный экстраполяцией прямой,  $b^*$  — тангенс угла наклона прямых  $1/K_{\bullet \Phi}$ . — 1/(HA) и (НА) концентрация взятой кислоты в моль  $n \cdot n^{-1}$ .

Таблица	1
---------	---

10-5			С <sub>НА</sub> ·103 моль/л							
× 10	Кислоты (НА)	1	1 1,7 3 5 10 15 20							
×	()	Эффе	Эффективная константа скорости в л/моль мин							
1,75	Уксусная	-	0,91	1,20	1,58	2,14	_	-	0,50	
6,30	Бензойная	-	-	0,83	0,95	1,20	-	1,56	0,33	
4,88	Фенилуксусная	_	-	1,08	1,38	1,68	1,75	2,21	0,4	
47,0	Тиоуксусная	1,61	1,84	2,5	2,86	_	_	-	0,33	
140	Хлоруксусная	-	_	0,50**		_		_		
13000	Трихлоруксусная	-	-	0,46**	-	-	-	-	77.7	
0,89	Триметилуксусная	1,21	1,38	2,00		7 70 7			0,41	
1	в отсутствин кис- лоты				0,89	1000			1 3	

• Порядок реакции по кислотам определен на основании данных таблицы 1.

\*\* В случае монохлор- и трихлоруксусной кислот распад перекиси бензонла протекает с начальным медленным периодом.

Значения как a, так и b зависят от природы взятой кислоты (см. рис. 5).

# Обсуждение результатов

Как следует из данных таблицы 1, скорость реакции перекись бензоила + бензиламин в бензоле, определенная по убыли концентрации (Р) во времени, увеличивается в присутствии кислот с константой диссоциации порядка  $10^{-5}$ . В присутствии хлоруксусной и трихлоруксусной кислот ( $K_{xyx} = 1.4 \cdot 10^{-3}$  и  $K_{\tau xyx} = 1.3 \cdot 10^{-1}$ ) упомянутая реакция не только замедляется, но и протекает с начальным медленным периодом (рис. 6):

Ускоряющее действие уксусной кислоты начинается с концентрации  $1,7\cdot 10^{-3}$  моль  $\cdot \Lambda^{-1}$ , а бензойной кислоты с концентрации  $5\cdot 10^{-3}$  м/ $\Lambda$  при  $35^{\circ}$ С. По этой причине не наблюдается каталитического эффекта бензойной кислоты (БК) за счет ее образования в ходе реакции при  $(P)_0 = 5\cdot 10^{-3}$  моль  $\cdot \Lambda^{-1}$ . Как следует из приведенных экспериментальных данных, скорость реакции в присутствии кислот выражается эмпирическим уравнением:

$$\frac{dx}{dt} = K_{s\phi}. (P) \cdot (A)_0, \tag{2}$$

где  $K_{в ф}$ . является функцией от концентрации взятых кислот. Из уравнения (1) получаем:

$$K_{\mathsf{s}\phi} = \frac{(\mathsf{H}\mathsf{A})}{b + a \cdot (\mathsf{H}\mathsf{A})} \,. \tag{3}$$

Из уравнения (3) следует, во-первых, что порядок реакции по кислоте (п) должен быть в интервале 0 < n < 1. Во-вторых, с увеличе-

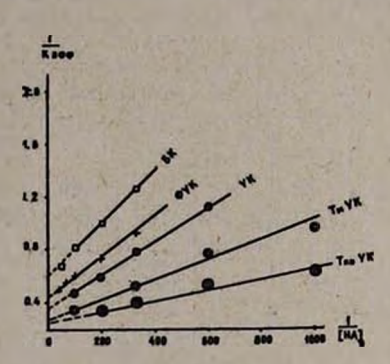


Рис. 5. Зависимость обратных величин эффективной константы скорости от концентрации взятой кислоты-катализатора. (БК) — Бензойная кислота. (ФУК) — Фенилуксусная кислота. (ТМУК) — Триметилуксусная кислота, (ТиоУК) — Тиоуксусная кислота, (ТиоУК) — Тиоуксусная кислота.

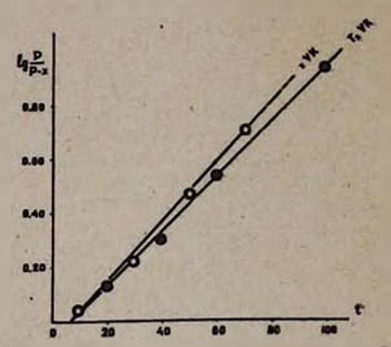


Рис. 6. Влияние хлоруксусной (ХУК) и трихлоруксусной (ТХУК) кислот на скорость реакции перекись бензоила—бензиламин.

нием концентрации кислоты обратная величина эффективной константы скорости стремится к постоянному значению. Следовательно, в отличие от других аминов, соль бензиламина способна вступать в реакцию с перекисью бензоила. Из данных таблицы 1 и рисунка 5 вытекает, что в действительности порядок реакции по различным кислотам ~0,5. Предварительные опыты показали, что соли бензиламина (бензоат и ацетат бензиламмония) реагируют с перекисью бензоила с измеримой скоростью.

В присутствии кислоты значительно уменьшается эффективная энергия активации. Значение предэкспонента также уменьшается. Увеличение скорости реакции за счет уменьшения эффективной энергии активации больше, чем уменьшение скорости за счет уменьшения предэкспонента.

Ереванский государственный университет Кафедра физической химии

Поступило 17 XII 1965

# ՄԻ ՔԱՆԻ **Թ**ՔՈՒՆԵՐԻ ԱԶԴԵՑՈՒԹՅՈՒՆԸ <mark>ԲԵՆԶՈԼԱՅԻՆ ԼՈՒ</mark>ԾՈՒՅ**ՔՆԵՐՈՒՄ ԲԵՆԶՈՒԼԻ ՊԵՐՕՔՍԻԴ-ԲԵՆԶԻԼԱՄԻՆ** ՌԵԱԿՑԻԱՅԻ ԿԻՆԵՏԻԿԱՅԻ ՎՐԱ

**Ն. Մ. Բեյլեւյան, Ֆ. Հ. Կաւապեսյան և Հ. Հ. Չալթիկյան** 

## Цифпфпей

Մեր հետազոտութվուններից հետևում է, որ բենզոլալին լուծուլթներում բենզոիլի պերօքսիդ—բենզիլամին ռեակցիան կատալիզվում է բենզոլում բենզոիլի պերօքսիդ—բենզիլամին ռեակցիան կատալիզվում է բենզոլում լուծվող թթուներով, որոնց թթվալին դիսոցման հաստատունը  $10^{-5}$  կարգի մեծություն է։ Թթուների ազդեցությունն սկսվում է մի կոնցենտրացիալից, որի արժեքը կախված է վերցրած թթվի բնուլթից։ Գետք է նշել նաև, որ կատալիտիկ ազդեցությամբ օժտված թթուների ներկալությամբ հիշլալ ռեակցիան ընթանում է առանց նախնական դանդաղ տիրուլթի, ըստ որում ռեակցիան արադությունն արտահալավում է  $W=K_{t+}$ . [P] [A] հավասարու-

and, number 
$$\frac{1}{K_{t+.}}=a+b/[HA]$$
:

դանդաղում՝ նախաէքսպոնհնար ւիոքրացմուն հետևանջում։

Հանդաղում է տեսիցիալի էֆեկտիվ ակտիվացման էներգիան, Թեև միա-Համանակ փոքրանում է նախաէքսպոնենսը։ Ալնուամենալնիվ ռեակցիան Հանդանում՝ նախաէքսպոնին ակտիվացման շներգիալի նվազման, քան Հանդաղում՝ նախաէքսպոնննար փոքրացմուն հետևանջում։

#### ЛИТЕРАТУРА

1. Н. М. Бейлерян, Ф. О. Карапетян, О. А. Чалтыкян, Арм. хим. ж., 19, 128 (1966).

XIX. № 11, 1966

УДК 621.355.8:573.311.3

# Исследование электропроводности гидрата закиси никеля

#### л. Н. Сагоди и С. А. Алешкевич

Сняты термограммы гидрата закиси никеля, приготовленного по Брауеру, прокаленного при температуре 383°К до постоянного веса и насыщенного влагой в эксикаторе над водой. Показано, что первый эндотермический эффект обусловлен наличием адсорбционной, гигроскопической. цеолитной и кристаллогидратной влаги, а второй — конституционной. Исследована термическая диссоциация тех же препаратов по убыли веса как в атмосфере воздуха, так и в атмосфере аргона. Сделан вывод, что кислород воздуха при данных условиях не окисляет Ni<sup>2+</sup> в Ni<sup>3+</sup>.

Исследована проводимость гидрата закиси никеля. Показано, что его удельная электропроводность зависит от влажности препарата и с ее уменьшением падает. При  $378^{\circ}$ К она равна —  $8,3\cdot10^{-13}$  сим/м.

Рассчитана энергия активации для гидрата закиси никеля в области собственной проводимости. Она оказалась равной 3,75·10<sup>10</sup> дж. Выведено уравнение для удельной электропроводности гидрата в области собственной проводимости.

Окисно-никелевый электрод щелочного аккумулятора состоит из гидрата закиси никеля с токопроводящей добавкой (графит, лепестковый никель или пористая никелевая основа), служащей для подвода и отвода электронов из зоны реакции.

Как было отмечено Креннелем и Ли [1] и обосновано Кучинским и Эршлером [2] при изучении единичного зерна гидрата закиси никеля, он может быть использован в качестве активного вещества только при постоянном надежном контакте с токоотводом.

Кучинский и Эршлер считают, что гидрат закиси никеля является изолятором с удельным сопротивлением 10° ом м, электропроводность у которого появляется в процессе заряжения после внедрения в решетку гидрата закиси никеля "активного кислорода". Этого мнения придерживаются Скалозубов [3], Багоцкий и Флеров [4], Дасоян [5] и другие. Однако, ссылаясь на то, что гидрат закиси никеля имеет удельное сопротивление 10° ом м, авторы не указывают первоисточника этих данных.

Исходя из этого, и учитывая важность истинных данных об удельном сопротивлении гидрата закиси никеля, мы провели опыты по проверке этой величины.

При снятии зависимости  $\sigma = f(T)$  ( $\sigma$  — удельная электропроводность, а T — абсолютная температура) мы столкнулись с тем, что электропроводность гидрата закиси никеля зависит не только от тем-

пературы, но и от наличия в системе влаги. Поэтому, предварительно были проведены опыты по изучению термической диссоциации в зависимости от различной степени влажности исследуемого препарата.

Гидрат закиси никеля готовился по методике, приведенной в монографии Брауера [6] и у Хюттига и Петера [7] с использованием химические чистых веществ. На спектрограмме гидрата закиси никеля, снятой на установке ИСП-28, наличия примесей обнаружено не было. На рисунке 1 приведена термограмма гидрата закиси никеля, прокаленного при температуре 383°К до постоянного веса, а на рисунке 2 — термограмма того же препарата, но выдержанного послепрокаливания несколько дней в эксикаторе над водой.

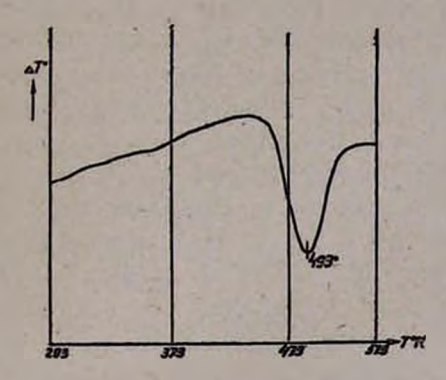


Рис. 1. Термограмма Ni(OH)<sub>2</sub>, приготовленного по Брауеру и прокаленного при 383°K до постоянного веса.

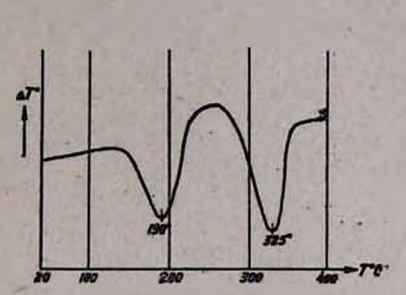


Рис. 2. Термограмма Ni(OH)<sub>2</sub>, приготовленного по Брауеру и насыщенного, после прокаливания при 383°К до постоянного веса, в эксикаторе над водой.

Для снятия термограмм использовался фоторегистрирующий пирометр Курнакова, типа ФПК-55. Эталонное вещество — глинозем... Скорость нагревания 4—11 градусов в минуту.

На последней термограмме мы наблюдаем два эндотермических эффекта. Первый соответствует удалению адсорбционной, гигроскопической, цеолитной и кристаллогидратной влаги, а второй эндотермический эффект отражает реакцию термической диссоциации. Веществоначинает терять химически связанную (конституционную) воду, так как давление диссоциации достигло внешнего давления и начался процесс, аналогичный кипению [8].

На рисунке 3 представлены кривые термической диссоциации гидрата закиси никеля. Для их снятия использовалась установка, в которой применен тензометрический метод автоматического контроля изменения веса образца с электромостовой схемой [9]. По оси абсцисс отложена температура в градусах Кельвина, а по оси ординат — потеря веса образца по отношению к первоначальному весу. Изменение веса образца  $\Delta P$  вычислялось по формуле:

$$\Delta P^{0}/_{0} = \frac{P_{0} - P_{t}}{P_{0}}, \tag{1}$$

где  $P_0$  — вес образца при начальной температуре,  $P_t$  — вес образца при данной температуре.

При нагревании гидрата закиси никеля, приготовленного по Брауеру и насыщенного после прокаливания в эксикаторе над водой

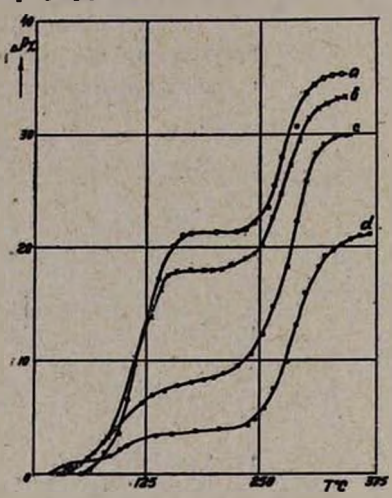


Рис. 3. Кривые термической диссоциации гидрата закиси никеля.

(рис. 3, а), вначале наблюдается резкое изменение веса связанное с потерей адсорбционной, гигроскопической, цеолитной кристаллогидратной влаги. Затем, в интервале температур 423-493°K, наблюдается площадка, характеризующаяся независимостью образца от температуры, и снова резкая потеря веса образца, связанная с его разложением. Таким образом, в интервале температур 423-493 К (горизонтальная площадка, параллельная оси абсцисс) мы достигаем такого состояния, когда в образце нет наличия влаги, кроме влаги, пошедшей на образование гидрата.

На рисунке 3, b представлена кривая термической диссоциации того же препарата, но в атмосфере аргона. При сравнении этих кривых не наблюдается никакой разницы. Следовательно кислород воздуха не окисляет  $Ni^{2+}$  в  $Ni^{3+}$ .

На рисунке 3, d представлена кривая разложения того же препарата в атмосфере аргона, но перед этим он был выдержан несколько дней в атмосфере воздуха, а на рисунке 3, c — кривая разложения гидрата закиси никеля, приготовленного на Курском аккумуляторном заводе и хранившемся в атмосфере воздуха неопределенно длительное время. Термическая диссоциация была проведена в атмосфере аргона.

Из приведенных данных следует, что чем больше содержится влаги в образцах, тем выше горизонтальная площадка. Результаты исследования также показывают, что потеря влаги (за исключением конституционной) происходит при нагревании гидрата закиси никеля во всем интервале температур от 293 до 423°К.

Исследование проводимости гидрата закиси никеля проводилось на таблетках диаметром 20 мм, спрессованных под давлением 24,52·10<sup>7</sup> н/м<sup>2</sup> с выдержкой при максимальном давлении 5 минут. Для создания хорошего контакта испытуемого материала с контактирующими зондами на плоскости таблеток методом катодного напыления

в вакууме [10] наносился слой серебра. Это обеспечивало тесный контакт (зазор не превышает  $10^{-7}$  см) [11], исключающий потери электрической энергии. Для предотвращения искажений силовых линий и поверхностных утечек на поверхности одной из плоскостей таблетки создавалось охранное кольцо [12]. Исследуемый образец помещался в специальный держатель в вакуумном исполнении. На

протяжении всего опыта в нем создавалось разряжение порядка 0,13 н/м² при помощи форвакуумного насоса, типа ВН-461М. Температура замерялась хромель-алюмелевой термопарой в непосредственной близости от образца.

На рисунке 4 представлена зависимость удельной электропроводности от температуры для гидрата закиси никеля. Все кривые сняты на одном образце. Регистрирующий прибор — тераомметр типа Е6-3. Кривые снимались по обратному ходу (охлаждению) для устранения влияния неравномерной скорости нагревания. Первона-

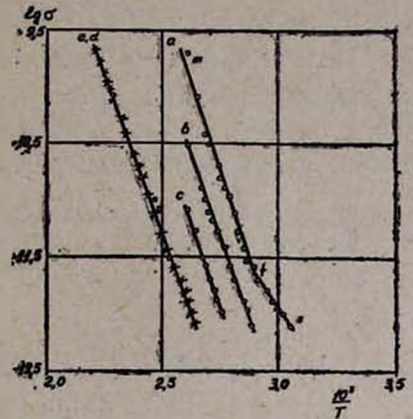


Рис. 4. Зависимость удельной электропроводности от температуры для закиси никеля.

чально образец нагревался примерно до 473°К (температура разложения тидрата закиси никеля 503°К [6]), затем при охлаждении делались замеры, и т. д. до тех пор, пока не были получены воспроизводимые результаты (рис. 4, d и e). Из рисунка видно, что по мере циклирования кривые сдвигаются параллельно друг другу в область с меньшей электропроводностью. Мы объясняем это постепенным удалением всех типов влаги (кроме конституционной).

Исходя из наших измерений, удельная электропроводность гидрата закиси никеля при 378°К составляет 8,3·10<sup>-13</sup> сим/м. При более низкой температуре ее нельзя было замерить вследствие неразрешимости прибора, предел измерения которого 10<sup>14</sup> ом. Увеличение предела измерения на порядок было достигнуто за счет увеличения отношения площади исследуемого образца к его толщине.

На рисунке 4, a мы видим два участка. Участок fn, характеризующийся примесной проводимостью, и участок fm, характеризующийся собственной проводимостью.

На основании тангенса угла наклона по формуле [13];

$$\sigma = \sigma_0 e^{-\frac{\Delta E}{2KT}},\tag{2}$$

где  $o_0$  выражает удельную электропроводность (в сим/м) при  $T=\infty$ , когда все валентные электроны диссоциированы, была рассчитана.

энергия активации (т. е. ширина запрещенной зоны) в области собствен-

ной проводимости. Она оказалась равной 3,75-10-19 дж.

Удельная электропроводность (в сим/м) в области собственной проводимости для гидрата закиси никеля удовлетворительно описывается выражением:

$$\sigma = 1883 e^{-\frac{1,355 \cdot 10^4}{T}}.$$
 (3)

Полученные нами величины удельной электропроводности значительно отличаются от ранее опубликованных  $(10^{-7} \text{ сим/м})$ . Очевидно, ошибка прежних измерений заключалась в том, что не была внесена поправка на наличие в образце влаги.

Днепропетровский химико-технологический институт им. Ф. Э. Дзержинского

Поступило 17 IV 1965

# ՆԻԿԵԼԻ ԵՆՔՕՔՍԻԴԻ ՀԻԴՐԱՏԻ ԷԼԵԿՏՐԱZԱՂՈՐԴԱԿԱՆՈՒԹՅԱՆ ՈՒՍՈՒՄՆԱՍԻՐՈՒԹՅՈՒՆ

**Լ. Ն. Սաղ**ոյան և **Ս. Ա. Ա**լեշկևիչ

# Udhnhnid

դերքը ծևով չաժբրանն։ օճոիմի Ֆրևղսգևաֆիարար սշոսշղրասինությեւը՝ չիմեօճոիմն շիդանվել Բ 283<sub>0</sub>-աւղ ղիրչը իաևուր իշկար չառրբին ը տաչվել ծևուկը Հեոիվառանուղ,

8nւլց է տրված, որ առաջին էնդոԹերմիկ էֆեկտը համապատասխա֊ Նում է աղոորդցիոն, հիդրոսկոպիկ, ցեռլիտալին, բլուրեղահիդրատալին

ջրերին, իսկ հրկրորդը՝ կոնսաիտուցիոն ջրին։

Ուսում նասիրված է նույն նլութերի ջերմալին դիսոցումը ինչպես օդում, այնպես էլ արդոնի մ թնոլորտում։ Ինչպես ցույց են տալիս հետազոտութլան արդյուն ջները, օդի թթվածինը տվյալ պալմաններում N<sub>1</sub>+2-ը N<sub>1</sub>3-ի չի օքսիդացնում։

Ուսումնասիրված է նիկելի ցածրարժեք հիդրօքսիդի հաղորդականութիունը։ Յույց է տրված, որ տեսակարար էլեկտրահաղորդականութիունը կախված է նլութի խոնավություն ընկնում է։ Նիկելի ցածրարժեք հիդրօքսիդը կախված է նլութի խոնավություն ընկնում է։ Նիկելի ցածրարժեք հիդրօքսիդը 378° K-ում ունի 8,3 · 10<sup>-13</sup> սիմ/մ տեսակարոս էլեկտրահաղորդականություն։ Նիկելի ցածրարժեք հիդրօքսիդի համար հաշված է ակտիվացման էներդիան Նիկելի ցածրարժեք հիդրօքսիդի համար հաշված է ակտիվացման էներդիան Նիկելի ցածրարժեք նիկելի հրդրօքսիդի համար հավասար է 3,75 · 10<sup>10</sup> ջոուլի։ Նիկելի համար շորարդականության շրջանում ցածրարժեք նիկելի հիդրօքսիդի տեսակարահայության չաման համար դուրս է բերված

#### ЛИТЕРАТУРА

- 1. J. T. Crennel, F. M. Lea, Alkaline Ackumulators. London (1928).
- 2. Е. М. Кучинский, Б. В. Эршлер, ЖФХ, 20, 6 (1946).
- М. Ф. Скалозубов, Активные массы влектрических аккумуляторов, Новочеркасский политех. ин-т, 1962.
- 4. В. С. Багоцкий, В. Н. Флеров, Новейшие достижения в области химических источников тока, Госэнергоиздат, Москва—Ленинград, 1963.
- М. А. Дасоки, Химические источники тока, Госэнергоиздат, Москва—Ленинград, 1961.
- 6. Брауер, Руководство по препаративной неорганической химии. ИЛ, Москва, 1956.
- 7. G. F. Hattig, A. Peter, Z. anorg. Chem., 189, 183 (1930).
- 8. Л. Г. Берг, Введение в термографию, АН СССР, Москва, 1961.
- 9. П. Н. Острик, С. Т. Ростовцев, Известия высших учебных заведений, Черная металлургия, 7 (1961).
- К. В. Чмутов, Техника физико-химического исследования, Госхимиздат, Москва—Ленинград, 1948.
- 11. Полупроводники в науке и технике, т. І, АН СССР, Москва-Ленинград, 1957.
- 12. В. Браун, Диэлектрики, ИЛ, Москва, 1961.
- 13. А. Ф. Иоффе, Физика полупроводников, АН СССР, Москва, 1957.

# 

XIX. № 11, 1966

УДК 541.127+537.311+547.281.2+66.095.25

# Использование метода электропроводности при изучении кинетики полимеризации ацетальдегида

Г. А. Чухаджян, Л. Г. Мелконян, Ю. К. Кабалян, С. М. Восканян и Ю. И. Котикян

Методом измерения электрического сопротивления изучена кинетика стереоспецифической полимеризации ацетальдегида на триизобутилалюминии при —78 в толуоле. Установлено, что электрическое сопротивление системы увеличивается в процессе полимеризации. Зависимость глубины превращения от инкремента сопротивления характеризуется двумя прямолинейными участками с различными наклонами, что свидетельствует об изменении скорости реакции в процессе полимеризации. Измерение удельного электрического сопротивления может служить методом контроля скорости полимеризации ацетальдегида.

Недавно было показано [1], что в присутствии металлорганических катализаторов, при низких температурах ацетальдегид превращается в полимер. Исследования показали, что в отличие от ранее полученного эластичного атактического полиацетальдегида, последний представляет из себя в высокой степени кристаллический полимер с изотактической структурой, нерастворимый ни в мономере, ни в органических растворителях.

Исследование кинетики полимеризации при получении нерастворимого полимера очень затруднено. Было показано [2, 3], что в процессе полимеризации электрическое сопротивление системы изменяется, и такая зависимость может быть использована для изучения кинетики полимеризации. Так, в работе [3] установлено, что при блочной полимеризации стирола величина инкремента сопротивления  $\Delta \rho_{\rm o}$  линейно возрастает с глубиной превращения до  $15^{\rm o}/_{\rm o}$ , согласно соотношению  $C=5.48~\Delta\rho_{\rm o}$ .

В работе Кузьмина и др. [4] для полимеризации стирола предлагается другая зависимость между глубиной превращения и  $\Delta \lg \rho_v$ , которая охватывает еще больший диапазон превращения (до  $70^{\circ}/_{\circ}$ )  $C = A + B \Delta \lg \rho_v$ .

Метод электрического сопротивления дает возможность наблюдать за ходом полимеризации на всем протяжении реакции.

В данной статье приводятся результаты исследования кинетики анионной стереоспецифической полимеризации ацетальдегида по изменению электрического сопротивления. Полимеризация ацетальдегида производилась в среде толуола, с использованием в качестве катализатора раствора  $A1 (изо-C_4H_9)_3$ , при температуре  $-78^\circ$ . Глубину превращения определяли взвешиванием полученного порошкообразного полимера. Рентгенографические исследования показали высокую степень кристалличности полученного полимера.

#### Экспериментальная часть

Очистка растворителя. Толуол несколько раз промывался серной кислотой, разбавленным раствором бикарбоната натрия и после сушки над CaCl<sub>2</sub> дважды ректифицировался в присутствии натрия в атмосфере инертного газа на колонке с эффективностью 20 теоретических тарелок.

Очистка ацетальдегида. Ацетальдегид-ректификат ГОСТ 9585—61, предварительно выдержанный над карбонатом нятрия, ректифицировался на лабораторной колонке с эффективностью 30 теоретических тарелок и высушивался пропусканием через колонку, заполненную молекулярными ситами марки 4A\*. Последующая ректификация производилась в атмосфере инертного газа.

Катализатор. Триизобутилалюминий применялся в виде разбавленного раствора в гептане концентрации 0,19 г/мл.

В качестве полимеризатора служил цилиндрический стеклянный сосуд с никелевыми электродами в виде пластинок (40 × 20 × 1), разделенными фторопластом—4. Расстояние между пластинами составляло 15 мм. Сосуд был снабжен трубками для ввода компонентов полимеризации, а также для инертного газа.

После тщательной продувки системы аргоном, шприцем вводили 20 мл толуола, реактор помещали в сосуд Дьюара с температурой —78°. Через боковую трубку конденсировали 20 мл ацетальдегида, вводили 1 мл катализатора и сразу же производили измерение электрического сопротивления системы при помощи тераомметра типа Е6—3. Вся система вместе с сосудом Дьюара помещалась при этом в экранированный ящик. В каждом опыте через определенные промежутки времени полимеризация прерывалась добавлением метанола. Полимер отделялся от растворителя, промывался метанолом и сушился в вакууме. Выход полимера определялся взвешиванием после сушки с вычетом количества оставшегося в полимере катализатора.

# Результаты и их обсуждение

Опыты показали, что в присутствии триизобутилалюминия полимеризация ацетальдегида при —78° заканчивается в течение 60 минут. Глубина превращения при этом достигает 26%,. На рисунке 1 представлена зависимость логарифма удельного электрического сопротивления (а) и глубины превращения (б) от времени полимеризации ацетальдегида. Из рисунка видно, что основное изменение электрического сопротивления (рис. 1а) происходит в первые 20 минут полимеризации, после чего сопротивление увеличивается незначи-

<sup>\*</sup> Высушивать ацетальдегид необходимо в атмосфере инертного газа, в противном случае имеет место окисление ацетальдегида на поверхности сит. Его очистку необходимо производить весьма тщательно: находящиеся в нем примеси — спирт, вода, уксусная кислота заметно влияют на процесс полимеризации.

тельно. Глубина превращения в первые 20 минут полимеризации достигает  $15^0/_{\rm o}$ , а в оставшиеся 40 минут полимеризации, увеличивается только на  $10-11^0/_{\rm o}$  (рис. 1 б). Эти рассуждения становятся очевидными при рассмотрении зависимости изменения логарифма удельного объемного сопротивления  $\Delta \lg \rho_{\sigma} = \lg \rho_{\sigma} - \lg \rho_{\sigma_o}$  (где  $\rho_{\sigma_o} - \lg \rho_{\sigma_o}$  приходится на глубину

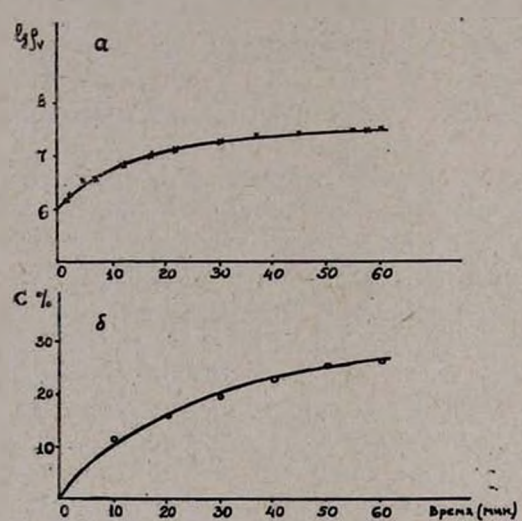


Рис. 1. Зависимость логарифма удельного объемного сопротивления (а) и глубины превращения (б) от времени полимеризации.

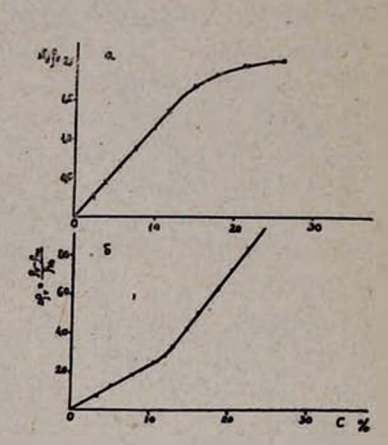


Рис. 2. Зависимость изменения логарифма удельного сопротивления (а) и инкремента сопротивления (б) от глубины превращения.

превращения до  $15^{\circ}/_{\circ}$ . Это показывает, что для различных стадий полимеризации ацетальдегида характерна неодинаковая зависимость  $\rho_{\circ}$  от глубины превращения.

Кривая зависимости инкремента сопротивления от C (рис. 26) имеет два прямолинейных участка — до  $11^{\circ}/_{\circ}$  и от  $14^{\circ}/_{\circ}$  и выше. Для этих участков связь сопротивления с глубиной превращения можно представить следующими соотношениями:

 $C_1=K^\Delta 
ho_\sigma$  до  $11^0/_0$ ,  $C_2=K_2+K_3\,\Delta 
ho_\sigma$  выше  $14^0/_0$  превращения. Подставляя значение констант  $K_1$ ,  $K_2$ ,  $K_3$ , рассчитанные из кривых, получим следующие соотношения, связывающие глубину превращения с инкрементом сопротивления:  $C_1=0.412\,\Delta 
ho_\sigma$  до  $11^0/_0$  и  $C_2=6.4+0.185\,\Delta 
ho_\sigma$  выше  $14^0/_0$ .

Из этих соотношений можно определить скорость полимеризации  $\frac{dc}{dt}$  для всего процесса полимеризации ацетальдегида:

$$rac{dc_1}{dt}=0,412rac{d\Delta
ho_v}{dt}$$
 и  $rac{dc_2}{dt}=0,185rac{d\Delta
ho_v}{dt}$ 

Из приведенных соотношений видно, что анионная стереоспецифическая полимеризация ацетальдегида (в присутствии триизобутилалюминия при —78° в среде толуола) характеризуется двумя участками зависимости скорости от инкремента сопротивления. Вначале полимеризации, т. е. до 11% превращения, скорость процесса примерно в 2,2 раза больше, чем после достижения 14% превращения.

Таким образом, между глубиной превращения, скоростью полимеризации и электрическим сопротивлением системы существует прямолинейная зависимость. Это дает возможность в течение процесса полимеризации судить о глубине превращения и скорости полимеризации по величине измеряемого электрического сопротивления системы.

Всесоюзный научно-исследовательский и проектный институт полимерных продуктов

Поступило 27 VIII 1965

# ԷԼԵԿՏՐԱΖԱՂՈՐԴԱԿԱՆՈՒՔՅԱՆ ՄԵՔՈԴԻ ՕԳՏԱԳՈՐԾՈՒՄԸ ԱՑԵՏԱԼԴԵՀԻԴԻ ՊՈԼԻՄԵՐԱՑՄԱՆ ԿԻՆԵՏԻԿԱՅԻ ՈՒՍՈՒՄՆԱՍԻՐՄԱՆ ՀԱՄԱՐ

Գ. Ա. Ձուխաջյան, Լ. Գ. Մելքոնյան, Յու, Կ. Կաբալյան, Մ. Մ. Ոսկանյան և Յու. Ե. Կոսիկյան

# Udhnhnid

արոցեսում։

Ուսումնասիրվել է ացետալդեհիդի ստերեոսպեցիֆիկ պոլիմերացումը

—78°-ում տոլուոլում, տրիիզորուտիլալլումինիումի ներկալությամբ։ Գոլիձերացման ընթացջում, պոլիմերի գոլացմանը զուգընթաց, սիստեմի էլեկտրական դիմադրողականությունը մեծանում է։ Գոլիմերացման խորության 
կախվածությունը դիմադրության գործակցից բնութագրվում է երկու ուղղագրծային հատվածներով, որոնք ունեն տարբեր թեքություներ։ Վերջինս

#### ЛИТЕРАТУРА

- 1. J. Furukawa, T. Sacgusa, H. Eujil, A. Kawasaki, H. Jmai, I. Fujii, Makromol. Chem., 37, 149 (1960).
- 2. G. Natta, G. Mazzanti, P. Corradini, W. Bassi, Makromol. Chem., 37, 156 (1960).
- 3. R. H. Krenle, H. H. Rose, Trans. Electrochem. Soc., 65, 87 (1934). K. Hoshimo, E. Makayama, M. Watanabo, Chem. High Polimer. (Japan) 1, 322 (1950);
- 4. J. R. Purdon, M. Morton, J. Pol. Sci., 57, 453 (1962).
- .5. С. В. Кузьмина, Г. А. Носаев, Б. И. Сажин, М. П. Эйдельнаит, Пластические массы, № 4, 67, 1965.

XIX, № 11, 1966

# НЕОРГАНИЧЕСКАЯ И АНАЛИТИЧЕСКАЯ ХИМИЯ

УДК 546.221+546.76

# Получение и физико-химические свойства полуторного сульфида хрома

С. В. Радзиковская и В. Х. Оганесян

Получен полуторный сульфид хрома при взаимодействии металлического хрома или хлорида хрома с сероводородом при температуре 1000—1100°. Изучены некоторые химические свойства порошка  $Cr_2S_3$ , устойчивость в различных средах, стойкость против окисления. Приготовлены компактные образцы полуторного сульфида хрома и изучен ряд физических свойств: микротвердость, удельное электросопротивление коэффициенты термоЭДС, Холла, теплопроводимости, температурная зависимость электросопротивления и термоЭДС. Сделан вывод о полупроводниковом характере этого соединения.

Сульфиды хрома относятся к числу тугоплавких соединений переходных металлов. В системе Cr—S известны фазы: CrS, Cr<sub>3</sub>S<sub>4</sub>, Cr<sub>5</sub>S<sub>8</sub>, Cr<sub>7</sub>S<sub>8</sub>, Cr<sub>2</sub>S<sub>3</sub>. Исследованием кристаллических структур данных сульфидных фаз занимались многие авторы [1, 2, 3], которые установили, что структуры сульфидов хрома, кроме моносульфида, являются промежуточными между гексагональной структурой NiAs и ромбоэдрической типа CdJ<sub>2</sub>. В таблице 1 приведены кристаллохимические свойства сульфидов хрома.

Кристаллохимические свойства сульфида хрома [4].

Таблица 1

	Callege Co. Co. Co. Co.	1,15	Рентгенов-				
Фаза	Структура	a	b	С	β°	ская плот- ность г/см <sup>3</sup>	
CrS	Моноклинная	3,826	5,964	6,089	101° 36	4,091	
Cr <sub>3</sub> S <sub>4</sub>	Моноклинная	5,964	3,428	11,272	91° 36	4,158	
Cr <sub>5</sub> S <sub>6</sub>	Тригональная	5,982	_	11,509		4,261	
Cr <sub>2</sub> S <sub>8</sub>	Тригональная	3,464 3,459	-	5,763 5,761	)- ·	4,303	
Cr <sub>2</sub> S <sub>3</sub>	Ромбоэдрическая	6,524	-	_ =	54° 08	3,922	
Cr <sub>2</sub> S <sub>3</sub>	Тригональная	5,939 5,430	-	11,192 11,171	-	3,77	

Все сульфидные фазы хрома имеют узкие облясти гомогенности [3, 4]. Сведения о физико-химических свойствах сульфидов хрома

крайне ограничены. Так, Гражданкиной и Факидовым изучены некоторые электрические свойства моносульфида хрома CrS [5]. Обнаруженные ферромагнитные свойства сульфидов хрома обсуждены в связи с их кристаллохимическим строением в работах [1, 4].

Среди сульфидов хрома наиболее устойчивым и переспективным с точки зрения полупроводниковых свойств является полуторный сульфид. Целью настоящей работы было изучение условий получения и физико-химических свойств этого сульфида.

Cr₂S₃ получали взаимодействием порошкообразного металлического хрома или хлорида хрома CrCl₃ с сероводородом по реакциям::

$$2Cr + 3H_2S = Cr_2S_3 + 3H_2,$$
  
 $2CrCl_2 + 3H_2S = Cr_2S_3 + 6HC1.$ 

Сульфидизация проводилась при температуре 1000—1100°С по методике, описанной ранее [6]. Полученный сульфид хрома охлаждали в токе сероводорода и анализировали, определяя общее содержание хрома и серы. Навески сульфида хрома разлагали сплавлением с перекисью натрия; общее содержание хрома определяли обычным персульфатно-серебряным методом, содержание серы — осаждением в виде сульфата бария или сжиганием в токе кислорода при температуре 1000—1100°С с поглощением выделяющегося сернистого газа перекисью водорода и алкалиметрическим окончанием анализа [7].

Состав получаемого полуторного сульфида хрома колеблется в пределах: Cr = 51,7-52,0%, S = 48,0-48,5%, что в пределах ошибок химического анализа практически полностью соответствует стехиометрическому составу  $Cr_2S_3$ : Cr = 51,95%, S = 48,05%. Был сделан также рентгеновский фазовый анализ порошков  $Cr_2S_3$ . Съемки производились в камере РКД-57,3 на хромовом излучении. Была установлена тригональная решетка с параметрами  $a = 5.942\,\text{Å}$ ,  $c = 11.125\,\text{Å}$ , что соответствует литературным данным для тригональной модификации  $Cr_2S_3$  [4].

Была изучена устойчивость порошка полуторного сульфида хрома в растворах кислот, щелочей и окислителей. Для этого навеску 0,3—0,5 г помещали в колбу с обратным холодильником, приливали 100 мл раствора реагента и кипятили в течение часа. Данные об устойчивости сульфида в различных средах приведены в таблице 2.

Из данных таблицы следует, что полуторный сульфид хрома устойчив при кипячении в воде и в растворах щелочей, нерастворим в кислотах, не являющихся окислителями (соляной, фосфорной, щавелевой), но полностью разлагается азотной и концентрированной серной кислотами, являющимися сильными окислителями. Растворы окислителей (Н<sub>2</sub>О<sub>2</sub>, бромная вода) разлагают Сг<sub>2</sub>S<sub>3</sub>, окисляя его.

Таблица 2

Устойчивость полуторного сульфида хрома при кипячении в течепии одного часа Состав исходного сульфида:  $Cr = 52,0^{\circ}/_{\circ}$ .  $S = 48,6^{\circ}/_{\circ}$ 

Реагент	Нерастворн- мый состав,	Содержание хрома в растворе, <sup>0</sup> / <sub>0</sub>	Примечание
НОО3 конц.	0	52,0	Полностью раств.
HNO <sub>3</sub> pas6. (1:1)	0	52,0	Полностью раств.
H <sub>2</sub> SO <sub>4</sub> конц.	0		Полностью раств.
H <sub>2</sub> SO <sub>4</sub> pas6. (1:1)	99,3	0,25	Малорастворим
НС1 конц.	100,1	не обнаружено	Нерастворим
HCl pas6. (1:1)	99.9	не обнаружено	Нерастворим
Н <sub>3</sub> РО <sub>4</sub> конц.	99,9	не обнаружено	Нерастворим
Н <sub>2</sub> С <sub>2</sub> О насыщ. р-р	99.9	не обнаружено	Нерастворим
H <sub>2</sub> O	100.0	не обнаружено	Нерастворим
NaOH 10º/о-ный	99.5	не обнаружено	Нерастворим
NaOH 40º/ <sub>о</sub> -ный	99,0	не обнаружено	Нерастворим
Н <sub>2</sub> О <sub>2</sub> 30°/о-ный	92,1	3,7	Разлагается
бромная вода	81,2	7,75	Разлагается

Была изучена также стойкость порошка  $Cr_2S_3$  против окисления в токе кислорода в интервале температур  $500-1100^\circ$ . Навеску сульфида в лодочке помещали в трубку, находящуюся в печи при заданной температуре и пропускали непрерывный ток кислорода со

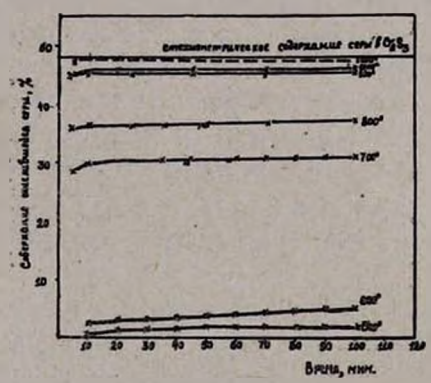


Рис. 1. Кривые окисления Cr2S3.

скоростью 100 мл/мин. Выделяющийся сернистый газ поглощали  $3^{0}/_{0}$ -ным раствором  $H_{2}O_{2}$ , образовавшуюся  $H_{2}SO_{4}$  оттитровывали раствором едкого натра [7]. Титрование производили в процессе окисления сульфида через определенные промежутки времени. Степень окисления оценивали по количеству выделившегося сернистого газа.

Данные по окислению порошка полуторного сульфида хрома представлены на рисунке 1. Из кривых окисления следует, что при

температурах 500—600° Cr<sub>2</sub>S<sub>3</sub> окисляется лишь незначительно, интенсивное окисление начинается при температуре 700°; при более высоких температурах (1000—1100°) происходит полное окисление до окиси хрома Cr<sub>2</sub>O<sub>3</sub>. Таким образом, полуторный сульфид хрома, подобно другим тугоплавким сульфидам переходных металлов, нестоек при нагревании на воздухе.

Образцы для измерения физических свойств сульфида  $Cr_2S_3$  готовились спеканием в среде сухого сероводорода предварительно

спрессованных брикетов, так как спекание методом горячего прессования в графитовых прессформах не дает положительных результатов в связи с десульфидизацией и образованием карбида хрома. Температура спекания — 1300°, выдержка — 1 час; нагрев и охлаждение проводились медленно, порядка 10° в минуту. После спекания пористость образцов составляла 12—150%. Образцы имели цилиндрическую форму диаметром 8 мм, высотой 10 мм.

В настоящей ряботе измерены удельное электросопротивление, коэффициенты Холла, термоЭДС, теплопроводности и микротвердость при комнатной температуре, а также температурная зависимость

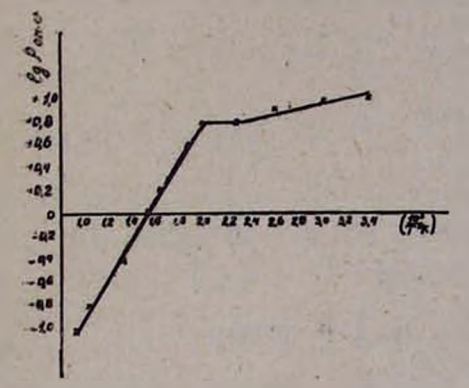


Рис. 2. Температурная зависимость удельного электросопротивления Cr<sub>2</sub>S<sub>3</sub> в полудогарифмических координатах / 103

Рис. 3. Температурная зависимость термо ЭДС  $Cr_2S_3$ .

 $\lg \rho = f\left(\frac{10^3}{7^\circ \,\mathrm{K}}\right).$ 

удельного электросопротивления и термоЭДС в интервале температур 20—1000°. ТермоЭДС определялась в паре с электротехнической медью и пересчитывалась на абсолютное значение [8]. Коэффициент Холла измерялся на постоянном токе в поле напряженностью 20000 эрст. [9]; удельное электросопротивление определялось потенциометрическим методом [9]; коэффициент теплопроводимости определялся стационарным методом [10]. Температурная зависимость электросопротивления и термоЭДС измерялась на установке, описанной в [11] в вакууме 10<sup>-3</sup> мм рт. ст. Микротвердость измерялась на твердомере ПМТ-3 при грузе 50 г. Удельное электросопротивление Сг<sub>2</sub>S<sub>3</sub> оказалось равным 10 ом см, коэффициент теплопроводимости — 0,0246 кал/см сек. град., коэффициент термоЭДС — (+380 мкв/град. коэффициент Холла — (—3,6 см³/кул.), микротвердость — 489 кг/мм².

Температурная зависимость электросопротивления и термоЭДС показаны на рисунках 2 и 3.

Как показали измерения физических свойств при комнатной температуре, а также температурный ход электросопротивления и термоЭДС, полуторный сульфид хрома Сг<sub>2</sub>S<sub>3</sub> является примесным полупроводником. Из рисунка 2 видно, что область от комнатной темпе-

ратуры до  $160^\circ$  является примесной проводимостью; в интервале температур от  $160^\circ$  до  $280^\circ$  — так называемой областью истощения, а от  $280^\circ$  начинается область собственной проводимости. Из рисунка 3 следует, что полуторный сульфид хрома в области примесной проводимости является дырочным полупроводником, собственная проводимость  $\text{Сr}_2\text{S}_3$  электронная, поскольку при температуре  $280^\circ$  абсолютная термоЭДС переходит в область отрицательных значений. Ширины запрещенных зон, найденные по наклону кривой  $\lg \rho = f(10^3/7^\circ \text{ K})$  рисунка 2, составляют для примесной области  $\sim$ 0,16 эв. для собственной  $\sim$ 0,7 эв.

В заключение авторы выражают благодарность члену-корреспонденту АН УССР Г. В. Самсонову за руководство в проведении настоящей работы.

Институт проблем материаловедения АН УССР, Киев

Поступило 30 VII 1965

# ՔՐՈՄԻ ՍԵՍԿՎԻՍՈՒԼՖԻԴԻ ՍՏԱՑՈՒՄԸ ԵՎ ՖԻԶԻԿԱ-ՔԻՄԻԱԿԱՆ ՀԱՏԿՈՒԹՅՈՒՆՆԵՐԸ

D· Վ. Ռածիկովսկայա և Վ. Խ. Հովհաննիսյան

# Udhnhnid

Հետազոտված է մետաղական քրոմի և քրոմի քլորիդի փոխազդեցու-Թլունը ծծմրաջրածնի հետ 1000—1100°-ում։

Ուսումնասիրված է քրոմի սեսկվիսուլֆիդի կայունությունը տարթևր գիջավալրերում․ չափված են տեսակարար էլեկտրադիմադրությունը և միկրոպնդությունը

Արված է հզրակացություն այդ միացության կիսահաղորդիչային բնույթի։

#### ЛИТЕРАТУРА

1. H. Z. Haraldsen, Z. anorg. Chem., 234, 372 (1937).

2. W. Randorff, K. Stegemann, Z. anorg. Chem., 251, 376 (1943).

3. F. Jellinek, Arkiv. för. kemi, 20, 447 (1963).

4. F. Jellinek, Acta cryst., 10, 620 (1957).

- 5. H. П. Гражданкина, И. Г. Факидов, ДАН СССР, 102, 957 (1955).
- 6. Г. В. Самсонов, С. В. Радзиковская, Усп. хим., 26, 410 (1960).
- 7. Г. Н. Дубровская, И. Н. Годованная, ЖАХ, 19, 993 (1964).
- 8. А. А. Рудницкий, Термоэлектрические свойства благородных металлов и их сплавов, АН СССР, Москва, 1956.
- 9. С. Н. Львов, В. Ф. Немченко, Ежегодник научных работ по естествознанию Херсонского пединститута, 7, 1960. В. С. Синельникова, В. А. Вировцев, Зав. лаб. 8, 1043 (1961).
- 10. В. С. Нешпор, И. Г. Баранцева, Инженерно-физ. ж., 1, 23 (1963).

### <u> 2 Ц 3 Ч Ц 4 Ц 6 Р Р Р Р Ц 4 Ц 6 Ц Г И Ц 4 Р Р</u> АРМЯНСКИЯ ХИМИЧЕСКИЯ ЖУРНАЛ

XIX, № 11, 1966

УДК 543.842+543.843

# Продукт термического разложения перманганата калия как катализатор сожжения и универсальный поглотитель при определении углерода и водорода в органических соединениях

А. А. Абрамян, Р. А. Мегроян и А. А. Кочарян

Предложен новый вариант определения углерода и водорода в органических соединениях, содержащих СІ, Вг, Ј, F, S, P, N. Эти элементы и их соединения, образующиеся при сжигании органических соединений, поглошаются в трубке сожжения продуктом термического разложения перманганата калия. Последний является и хорошим катализатором сожжения. Точность определения углерода и водорода  $\pm 0,3^{\circ}/_{\circ}$ 

Для микро- и полумикроопределения хлора, брома, йода, фтора, серы, фосфора и кремния в органических соединениях в качестве окислителя одним из нас вместе с сотрудниками применен перманганат калия [1], который при 300—500° в запаянных стеклянных трубках в течение часа количественно разлагает органические соединения. Восстановленные хлор, бром, йод и фтор соединяются с продуктом термического разложения перманганата калия и образуют соответственные галогениды, сера и фосфор окисляются и соединяются с продуктом термического разложения перманганата калия, образуя сульфаты и фосфаты, кремний окисляется до SiO<sub>2</sub>. В растворе получаются вышеуказанные элементы (кроме Si) в ионном состоянии, количество которых определяют объемным или весовым способом.

В дальнейшем, для микроопределения дейтрия в органических соединениях, Горачек [2] в качестве катализатора сожжения употреблял продукт термического разложения перманганата калия и показал, что он количественно поглощает окислы азота. Для определения ртути в органических соединениях Пеханец и Горачек [3] в качестве катализатора сожжения использовали тот же продукт термического разложения перманганата калия, поглощающий галогены, серу и окислы азота. Для определения ртути и галогенов в галогенсодержащих ртуть-органических соединениях Пеханец [4] применял этот же продукт на гранулах стекла супермакса длиной 60 мм, при 450-550°. Ртуть вне трубки сожжения поглощали губчатым серебром в особых поглотительных аппаратах, а галогены поглощали в трубке для сожжения продуктом термического разложения перманганата калия, который после охлаждения трубки сожжения обрабатывали дистиллированной водой. Полученные ионы хлора, брома и йода в растворе определяли объемным способом.

Исходя из предыдущих вариантов, разработанных в нашей лаборатории, а также из работ Горачека и Пеханеца, нами разработан новый вариант микроопределения углерода и водорода в органических соединениях, содержащих хлор, бром, йод, фтор, фосфор, серу и азот. В качестве катализатора сожжения и универсального поглотителя трубку сожжения наполняли продуктом термического разложения перманганата калия длиной в 100 мм. Этот продукт в трубке сожжения поглощает образующиеся при горении галогены, их соединения и кислотные окислы, а вне трубки поглощения обычным способом определяли весовым методом двуокись углерода и воду. Выяснено, что при нагревании продукта термического разложения перманганата калия до 280—380° углерод получается с пониженным, а выше 500°— с повышенным результатом. Оптимальной температурой нагревания, когда углерод и водород получаются в допустимых пределах точности, является интервал 400—450°.

Асбест, покрытый продуктом термического разложения перманганата калия длиной в 100 мм, весит 3,2—3,3 г, в котором продукт термического разложения перманганата калия составляет 1,4—1,6 г. Его достаточно для 75—80 микроопределений фторсодержащих органических соединений (поглощает 135—140 мг фтора) для 110—120 микроопределений органических соединений, содержащих хлор, бром, йод (поглощает 180—190 мг хлора, брома и йода) и 80—90 микроопределений серусодержащих органических соединений (поглощает 170—190 мг SO<sub>3</sub>).

# Экспериментальная часть

Приготовление катализатора сожжения—продукта термического разложения перманганата калия. К двум равным весовым частям КМпО<sub>4</sub> и тщательно измельченного асбестового картона прибавляют немного дистиллированной воды и приготовляют густую кашицу, сушат ее в течение 1—2 часов при 200° в сушильном шкафу, потом в течение 4—5 часов прокаливают в муфельной печи при 500°. Затем температуру повышают до 900° и продолжают прокаливание в течение 1—2 часов, охлаждают, измельчают и просеивают. В качестве катализатора сожжения употребляют гранулы величиной 1—2 мм, их хранят в банке с резиновой пробкой. Перед началом анализа трубку сожжения наполняют соответственным количеством катализатора сожжения и нагревают около 2 часов, при 400—450° в быстром токе (35—50 мл/мин.) кислорода.

Методика проведения анализа. Кварцевую трубку для сожжения наполняют в следующей последовательности. В носике трубки помещается асбестовая пробка толщиной в 2—3 мм, затем гранулы из асбеста, покрытые продуктом термического разложения перманганата калия длиной в 100 мм, и опять асбестовая пробка. К носику трубки для сожжения непостредственно присоединяются аппараты для

поглощения воды и двуокиси углерода. Перед началом работы проводят холостой опыт. Все поглотительные аппараты взвешивают, затем вновь присоединяют к трубке для сожжения и приступают к сожжению вещества. Трубка сожжения и расположение нагревательных печей приведены на рисунке 1.

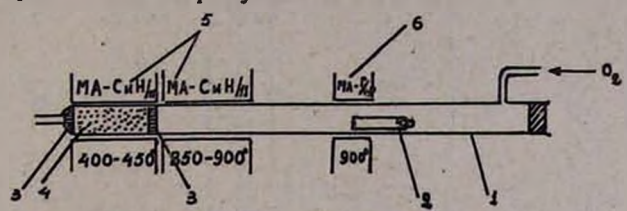


Рис. 1. I — кварцевая трубка сожжения, 2 — кварцевая пробирка с навеской вещества, 3 — асбестовая пробка, 4 — продукт термического разложения перманганата калия на асбесте, 5 — электропечь типа MA — Cu H/11, 6 — электропечь типа MA— $\Gamma/6$  р.

Навески (3—6 мг) твердых веществ берут в кварцевых пробирках, навески жидких веществ с высокой температурой кипения — в
кварцевых пробирках с притертыми пробками, а навески жидких веществ с низкой температурой кипения — в кварцевых ампулах, вставляемых в кварцевые пробирки. Пробирку с навеской помещают в
трубку сожжения. Сожжение веществ и вытеснение продуктов сожжения из трубки проводят как обычно. Сожжение веществ ведут при
850—900°. Окислительную зону нагревают при температуре 850—900°
(если вещество в своем составе содержит хлор или серу, тогда в
зону окисления вставляют платиновый контакт), а катализатор сожжения — при температуре 400—450°. Органические вещества сжигают
в токе кислорода со скоростью 12—15 мл/мин, расходуя 300—400 мл
кислорода. Сжигание длится 20—25 минут; продолжительность анализа 40—45 минут. Полученные результаты приведены в таблице.

Таблица

17.0	The same	7.77	C B 0/0		H в °/ <sub>0</sub>		
Вещества	Навеска в жг	вычис-	найдено	разница	вычис-	найдено	разница
1 1	2	3	4	5	6	7	8
сісн,соон	4,540 5,180 4,632	25,39	25,31 25,23 25,63	$ \begin{array}{c c} -0.08 \\ -0.16 \\ +0.24 \end{array} $	3,17	3,34 3,41 3,43	+0,17 +0,24 +0,26
C <sub>6</sub> H <sub>4</sub> Cl <sub>2</sub>	4,960 4,838 4,586 5,300 4,758	48,99	49,28 48,98 48,83 49,30 49,15	+0,29 -0,01 -0,16 +0,31 +0,16	2,72	3,07 2,97 2,60 3,04 2,83	+0,35 +0,25 -0,12 +0,32 +0,11

Продолг						жение	таблицы
1	2	3	4	5	6	7	8
(H <sub>2</sub> N·C <sub>6</sub> H <sub>4</sub> ) <sub>2</sub> ·2HCl	3,724 3,493 3,510 3,622	55,99	55,80 55,74 56,18 56,28	-0,19 -0,25 +0,19 -0,29	5,44	5,57 5,43 5,65 5,70	+0,13 -0,01 +0,21 +0,26
BrC <sub>€</sub> H <sub>4</sub> COOH	3,759 4,746 3,870 5,204	41,79	41,66 41,69 41,47 42,10	$ \begin{array}{r} -0,13 \\ -0,10 \\ -0,32 \\ +0,31 \end{array} $	2,48	2,59 2,59 2,20 2,68	+0,11 +0,11 -0,21 +0,20
NH·NH <sub>3</sub> ·HCI	3,347 4,140 3,377	49,82	49,78 49,51 49,96	$ \begin{array}{r} -0.04 \\ -0.31 \\ +0.14 \end{array} $	6,22	6,40 6,10 6,51	+0,18 -0,12 +0,29
$(CH_3)_3N \cdot CH_2CCI = C(CH_3)_3$	3,975 3,653	<b>3</b> 3,16	33,27 33,32	+0,11 +0,16	5,87	6,15 5,63	+0,28 -0,24
·CH <sub>3</sub> CCIBrCHBrCH <sub>2</sub> CH <sub>2</sub> COOH	4,538 4,278 3,099	23,35	23,57 23,68 23,52	+0,22 +0,33 +0,17	2,89	2,68 3,14 2,61	-0,21 +0,25 -0,28
SO <sub>3</sub> -O-	3,438 3,935	54,54	54,48 54,58	-0,06 +0,04	5,02	5,25 5,03	+0,23 +0,01
CH—CH <sub>2</sub> SO <sub>2</sub> CI CH—CH <sub>2</sub> SO <sub>2</sub> CI	3,188 4,920 3,318	18,97	18,82 19,24 19,21	$ \begin{array}{c c} -0,15 \\ +0,27 \\ +0,24 \end{array} $	2,37	2,45 2,59 2,63	- -0,08 - -0,22 - -0,26
CS(NH <sub>2</sub> ) <sub>2</sub>	4,415 5,062 4,826	15,79	15,98 15,72 15,87	+0,18 -0,07 +0,08	5,26	5,12 5,13 5,22	-0,14 -0,13 -0,04
ıH₂NC₅H₄SO₃H	4,185 4,942 4,340	41,57	41,37 41,53 41,32	-0,20 -0,04 -0,25	4,04	4,34 4,14 4,12	+0,30 +0,10 +0,08
CH <sub>2</sub> CICFCICOOH·C <sub>2</sub> H <sub>5</sub> NH <sub>2</sub>	3,980 5,080 4,210 3,860 3,290	42,52	42,55 42,76 42,72 42,80 42,68	+0,03 -1-0,24 +0,20 +0,28 +0,16	3,93	4,17 4,05 4,09 3,88 4,08	+0,24 +0,12 +0,16 -0,05 +0,15
(CF <sub>3</sub> ) <sub>2</sub> COHCH <sub>2</sub> COOC <sub>2</sub> H <sub>5</sub>	4,410 4,435 4,350 3,230 4,210	33,07	33,16 32,95 33,10 32,92 33,12	+0,09 -0,12 -0,03 -0,15 +0,05	3,15	3,34 3,28 3,18 3,19 3,03	+0,19 +0,13 +0,03 +0,04 -0,12
тефлон (CF <sub>2</sub> =CF <sub>3</sub> ) <sub>п</sub>	5,090 5,460 4,080 4,310 3,600	24,00	24,26 23,95 24,02 24,10 24,16	+0,26 -0,05 +0,02 +0,10 +0,16	0,00	0,28 - 0,20	+0,28

And the little	Продолжение таблицы						
1	2	3	4	5	6	7	8 -
CH <sub>3</sub> (OH) <sub>2</sub> P C—NHCH <sub>2</sub> CH <sub>2</sub> NH— O CH <sub>3</sub> CH <sub>3</sub> -C — P(OH) <sub>2</sub> 2H <sub>2</sub> O	3,580 3,270 4,320 3,450	28,23	28,34 28,35 27,96 28,34	+0.11 +0.12 -0.27 +0.11	7,64	7,71 7,90 7,55 7,71	+0,07 +0,26 -0,09 +0,07
(C₂H₅O)₂P (O H	3,120 3,160 3,830 3,660 3,350	34,77	35,04 34,72 34,86 34,64 34,56	+0.27 -0.05 +0.09 -0.13 -0.21	8,02	8,06 8,14 8,02 8,20 8,04	+0.04 +0.12 0.00 +0.18 +0.02
·CH <sub>2</sub> =-CHPOCI <sub>3</sub>	4,200 3,270 4,110 4,430 3,270	16,56	16,42 16,68 16,42 16,70 16,67	$\begin{array}{r} -0.14 \\ +0.12 \\ -0.14 \\ +0.14 \\ +0.11 \end{array}$	2,07	2,07 2,10 2,25 2,04 2,12	0,00 +0,03 +0,18 -0,03 +0,05

Институт органической химии АН АрмССР

Поступило 12 IV 1965

# KMnO₄-Ի ՋԵՐՄԱՅԻՆ ՔԱՅՔԱՅՄԱՆ ՊՐՈԴՈՒԿՏԸ ՈՐՊԵՍ ԱՅՐՄԱՆ ԿԱՏԱԼԻԶԱՏՈՐ ԵՎ ՈՒՆԻՎԵՐՍԱԼ ԿԼԱՆԻՉ ՕՐԳԱՆԱԿԱՆ ՆՅՈՒԹԵՐԻ ՄԵՋ ℂ ԵՎ Η ՈՐՈՇԵԼԻՍ

Ա. Ա. Աբւահամյան, Հ. Ա. Մեղւոյան և Ա. Ա. Քոչաւյան

#### Udhahaid

Արրահամ լանը և աշխատակիցները նախորդ աշխատան քներում օրդանական միացությունների մեջ քլորի, բրոմի, լոդի, ֆտորի, ծծմրի, ֆոսֆորի և սիլիցիումի միկրո- և կիսամիկրոորոշման համար որպես օքսիդիչ օգտագործել են KMnO

ցությունների մեջ ածխածնի և ջրածնի միկրոորոշման մի նոր վարիանտու

Ածխաժինը և ջրածինը որոշելու համար որպես ալրման կատալիզատոր և ունիվերսալ կլանիչ ալրման խողովակի մեջ տեղադրել ենք 100 մմ երկարությամբ KMnO<sub>4</sub>-ի ջերմալին քալքալման արդլունքը՝ նստեցրած ասբեստի վրա, որը տաքացնում ենք 400—450°։ Ածխածինը և ջրածինը որոշում ենք սովորական կշռալին եղանակով։ Անալիզի տևողությունը 40—45 րոպե, ածխածնի և ջրածնի որոշման ճշտությունը 0,3°/, է։

#### ЛИТЕРАТУРА

1. А. А. Абрамян, Р. С. Саркисян, Изв. АН АрмССР, ХН, 12, 34, 341 (1959); 14, 3 (1961); 15, 127 (1962); 16, 131 (1963); А. А. Абрамян, С. М. Аташян, Изв. АН АрмССР, ХН, 14, 441 (1961); А. А. Абрамян, С. М. Аташян, М. А. Балян Изв. АН АрмССР, ХН, 13, 343 (1960); А. А. Абрамян, Р. С. Саркисян, М. А. Балян, Изв. АН АрмССР, ХН, 14, 561 (1961); А. А. Абрамян, Хим. и хим технол., № 4, 38 (1961).

2. J. Horacek, Coll., 26, 772 (1961).

- 3. V. Pechanec, J. Horaček, Coll., 27, 239 (1962).
- 4. V. Pechanec, Coll., 27, 1702 (1962); 27, 2976 (1962).

## XIX, № 11, 1966

УЛК 543.842+543.843

# Новый вариант микроопределения углерода и водорода в фторорганических соединениях

#### А. А. Абрамян и А. Г. Карапетян

Предложен новый вариант определения углерода и водорода в фторсодержащих органических соединениях. Фтор и его соединения, образующиеся при сожжении органических соединений, поглощаются в трубке сожжения продуктом термического разложения перманганата серебра, который поглощает не только фтор, но и хлор, бром, йод, серу, фосфор и т. д., а также является хорошим катализатором сожжения. Ошибка определения углерода и водорода не превышает ±0,35°/о.

Одновременное определение углерода, водорода и фтора до сих пор не полностью усовершенствовано, и для выполнения анализа требуется довольно продолжительное время. Предложен метод поглощения фтора в отдельной навеске, в трубке сожжения особыми поглотителями, с обычным весовым определением углерода и водорода, с последующим определением фтора во второй навеске. Фтор в трубке сожжения поглощают с помощью MgO [1], фтористым калием при 270° [2], метаванадатом серебра (AgVO<sub>3</sub>) на пемзе при 500° [3].

Кёрбль [4], впервые введший в практику аналитической лаборатории продукты термического разложения перманганата серебра, указал на возможность определения с помощью этого катализатора углерода и водорода в фторсодержащих органических соединениях. В дальнейшем Горачек и Кёрбль [5] применили продукты термического разложения перманганата серебра в качестве катализатора сожжения для микро- и полумикроопределения углерода и водорода в фторсодержащих органических соединениях и пришли к выводу, что короткий слой продукта термического разложения AgMnO<sub>4</sub> не полностью задерживает фтор, а при применении более длинного слоя хотя и имеет место полное его поглощение, адсорбционная емкость слоя снижается. Поэтому они предложили добавочные иаполнения из Pb<sub>2</sub>O<sub>4</sub> на пемзе.

В настоящей работе предлагается упрощенный и более удобный вариант определения углерода и водорода в фторсодержащих органических соединениях с поглощением фтора только продуктом термического разложения перманганата серебра. Последний не только поглощает выделяющиеся при сожжении фтор и его соединения, но и является наилучшим катализатором сожжения.

Нами установлено, что, помещая в трубку сожжения только гранулы продукта термического разложения перманганата серебра на асбесте, фтор количественно поглощается, а углерод и водород определяются обычным—весовым способом. Продукт термического разложения перманганата серебра сохраняет активность долгое время, и его слой длиной в 100 мм служит для более чем 60 микроопределений.

## Экспериментальная часть

Приготовление катализатора сожжения (продукта термического разложения AgMnO4) описано нами ранее [6]. Кварцевая трубка длиной 500-600 мм с внутренним диаметром 11-12 мм наполняется в следующей последовательности. В носике трубки помещается асбестовая пробка толщиной в 2-3 мм, затем гранулы асбеста, покрытые продуктом термического разложения перманганата серебра, длиной 100 мм и асбестовая пробка упомянутой толщины. Непосредственно к носику трубки сожжения присоединяют аппараты для поглощения воды и двуокиси углерода. Если органическое вещество содержит и азот, то образующиеся при сожженип окислы азота поглощают в особых поглотительных аппаратах, помещаемых между аппаратами для поглощения воды и двуокиси углерода, содержащих силикагель пролитанный насыщенным сернокислым раствором K<sub>2</sub>Cr<sub>2</sub>O<sub>2</sub>. Перед началом работы проводят холостой опыт. Все поглотительные аппараты взвешивают, затем вновь присоединяют к трубке для сожжения и приступают к сожжению веществ. Навески (3-6 мг) твердых веществ берут в кварцевых пробирках, а жидких - в кварцевых пробирках с лритертыми пробками.

В первом случае вещество сжигают без добавления к навеске продукта термического разложения перманганата серебра, а во втором случае к навеске в пробирке добавляют 20—25 мг этого продукта. Пробирку с навеской помещают в трубку для сожжения. Сожжение веществ ведут при 800—900°, а катализатор сожжения нагревают при температуре 450—500°. Органические вещества сжигают в токе кислорода со скоростью 12—13 мл/мин. Сожжение веществ и вытеснение продуктов сожжения из трубки проводят как обычно. Продолжительность анализа 45 минут. Полученные результаты приведены в таблице.

.Институт органической химни АН АрмССР

Поступило 13 II 1965

Вещество	С в % вы- числено	Н в 0/о вы- числено	Навеска в жг
Анилиновая соль α-фтор-α,β-дихлор- пропионовой кислоты CH <sub>3</sub> CICFCICOOHC <sub>2</sub> H <sub>3</sub> NH <sub>2</sub>	42,52	3,93	3,680 3,060
Анилид $\beta$ , $\beta$ -ди-(трифторметил)-акриловой кислоты $(CF_3)_2C = CHCONH$	46,64	2,47	3,670 3,660
Этиловый эфир β,β-ди-(трифторметил)-β-оксипропионовой кислоты (CF <sub>3</sub> ) <sub>2</sub> CCH <sub>2</sub> COOC <sub>2</sub> H <sub>5</sub> ОН	33,46	3,15	4,430 3,850
Анилид α-гидроперфторизомасляной кислоты (СЕ3)3CHCONHC6H5	44,28	2,58	4,950 2,980
Тефлон (CF <sub>2</sub> =CF <sub>2</sub> ) <sub>п</sub>	24,00	0,00	4,242 3,830 5,250

Навеска без доб. прод. термич. разложения Ag.MnO <sub>4</sub>		2 W 8	тепмии пазложения					
С	Св 0/0 Нв 0/0		ска	C B	0/0	Н в 0/0		
найдено	разница	найдено	разница в -		найдено	вычис- лено	найдено	вычис- лено
42,72 42,84	+0,20 +0,32	4,13 4,26	+0,20 +0,33	3,105 3,130	42,65 42,79	+0,13 +0,26	3,99 4,15	+0,06 +0,22
46,48 46,60	-0,16 -0,04	2,20 2,24	-0,27 -0,23	3,930 4,000	46,88 46,62	+0,24 -0,02	2,33 2,51	-0,14 +0,04
33,80 33,77	+0,34 +0,21	3,14 2,98	-0,01 -0,17	6,140 5,338	33,23 33,52	-0,23 +0,06	3,25 3,18	+0,10 +0,03
44,60 44,52	+0,32 +0,24	2,52 2,43	-0,06 -0,15	3,765 3,760	44,52 44,41	+0,24 +0,13	2,53 2,59	-0.05 +0.01
24,06 23,72 24,25	+0,06 -0,28 +0,25	111	111	4,960 4,865 5,485	24,00 24,29 23,95	0.00 +0.29 -0,05	111	111
- 30 3		7 4 11			-			4

# ՖՏՈՐՕՐԳԱՆԱԿԱՆ ՄԻԱՑՈՒԵՅՈՒՆՆԵՐՈՒՄ ԱԾԽԱԾՆԻ ԵՎ ՋՐԱԾՆԻ ՄԻԿՐՈՈՐՈՆՄԱՆ ՆՈՐ ՏԱՐԲԵՐԱԿ

**Ե. Ե. Եբ**բահամյան և **Ե. Գ. Կա**բապեսյան

## Udhnhnid

Ֆաորօրդանական միացությունների մեջ ածխածինը և ջրածինը որոշելիս ֆտորն այրման խողովակում կլանում են MgO-ով, KF-ով, արծաթի մետավանադատով։ Որպես այրման կատալիզատոր օգտագործվել է AgMnO<sub>4</sub>-ի ջևր-

ղակը ճանճակար աևմեսւրեն։

է անդար նավագուն կատանիզատոն։ գաղարան արձաավոմ ֆասեն նայ ընտ դիտնութնութրեն, անք չարդիոտրուդ Վնուրճով, ըստրնետց տոնրոսի վնտ։ Հրենիրո սչ դիտքը կնտրուղ է տնեղար քնուղ ինտրի դիտքը տեցանի պեսդարժարտան ծրեղանը ճանքուկար տեըրեկ դրձ ագիտգիրն բ ձևագիրն սնսձրնու չաղտե ֆասեր տնեղար իսմավաըրեկա աշխատորճուղ աստծանինուղ է փասևօնժարարություն դիտնութնուր-

Արծաթի պերմանգանատի ջերմալին քալքալման։ Ածխածնի և ջրածնի ժամանակ պահպանում է իր ակտիվությունը՝ 100 մմ հրկարությամբ նրա շերտը բավարարում է 60-ից ավելի միկրոորոշման։ Ածխածնի և ջրածնի

որոշման բացարձակ սխալը չի գերազանցում  $\pm 0.35^{\circ}/_{\circ}$ -ից։

#### ЛИТЕРАТУРА

1. W. R. Throckmoton, G. H. Hutton, Anal. Chem., 24, 2003 (1952).

2. Н. Э. Гельман, М. О. Коршун, Н. С. Шевелева, ЖАХ, 12, 526 (1957); А. D. Camphell, А. М. G. Macdonald, Analyt. Chim. Acta, 26, 275 (1962); W. Funasaka, T. Ando, T. Murase, Japan Analyst, 10, 294 (1961); P. R. Wood, Analyst, 85, 764 (1960); R. Belcher, R. Coulden, Mikrochemie, 36/37, 679 (1951); G. Ingram, Analyst, 86, 539 (1961).

3. А. И. Лебедева. Н. А. Николаева, В. А. Орестова, Изв. АН СССР, ОХН, 1961

1350; ЖАХ, 17, 993 (1962).

4. J. Korbl, Chem. Listy, 49. 862 (1955).

5. J. Horacik, J. Korbi, Chem. Listy, 51, 2132 (1957); Coll., 24, 286 (1959).

6. А. А. Абрамян, А. Г. Карапетян, Арм. хим. ж., 19, 184 (1966).

## <u> 2 Ц 3 Ч Ц 4 Ц 5 Р Р Г Р Ц 4 Ц 5 Ц Г И Ц 9 Р Г</u> АРМЯНСКИЯ ХИМИЧЕСКИЯ ЖУРНАЛ

XIX, № 11, 1966

УДК 543.842+543.843+543.848

# Новый метод совместного определения углерода, водорода и фтора в органических соединениях

А. А. Абрамян, Р. А. Мегроян, Р. С. Саркисян и Г. А. Галстян

Предложен новый, упрощенный метод совместного микроопределения углерода, водорода и фтора в органических соединениях. Углерод и водород определяют обычным — весовым способом, фтор поглощают вне трубки сожжения. Аппарат для поглощения фтора наполняют продуктом термического разложения перманганата калия, осажденным на кварцевых зернах. После сожжения поглотитель фтора обрабатывают азотной кислотой и перекисью водорода, ион фтора, прошедший в раствор определяют ториметрическим способом. Абсолютная точность определения углерода, водорода и фтора  $\pm 0.35^{\circ}/_{\circ}$ .

Разработано много вариантов совместного определения углерода, водорода и фтора в органических соединениях. Все они еще не совершенны, и для выполнения анализа требуется продолжительное время. Некоторые исследователи при анализе фтороорганических соединений поглощали фтор в трубке для сожжения особыми поглотителями, а углерод и водород определяли обычным способом, определяя фтор в другой навеске [1-6], фтор поглощали MgO [1] фтористым калием [4], метаванадатом серебра (AgVO<sub>3</sub>), осажденным на пемзе [5], продуктом термического разложения перманганата серебра, продуктом термического разложения перманганата калия [3]. При совместном определении углерода, водорода и фтора Гельман и Коршун [6] предлагают в кварцевый стаканчик вместе с навеской помещать окись магния (150-200 мг), сжигание вести в кварцевой трубке при 1000°, в токе кислорода. Мазор [7] фторсодержащие органические соединения сжигал в кварцевых трубках в токе кислорода. Галогены и окислы серы он поглощал в трубке сожжения металлическим серебром, окислы азота — с помощью МпО2, а для поглощения фтора в трубку сожжения помещал алундовую трубку длиной 40 мм, с покрытыми Pb,O4 внутренними стенками.

Наши исследования показали, что продукт термического разложения перманганата калия является катализатором сожжения и универсальным поглотителем [3]. Продукт термического разложения перманганата калия количественно поглощает галогены и их соединения, окислы серы, фосфора, азота и других элементов. Это дало возможность при анализе фторорганических соединений фтор в трубке сожжения поглощать продуктом термического разложения перманганата калия и определять углерод и водород. Дальнейшее развитие

этой работы привело к совместному определению углерода, водорода и фтора во фторорганических соединениях. Носовая часть кварцевой трубки (шлиф) соединена с аппаратом, содержащим поглотитель фтора — продукт термического разложения перманганата калия, осажденный на гранулах кварца. Аппарат для поглощения фтора нагревают до 400—450°. Углерод и водород определяют как обычно, а фтор — ториметрическим способом. Хлор, бром, йод, сера и азот не мешают определению фтора.

## Экспериментальная часть

Приготовление поглотителя фтора. Вышедшую из строя кварцевую аппаратуру измельчают, просеивают и отбирают зерна величиной 0,5—1,0 мм, в фарфоровой чашке их заливают разбавленным раствором (1:10) соляной кислоты, 1—1,5 часа нагревают на водяной бане, затем фильтруют, промывают дистиллированной водой до полного исчезновения следов иона хлора. На три весовые части кварца добавляют одну весовую часть перманганата калия, прибавляют немного дистиллированной воды и мешают стеклянной палочкой до получения однородной смеси, которую нагревают в сушильном шкафу 1—2 часа при 2СО°, потом прокаливают в муфельной печи 2 часа при 5СО°, а затем еще 4 часа при 800—900°. После охлаждения хранят в банке с резиновой пробкой для дальнейшего употребления.

Выполнение анализа. Применяется стандартная аппаратура для одновременного определения углерода, водорода и галогенов. В конец поглотительного аппарата со шлифом вставляют тампон из стеклянной Ваты, заполняют длиной 6 мм поглотителем фтора весом 4-4,5 г и вставляют опять тампон из стеклянной ваты. Такое наполнение поглотительного аппарата употребляют для анализа органических соединений, содержащих до 50% фтора. Если вещество содержит более чем 50% фтора, слой поглотителя фтора берут длиной 9-10 см (6-7 г). Аппарат для поглощения с помощью шлифа соединяют с носовой частью трубки для сожжения, нагревают до 400-450° электропечью типа МА-СиН/11 и 2-3 минуты пропускают кислород со скоростью 30-35 мл/мин. Потом к прибору присоединяют аппараты для поглощения воды и двуокиси углерода. Навески (2,5-6 мг) твердых и жидких веществ, имеющих высокую точку кипения, берут в кварцевых пробирках, навески жидких веществ, имеющих низкую точку кипения - в кварцевых ампулках, которые вставляют в кварцевые пробирки. Пробирку с навеской помещают в трубку сожжения.

Окислительную зону трубки сожжения нагревают при 850—900° электропечью типа МА—СиН/11, 10—15 минут пропускают кислород со скоростью 12—15 мл/мин., после чего начинают сожжение при 900—950° электропечью типа МА—Г/6р. Затем скорость тока кислорода снижают до 7—9 мл/мин. Продолжительность сожжения 10 минут. К концу сожжения скорость тока кислорода увеличивают до

	Непосия		C B º/o			H B 0/0		P B 0/0		
Вещество	Навеска в мг	вычис- лено	найдено	разница	вычис- лено	найдено	разница	вычис- лено	найдено	разница
	5,520	- 11	42,73	+0,21	2 7	4,02	+0,09		7,38	-0,10
	5,250	- 4	42,59	+0,07	7	4,17	+0,24	200	7,79	+0,31
CH CICROLOGOU O II NII	6,040		42,65	+0,13		3,89	-0,04		7,72	+0,24
CH_CICPCICOOH.C2H5NH,	2,790	42,52	42,81	+0,29	3,93	4,21	+0,28	7,48	7,48	0,00
	3,540	2.0	42,37	-0,15	-	3,79	-0,14	2	7,38	-0,10
	2,980		42,66	$\frac{-0.14}{\pm 0.16}$		4,21	$+0.28 \\ \pm 0.17$		7,63	+0,15 +0,15
	3,790		33,09	+0,02	91	3,24	+0,09	200	44,56	-0,32
	2,780	1133	32,86	-0,21	200	2,89	-0,26		44,73	-0,15
(CF <sub>3</sub> ) <sub>2</sub> COHCH <sub>2</sub> COOC <sub>2</sub> H <sub>5</sub>	2,740	33,07	33,17	+0,10	3,15	3,50	+0,35	44,88	45,00	+0,12
	3,180	5 %	32,99	-0,08		3,26	+0,11	- 1	44,81	-0,07
	2,880	4	33,14	+0,07	99	3,10	-0,05		45,02	+0,14
	2,730	701	33,26	$+0.17$ $\pm 0.10$		3,40	+0,25 ±0,18		45,23	+0,35 ±0,19
	2,780	73.2	24,03	+0,03	1000	0,30	+0,30	200	76,00	0,00
	2,470	1	24,17	+0,17	955	4 -	_	100	76,15	+0,15
<b>Тефлон (F<sub>3</sub>C=CF<sub>3</sub>)</b> <sub>п</sub>	2,870	24,00	23.66	-0,34	0,00		-	76,00	76,29	+0,29
	3,030		23,82	0,18	- 1626-	_	_		76,22	+0,22
	2,820	175	24,20	+0,20	13/10	0,20	+0,20	-16	75,79	-0,21
	2,370		24,04	$\frac{+0.04}{\pm 0.16}$	100	0,20	$\frac{-0.20}{\pm 0.11}$	1	76,11	+0,11 ±0,16
		40					1 1 1 1 1 1			

12—15 мл/мин. После окончания сожжения отделяют аппараты для поглощения воды и двуокиси углерода, из-под поглотительного аппарата фтора устраняют электропечь. Углерод и водород определяют обычным — весовым способом. Продолжительность определения углерода и водорода 45—50 минут.

Аппарат для поглощения фтора после охлаждения отделяют от трубки для сожжения, и поглотитель фтора переносят в конические колбы емкостью 100-150 мл. Поглотительный аппарат 2-3 раза промывают 1,0 н. раствором азотной кислоты, каждый раз прибавляя несколько капель 30% перекиси водорода. Промывание аппарата надо вести так, чтобы общий расход азотной кислоты составлял 9-10 мл. Оставляют 10 минут до окончания реакции, в промежутке растирают массу плоской головкой стеклянной палочки, фильтруют, фильтрат собирают в конические колбы емкостью 100-150 мл, осадок аккуратно промывают, промывную воду собирают опять в коническую колбу. Фильтрат упаривают, доводя объем до 10-15 мл. После охлаждения раствора прибавляют 10 капель 0,1%-ного водного раствора ализаринсульфоната натрия. Остаток азотной кислоты нейтрализуют 0,1 н. раствором NaOH и добавляют 2,5 мл буферного раствора, приготовленного из смеси 0,1 н. монохлоруксусной кислоты и 0,1 н. NaOH. Затем добавляют дистиллированной воды, доводя общий объем приблизительно до 25 мл (оптимальное значение рН раствора 2,9-3,0). Холодный раствор титруют 0,02-0,025 н. раствором Th(NO<sub>3</sub>). Полученные результаты приведены в таблице.

Институт органической химин АН АрмССР

Поступило 27 V 1965

# ዐՐԳԱՆԱԿԱՆ ՄԻԱՑՈՒԹՅՈՒՆՆԵՐՈՒՄ ԱԾԽԱԾՆԻ, ՋՐԱԾՆԻ ԵՎ ՖՏՈՐԻ ՀԱՄԱՏԵՂ ՈՐՈՇՄԱՆ ՆՈՐ ԵՂԱՆԱԿ

Ա. Ա. Աբւահամյան, Հ. Ա. Մեղrոյան, Ռ. Ս. Մաrգսյան և Գ. Հ. Գալսթյան

# Udhahaid

գլուր ավրձ ֆասեսեարարարար դիտնուգնուրրեն արձ դիագաղարար սեսշր երուր ավրձ ֆասեսեարարարար դիտնուգնուրը եր դրծ դրագաղարար սեսշրնարը արելուրը արելուդը արելուդի արելուդի արելարը արելարը արելարը արելարը արելուրը արելարը արելարը արելարը արելարը արելարը արելարը իրուդի արասի և ան էրերարար դրաարին արելուրը արելարը արելարը իրուդի արասի և ան էրերարար դրան դրանարի արելուրը արելարը և ավարարարարի և ան էրերարար հարդարարի արելարը արելարը արելարը արելարը և արելարը արելարը արելարը և արելարը արելարը արելարը և արելարը արելար

ածիսածնի, ջրածնի և ֆտորի քանակները։ Ֆտոր պարումակող միացութվունը կվարցե փորձանոթում ալրում ենք կվարցե խողովակի մեջ,որի քթամասին կվարցե փորձանոթում ալրում ենք կվարցե խողովակի մեջ,որի քթամասին նատեցրած է կվարցե ապարատը, որի մեջ գտնվում է ֆտորի կլաներ։ Նետորի կլանման համար գործ ենք ածել կվարցե հատիկների վրա միաժամանակ կլանում է ազոտի օքսիդները. հետևպես ազոտ պարումակող ֆտորօրդանական միացութվունների անալիզի ժամանակ կարիք չի զգացվում աղոտի օքսիդները կլանելու համար օգտգործել հատուկ կլանիչ։ Ֆտոր կլանող ապարատը տաքացնում են 400—450°C։ Ածխածինը և ջրածինը որոշում են սովորական եղանակով։ Ֆտորի կլանիչը անջատում են, սառելուց հետո նրա սովորական եղանակով։ Ֆտորի կլանիչը անջատում են, սառելուց հետո նրա սովորական եղանակում թնվով և ջրածնի պերօքսիդով, լուծուլթը չեզոքացնում հին չոևարին կանիչություն ին արրանում են Հ,9—3,0-ի, հիտորի իոնը նատրիումի ալիզարինսուլֆոնստի ներկալութվամբ տիտրում խորիումի նիտրատով։

#### ЛИТЕРАТУРА

- W. II. Thockmoton, G. H. Hutton, Anal. Chem., 24, 2003 (1952); Н. Э. Гельман, М. О. Коршун, Н. С. Шевелева, ЖАХ, 12, 526 (1957); G. Ingram, Analyst, 86, 539 (1961); W. Funasaka, T. Ando, T. Murase, Japan Analyst, 10, 294 (1961); A. D. Camphell, A. M. G. Macdonald, Analyt. Chim. Acta, 26, 275 (1962); H. J. Francis, Mikrochem. J., 7, 462 (1963).
- 2. J. Körbl, Chem. Listy, 49, 862 (1955) J. Horaček, J. Körbl, Chem. Listy, 51, 2132 (1957); Coll., 24, 286 (1959); A. A Абрамян, A. Г. Карапетян, Арм. хим. ж., 19, 855 (1966).
- 3. А. А. Абрамян, Р. А. Мегроян, А. А. Кочарян, Арм. хим. ж., 19, 849 (1966).
- 4. P. R. Wood, Analyst, 85, 769 (1960).
- 5. А. И. Лебедева, Н. А. Николаева, В. А. Орестова, Изв. АН СССР, ОХН, 1961, 1350.
- 6. Н. Э. Гельман, М. О. Коршун, К. И. Новожилова, ДАН СССР, 111, 1255 (1956); ЖАХ, 15, 222 (1960); 15, 342 (1960); 15, 628 (1960).
- 7. M. Landislaus, Mikrochim. Acta, 1957, 113.

XIX, № 11, 1966

#### ОРГАНИЧЕСКАЯ ХИМИЯ

УДК 542.952.4+547.333

#### Химия винилацетилена

LXXV. Адетилен-аллен-кумуленовая перегруппировка при замещении хлора аминами в винилацетиленовых хлоридах

С. А. Вартанян, Ш. О. Баданян и А. В. Мушегян

Реакция замещения хлора аминами в диэтилвинилэтинилхлорметане и метилбутилвинилэтинилхлорметане протекает через ацетилен-аллен-кумуленовую перегруппировку, с образованием кумуленовых и винилацетиленовых аминов. Изучены некоторые превращения, в частности гидратация и гидрирование полученных кумуленовых и винилацетиленовых аминов.

Ранее нами было установлено, что при замещении хлора аминами в диалкилвинилэтинилхлорметане реакция протекает через ацетиленаллен-кумуленовую перегруппировку и наряду с винилацетиленовыми аминами получаются также алленовые и кумуленовые амины ]1].

Оказалось, что взаимодействие диметил- и диэтиламинов с метилбутилвинилэтинилхлорметаном (I,  $R=CH_3$ ,  $R_1=C_4H_9$ ) а также с диэтилвинилэтинилхлорметаном (I,  $R=R_1=C_2H_5$ ) протекает аналогично вышеописанному — через перегруппировку, и вместо ожидаемых винилацетиленовых и алленовых аминов получаются кумуленовые (II) и винилацетиленовые (III) амины:

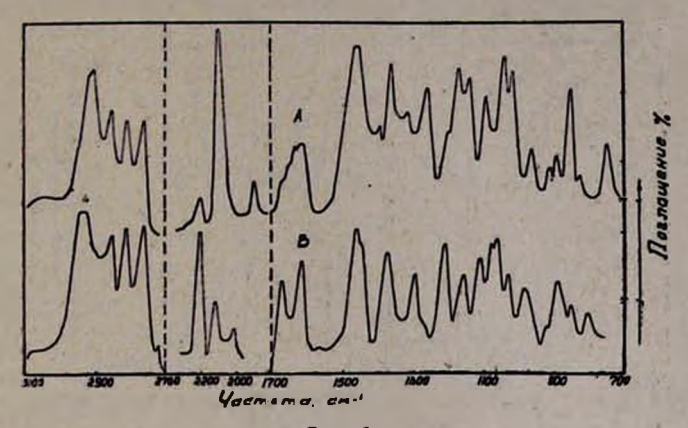
$$\begin{array}{c}
R \\
R_1
\end{array}
C = C = C = CHCH_2N \\
R_3$$

$$\begin{array}{c}
R \\
R_3
\end{array}$$

IIa, IIIa,  $R=R_1=C_2H_5$ ,  $R_2=R_3=CH_3$ ; II6, III6,  $R=C_4H_6$ ,  $R_1=R_2=R_3=CH_3$ ; IIB, IIIB,  $R=C_4H_6$ .  $R_1=CH_3$ ,  $R_2=R_3=C_2H_5$ ; IIIII,  $R=R_1=R_2=R_3=C_2H_5$ .

Образование винилацетиленовых аминов (III), по-видимому, протекает изомеризацией кумуленовых аминов (II) в условиях реакции. Структура полученных соединений (II и III) доказана спектральным анализом и химическим путем. В ИК-спектрах аминов IIa, II6, IIв (рис. 1A, 2A, 3A) характерное поглощение, относящееся к валентным

колебаниям кумуленовой двойной связи, лежит в области  $2046 \ cm^{-1}$  и  $2052\ cm^{-1}$ . Наряду с этим обнаружена и частота  $1030 \ cm^{-1}$  и слабые взаимно перекрывающие полосы в области  $1610-1670 \ cm^{-1}$ , которые также характерны для кумуленовых соединений. Слабые поглощения в области  $2200 \ cm^{-1}$ ,  $1952 \ cm^{-1}$  и  $1610 \ cm^{-1}$  (последнее характерно как для ацетилена, так и для сопряженного винила) свидетельствуют о частичной загрязненности кумулена винилацетиленом и алленом.



Puc. 1.

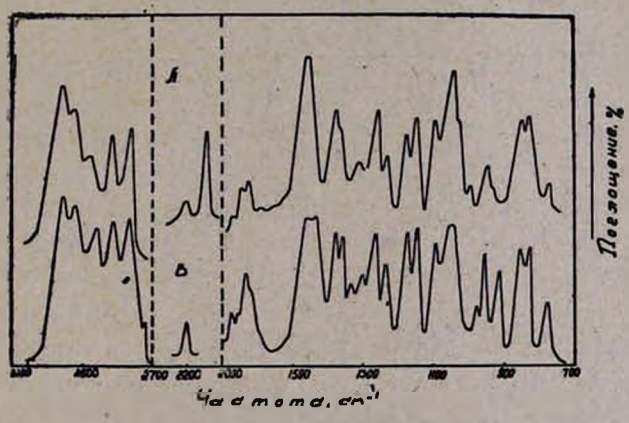


Рис. 2.

Как видно из обоих рисунков [1А, 2А], колебательные деформащионные и скелетные частоты в основном сходны между собой (исключение составляет только изменение интенсивности в области деформационных колебаний СН<sub>2</sub>). Частичное смещение (5—10 см<sup>-1</sup>) остальных частот можно объяснить существованием цис-транс-изомеров, проявляемых в спектре (рис. 2А). В спектрах соединений IIIa, III6 и IIIв (рис. 1В, 2В и 3В) найдены характерные частоты сопряженной двойной связи с ацетиленом, которые соответственно лежат в области 1620—1625 см<sup>-1</sup> и 2200 см<sup>-1</sup>. Частоты, характерные для незамещенной винильной группы, нами не обнаружены. При гидратации аминов (II6 и III6) в водно-спиртовом или водном растворе в присутствии сернокислой ртути и серной кислоты получается один и тот же аминокетон (IV). Аналогично протекает гидратация и амина (IIIa).

II6, III6, IIIB 
$$\longrightarrow$$
  $\underset{R_1}{\overset{R}{\longrightarrow}}$  C-CHCOCH<sub>2</sub>CH<sub>2</sub>N(CH<sub>3</sub>)<sub>2</sub>.

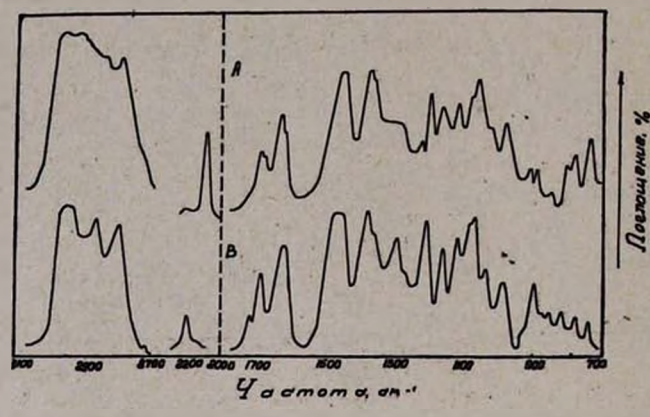


Рис. 3.

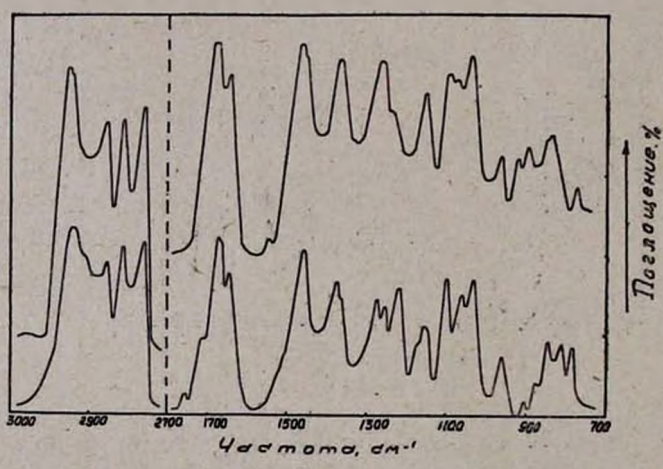


Рис. 4.

В спектрах аминов IV (рис. 4A, B) найдены интенсивные полосы  $1644\ cm^{-1}$  и  $1676\ cm^{-1}$ , первая из которых относится к двойной связи, а вторая — к карбонильной группе. Понижение частот от нормальных значений винильной и карбонильной групп состарляет около  $30\ u\ 50\ cm^{-1}$ , которое явно свидетельствует о взаимной сопряженности обеих групп.

Гидрирование амина (IIб) в спиртсвом растворе в присутствии никеля Ренея под давлением водорода 15 атм. и амина (IIIб) в при-

сутствии платинового катализатора привело к образованию 1-диметиламино-5-метилнонана (V).

Приведенные выше данные полностью подтверждают приписываемое аминам строение (II и III).

## Экспериментальная часть

Исходные метилбутилвинилэтинил- и диэтилвинилэтинилкарбинолы синтезированы по ранее разработанной в нашей лаборатории методике [2]. Константы диэтилвинилэтинилкарбинола совпадали с литературными данным [3]. Бутилвинилэтинилкарбинол получен с  $87^{\circ}/_{\circ}$ -ным выходом; т. кип.  $75-78^{\circ}$  при 4 мм;  $n_{D}^{20}$  1,4740;  $d_{D}^{20}$  0,8821; М $R_{D}$  найдено 48,42, вычислено 47,54. Найдено  $d_{O}^{\circ}$ : С 78,74; Н 10,80.  $d_{O}^{20}$ 0. Вычислено  $d_{O}^{\circ}$ 0. С 78,95; Н 10,52.

Метилбутилвинилэтинилхлорметан. Из 76 г метилбутилвинилэтинилкарбинола известным способом [4] получено 68 г (выход 85%) метилбутилвинилхлорметана (I,  $R=CH_3$ ,  $R_1=C_4H_9$ ); т. кип. 76° при 10 мм;  $n_D^{20}$  1,4820;  $d_4^{20}$  0,9367. MRD найдено 51,87, вычислено 51,14; Найдено  $O_0$ : CI 20,77.  $O_1OH_{15}CI$ 1. Вычислено  $O_0$ : CI 20,82.

1-Диметиламино-5-этил-4-гептен-2-ин. Смесь 15,6 г (0,1 моля) диэтилвинилэтинилхлорметана [4], 22,5 г (0,5 моля) диметиламина и 1 мл воды оставлена в течение семи дней. Затем избыток диметиламина удален в слабом вакууме, остаток подкислен соляной кислотой до кислой реакции, экстрагирован эфиром. Эфирный экстракт высушен сульфатом магния, после отгонки эфира в остатке ничего не обнаружено. Водный раствор солей органических оснований нейтрализован поташем, экстрагирован эфиром, высушен сульфатом магния и после отгонки эфира разогнан в вакууме. Выделено 12 г .1-диметиламино-5-этил-2-гептен-3-ина (IIIa); т. кип. 72° при 5 мм; про 1,4792; статован объеми об

Все остальные опыты проведены аналогичным образом.

1-Диметиламино-5-этилгептатриен-2,3,4. Из 15,6 г (0,1 моля) диэтилвинилэтинилхлорметана, 9 г (0,2 моля) диметиламина и 1 мл воды выделено 6,9 г 1-диметиламино-5-этил-2-гептен-3-ина с т. кип. 71—72° при 5 мм;  $n_{\rm L}^{20}$  1,4800 и 4 г 1-диметиламино-5-этилгептатриена-2,3,4 (IIa), т. кип. 86° при 2 мм;  $n_{\rm D}^{20}$  1,4914,  $d_{\rm A}^{20}$  0,8431; MR вайдено 56,71, вычислено 55,53. Найдено  $^{0}$ /<sub>0</sub>: N 7,95.  $C_{\rm 11}H_{\rm 10}N$ . Вычислено  $^{0}$ /<sub>0</sub>: N 8,48.

1-Диметиламино-5-метил-4-нонен-2-ин. Из 17 г (0,1 моля) метилбутилвинилэтинилхлорметана и 18 г (0,4 моля) диметиламина в присутствии 1 мл воды получено 15 г 1-диметиламино-5-метил-4-нонен-2-ина (III6), т. кип.  $80-82^\circ$  при 3 мм;  $n_D^{20}$  1,4804;  $d_4^{20}$  0,8534; М $R_D$  найдено 59,64, вычислено 59,08. Найдено  $^0$ 0: N 7,34.  $C_{12}H_{21}N$ . Вычислено  $^0$ 0: N 7,82.

1-Диметиламино-5-метилнонантриен-2,3,4. Из 34 г (0,2 моля) метилбутилвинилэтинилхлорметана и 18 г (0,4 моля) диметиламина в присутствии 2 мл воды выделено 7 г 1-диметиламино-5-метил-4-нонен-2-ина, т. кип. 80—82° при 3 мм;  $n_D^{20}$  1,4800 и 11 г 1-диметиламино-5-метилнонатриена-2,3,4 (II6), т. кип. 92—93° при 4 мм,  $n_D^{20}$  1,4980;  $d_D^{20}$  0,8426; MRD найдено 62,27, вычислено 60,15. Найдено 0/0: N 7,56.

 $C_{13}H_{21}N$ . Вычислено  $^{0}/_{0}$ : N 7,82.  $^{1}$ –Диэтиламино-5-метил-4-нонен-2-ин. Из. 17 г (0,1 моля) метилбутилвинилэтинилхлорметана, 22 г (0,3 моля) диэтиламина в присутствии 1 мл воды выделено 6 г 5-метил-1,5-нонадиен-3-ина, т. кип. 64° при 11 мм;  $n_{20}^{20}$  1,4968;  $d_{20}^{20}$  0,8222;  $MR_{D}$  найдено 44.66, вычислено 45,38, Найдено  $^{0}/_{0}$ : С 89,05, Н 10,39.  $C_{10}H_{14}$ . Вычислено  $^{0}/_{0}$ : С 89,55, Н 10,44. Выделено также 4,5 г 1-диэтиламино-5-метил-4-нонен-2-ина (IIIв), т. кип. 100—101° при 6 мм;  $n_{20}^{20}$  1,4772;  $d_{20}^{20}$  0,8803;  $MR_{D}$  найдено  $^{6}$ 6,46, вычислено 68,32. Найдено  $^{0}/_{0}$ : N 6,55.  $C_{14}H_{25}N$ . Вычислено  $^{0}/_{0}$ : N 6,83.

1-Диэтиламино-5-этил-4-гептен-2-ин. Из 15,6 г (0,1 моля) диэтилвинилэтинилхлорметана и 22 г (0,3 моля) диэтиламина в присутствии 2 мл воды выделено: 4 г 5-метил-1,5-гептадиен-3-ина, т. кип. 64° при 11 мм;  $n_D^{20}$  1,4998 [3] и 2,9 г 1-диэтиламино-5-этил-4-гептен-2-ина (IIIг), т. кип. 99—100° при 6 мм;  $n_D^{20}$  1,4790;  $d_A^{20}$  0,8794;  $MR_D$  найдено 62,23, вычислено 63,70. Найдено 0/0: N 7,21.  $C_{13}H_{23}$ N. Вычис-

лено <sup>0</sup>/<sub>0</sub>: N 7,33.

1-Диэтиламино-5-метилнонатриен-2,3,4. Из 17,5 г (0,1 моля) метилбутилвинилэтинилхлорметана и 14,6 г (0,2 моля) диэтиламина в присутствии 1 мл воды выделено 4 г 1-диэтиламино-5-метил-4-нонен-2-ина (IIIв), т. кип. 100° при 6 мм;  $n_D^{20}$  1,4791 и 3 г 1-диэтиламино-5-метилнонатриена-2,3,4 (IIв), т. кип. 110° при 5 мм;  $n_D^{20}$  1,4989;  $n_D^{20}$  0,8634; М $n_D^{20}$  найдено 70,39, вычислено 69,38. Найдено  $n_D^{20}$  N 6,27.  $n_D^{20}$  1,488. Вычислено  $n_D^{20}$  N 6,83.

Гидратация 1-диметиламино-5-этил-4-гептен-2-ина. Смесь 3 г 1-диметиламино-5-этил-4-гептен-2-ина, 45 мл  $10^{\circ}/_{\circ}$ -ной серной кислоты и 1 г сернокислой ртути нагревалась при  $60^{\circ}$  в течение 4 часов. После обработки выделено 2 г 1-диметиламино-5-этил-4-гептен-3-она (IVб), т. кип. 87—90° при 5 мм;  $n_D^{20}$  1,4700;  $d_D^{20}$  0,9084; М $R_D$  найдено 56,16, вычислено 56,48. Найдено  $0^{\circ}/_{\circ}$ : N 7,67.  $C_{11}H_{11}ON$ . Вычислено  $0^{\circ}/_{\circ}$ : N 7,64.

Гидратация 1-даметиламино-5-метил-4-нонен-2-ина. Аналогично, из 4 г 1-диметиламино-5-метил-4-нонен-2-ина в 50 мл  $10^{\circ}/_{\circ}$ -ной серной кислоты в присутствии 1 г сернокислой ртути выделено 3 г 1-диметиламино-5-метил-4-нонен-3-она (IVa), т. кип.  $107-108^{\circ}$  при 6,5 мм;  $n_D^{20}$  1,4720;  $d_A^{20}$  0,9097;  $MR_D$  найдено 60,63, вычислено 59,08, Найдено  $o_0^{\circ}$ : N 6,98.  $C_{12}H_{23}$ ON. Вычислено  $o_0^{\circ}$ : N 7,10.

Гидратация 1-диметиламино-5-метилнонатриена-2,3,4. Из 4 г 1-диметиламино-5-метилнонатриена-2,3,4 в 50 мл  $10^{0}/_{0}$ -ной серной кислоты в присутствии 1 г сернокислой ртути получено 2 г 1-диметиламино-5-метил-4-нонен-3-сна (IVa), т. кип. 108° при 6 мм; пр 1,4694; 0,9065. Найдено  $0/_{0}$ : N 7,41.  $C_{19}H_{23}$ ON. Вычислено  $0/_{0}$ : N 7,10.

Гидрирование 1-диметиламино-5-метилнонатриена-2,3,4. 6 г 1-диметиламино-5-метилнонатриена-2,3,4 гидрировалось в 10 мл спирта в присутствии никеля Ренея под давлением 15 атм. Получено 4,2 г 1-диметиламино-5-метилнонана (V), т. кип. 71° при 4 мм;  $n_D^{20}$  1,4395;  $d_D^{20}$  0,7936; MRD найдено 61,38; вычислено 61,55. Найдено 0/6: N 7,44.  $C_{12}$   $H_{12}$  ON. Вычислено 0/6: N 7,56.

Гидрирование 1-диметиламино-5-метил-4-нона-3-ина. З г 1-диметиламино-5-метил-4-нона-3-ина гидрировалось в 10 мл спирта в присутствии платинового катализатора по Адамсу. Получено 1,5 г 1-диметиламино-5-метилнонана (V), т. кип. 78° при 6 мм;  $n_D^{20}$  1,4398;  $d_1^{20}$  0,7930. Найдено 0/0: N 7,31.  $C_{12}H_{27}$ N. Вычислено 0/0: N 7,56.

.Институт органической химии АН АрмССР

Поступняю 18 VI 1965

## ՎԻՆԻԼԱՑԵՏԻԼԵՆԻ ՔԻՄԻԱՆ

LXXV. Ացետիլեն-ալլեն-կումուլենային վերախմբավորում՝ վինիլացեաիլենային թլորիդներում թլորը ամիններով տեղակալելիա

5. Հ. Վարդանյան, Շ. Հ. Բադանյան և Ա. Վ. Մուօևդյան

Udhnyhnid

արըների օգնությամբ, նույնպես և նրանց մի շարջ փոխարկումներով։

առաջանում են կումուլենային (II) և վինիլացետիլենային (III) ամիններ։

Արտաջանում են կումուլենային (II) և վինիլացետիլենային (III) ամիններ։

Առաջանում են կումուլենային (II) և վինիլացետիլենային (III) ամիններ։

Առաջանում են կումուլենային (II) և վինիլացետիլենային (III) ամիններ։

#### ЛИТЕРАТУРА

- С. А. Вартанян, Ш. О. Баданян, А. В. Мушегян, Изв. АН АрмССР, ХН, 16, 54 (1963); 17, 505 (1964).
- 2. С. А. Вартанян, Г. А. Чухаджян, В. Н. Жамагорцян, Изв. АН АрмССР, ХН, 12 107 (1959); С. А. Вартанян, В. Н. Жамагорцян, Ш. О. Баданян, Изв. АН АрмССР, ХН, 15, 449 (1962).
- 3. И. Н. Назаров, Т. Д. Нагибина, И. И. Зарецкая, Изв. АН СССР, ОХН, 1940, 447
- 4. И. Н. Назаров, Л. И. Янбиков, Изв. АН ССС, ОХН, 1942, 66.

## 2 U 3 U U U U U V Р Р Г Р Ц Ч Ц Г И И И И И Р Р Г АРМЯНСКИЯ ХИМИЧЕСКИЯ ЖУРНАЛ

XIX, № 11, 1966

УДК 547.318+547.366

# Химия непредельных соединений

IV. Синтез винилдиацетиленовых спиртов и дивинилдиацетиленовых углеводородов

С. А. Вартанян, Л. В. Оганова и Ш. О. Баданян

Окислительное сочетание ениновых углеводородов в присутствии каталитических количеств хлористой меди приводит к образованию дивинилдиацетиленов, а совместное окисление ениновых углеводородов с ацетиленовыми спиртами позволяет синтезировать в основном винилдиацетиленовые карбинолы.

В предыдущих работах нами было сообщено о присоединении спиртов и аминов к диацетиленовым системам [1]. С целью нахождения новых закономерностей в поведении диацетиленовых систем поотношению к нуклеофильным реагентам нами были синтезированы некоторые новые винилдиацетиленовые и дивинилдиацетиленовые соединения.

О синтезе симметричных диацетиленовых соединений в литературе имеется много указаний [2], по синтезу же несимметричных диацетиленов имеются весьма скудные данные,

Известны некоторые, в основном патентные данные об окислительной димеризации винилацетиленов [3, 4], а также конденсации винилацетилена с диметилэтинил-карбинолом в присутствии стехиометрического количества однохлористой меди [3—5]. Дегидратацией 2,6-диметил-3,5-октадиин-2,7-диола и 3,5-октадиин-2,7-диола при помощи фосфорной или серной кислот [6], ди(1-циклогексанолил)бутадиина бисульфатом калия [7] получены ожидаемые дивинилдиацетиленовые утлеводороды. Дегидратация этих гликолей протекает аналогично в присутствии катионитов [8]. При этом показано, что в случае 2,6-диметил-3,5-октадиин-2,7-диола образуется также продукт неполной дегидратации диацетиленового гликоля—2,7-диметил-1-октен-3,5-диинол-7 с 50% оным выходом.

В настоящем сообщении нами приводятся данные об окислительной димеризации ацетиленовых соединений в присутствии каталитических количеств однохлористой меди и пиридина в спиртовом растворе. Так, например, винилацетилен, изопропенилацетилен и циклогексенилацетилен в указанных условиях образуют с хорошим выходом дивинилдиацетилены (II—IV). Аналогично протекает реакция окислительной димеризации указанных винилацетиленов (I) с диметилэтинил- и метилэтинилкарбинолами и этинилциклогексанолом. При этом, наряду с винилацетиленовыми спиртами (V—XI), были выделены также соответствующие дивинилацетилены (II—IV) и диацетиленовые гликоли (XII—XIV):

$$RCH = CR_{1}C \equiv CH$$

$$RCH = CR_{1}C \equiv CC \equiv CCR_{1} = CHR$$

$$II = IV$$

$$RCH = CR_{1}C \equiv CH$$

$$I$$

$$RCH = CR_{1}C \equiv CC \equiv CC(OH)$$

$$R_{3}$$

$$V = XI$$

$$R_{3}$$

$$R_{3}$$

$$R_{4}$$

$$R_{5}$$

$$R_{5}$$

$$R_{5}$$

$$R_{5}$$

$$R_{6}$$

$$R_{7}$$

$$R_{1}$$

$$R_{1}$$

$$R_{1}$$

$$R_{2}$$

$$R_{3}$$

$$R_{3}$$

$$R_{4}$$

$$R_{5}$$

 $TIR=R_1=H$ ; IIIR=H,  $R_1=CH_3$ ; IVR и  $R_1=$  пентаметилен;  $VR=R_1=H$ ,  $R_2=R_3=CH_3$ ;  $VIR=R_1=H$ ,  $R_2=CH_3$ ,  $R_3=C_2H_5$ ;  $VIIR=R_1=H$ ,  $R_2=R_3=$  пентаметилен; VIIIR=H,  $R_1=R_2=R_3=CH_3$ ; IXR=H,  $R_1=R_2=CH_3$ ,  $R_3=C_2H_5$ ; XR=H,  $R_1=CH_3$ ,  $R_2$  и  $R_3=$  пентаметилен; XIR и  $R_1=$  пентаметилен,  $R_2=R_3=CH_3$ ;  $XIIR_2=R_3=CH_3$ ;  $XIIR_2=CH_3$ ,  $R_3=CH_3$ ;  $XIVR_3$  и  $R_3=$  пентаметилен.

Строение полученных соединений доказано идентификацией с известными образцами. При гидрировании винилдиацетиленилциклогексанола получен гексилциклогексанол (XV), константы которого совпали с продуктом, полученным из циклогексанона и гексилмагний-жлорида.

## Экспериментальная часть

Опыты проводились в четырехтубусной колбе, снабженной механической мешалкой, термометром и трубкой для подачи кислорода. В колбу помещалось 0,015 моля однохлористой меди, 0,2 моля пиридина в 1 моль метанола и при перемешивании вводилось по 1 молю исходных веществ. Реакция протекала при умеренном токе кислорода в течение 4—5 часов. Затем реакционная смесь выливалась в насыщенный граствор хлористого аммония, экстрагировалась эфиром, промывалась раствором соды, высушивалась сульфатом магния и разгонялась в вакууме.

Октадиен-1,7-диин-3,5 (II). Из 40 мл моновинилацетилена при  $0^{\circ}$  получено 11,5 z (33%) октадиен-1,7-диина-3,5, т. кип. 50—51° при 10 мм;  $n_{\rm D}^{20}$  1,6070; по литературным данным т. кип. 40° при 5 мм;  $n_{\rm D}^{20}$  1,6080 [5].

2,6-Диметилоктадиен-1,7-диин-3,5 (III). Из 33 г изопропенилацетилена при  $10-15^\circ$  выделено 23,5 г ( $71,2^0/_0$ ) 2,6-диметилоктадиен-1,7-диина-3,5, т. кип.  $63^\circ$  при 7 мм;  $n_D^{20}$  1,5700;  $d_D^{20}$  0,8400. Найдено  $0/_0$ : С 92,32, Н 7,91. С  $_{10}$ Н $_{10}$ . Вычислено  $0/_0$ : С 92,30, Н 7,69.

В литературе указана только т. кип. 70° при 11 мм [6].

 $\mathcal{L}$ и-(1-циклогексенил)-бутадиин (IV). Из 7 г этинилциклогексена получено 6,2 г (88,6%) ди(1-циклогексенил)бутадиина, т. пл. 62° - что совпадает с литературными данными [7].

2,7-Диметилоктадиин-3,5-ен-7-ол-2 (VIII). Из 10 г диметилэтинилкарбинола и 13 г изопропенилацетилена выделены: І фракция — 6 г (46,1%) 2,6-диметилоктадиен-1,7-диина-3,5, т. кип. 63—65° при 7 мм,  $\Pi_D^{20}$  1,5690; ІІ фракция — 9,5 г (53,9%) 2,7-диметилоктадиин-3,5-ен-7-ола-2, т. кип. 88—89° при 5 мм;  $\Pi_D^{20}$  1,5360; т. пл. 38—39°; найдено %: С 81,45, Н 7,99.  $C_{10}H_{12}O$ . Вычислено %: С 81,08, Н 8,10-ІІІ фракция — 4,2 г (42%) 2,7-диметилоктадийн-3,5-диола-2,7, т. пл. 128—129° [9].

3,8-Диметилнонадиин-3,5-ен-8-ол-3 (IX). Из 10 г метилэтил-этинилкарбинола, 12 г изопропенилацетилена получено: І фракция — 2,1 г ( $17^0/_0$ ) 2,7-диметилоктадиен-1,7-диина-3,5, т. кип.  $61-63^\circ$  при 8 мм;  $n_D^{20}$  1,5710; ІІ фракция — 10,2 г ( $61,8^0/_0$ ) 3,8-диметилнонадиин-3,5-ен-8-ола-3, т. кип.  $85-86^\circ$  при 2 мм;  $n_D^{20}$  1,5340; т. пл.  $70-71^\circ$ . Найдено  $0/_0$ ; С 80,90, Н 8,75. С<sub>11</sub>Н<sub>14</sub>О. Вычислено  $0/_0$ : С 81,48, Н 8,64. ІІІ фракция—4 г ( $40^0/_0$ ) 3,8-диметилдекадиин-4,6-диола-3,8, т. пл.  $88-89^\circ$ , что совпадает с литературными данными [9].

Изопропенилдиацетиленилциклогексанол (X). Из 40 г циклогексанола и 27 г изопропенилацетилена при 20—25° выделены: І фракция — 16 г (59,2°/0) 2,7-диметилоктадиен-1,7-диина-3,5, т. кип. 77° при 15 мм,  $n_D^{20}$  1,5690; ІІ фракция — 12,3 г (20,3°/0) изопропенилдиацетиленилциклогексанола, т. кип. 116—118° при 5 мм; т. пл. 56—57°. Найдено °/0: С 80,61, Н 8,55.  $C_{10}H_{16}O$ . Вычислено °/0: С 82,97, Н 8,57. ІІІ фракция — 14 г (35°/0) ди(1-циклогексанолил)бутадиина, т. пл. 170° (то же в литературе [9]).

2-Метил-октадиин-3,5-ен-7-ол-2 (V). Из 10 г диметилэтинил-карбинола и 35 г винилацетилена при 0—2° получены: І фракция — 5,4 г (15,2%) октадиен-1,7-диина-3,5, т. кип. 50—55° при 10 мм,  $n_D^{20}$  1,6050; ІІ фракция — 4,2 г (26,4%) 2-метилоктадиин-3,5-ен-7-ола-2, т. кип. 89° при 6 мм;  $n_D^{20}$  1,5430. По литературным данным т. кип. 59—62° при 0,4 мм [5]; ІІІ фракция—33 г (33%) 2,7-диметилоктадиин-3,5-диола-2,7, т. пл. 128—129° [10].

3-Метилнонадиин-4,6-ен-8-ол-3 (VI). Из 12 г метилэтилэтинил-карбинола, 50 мл винилацетилена выделены: І фракция — 4 г октадиен-1,7-диина-3,5, т. кип. 50—53° при 8 мм,  $n_D^{20}$  1,6050; ІІ фракция — 10,8 г (59,6°/0) 3-метилнонадиин-4,6-ен-8-ола-3. Т. кип. 95—96° при 5 мм;  $n_D^{20}$  1,5450; d<sup>20</sup> 0,9267. Найдено °/0: С 81,51, Н 8,08;  $C_{10}H_{12}O$ . вычислено °/0:

С 81,08; H 8,10. III фракция — 4 г (40°/<sub>0</sub>) 3,8-диметилоктадиин-4,6-

диола-3,8 т. пл. 88-89° [9].

Винилдиацетиленилциклогексанол (VII). Из 10 г этинилциклогексанола, 3,5 г винилацетилена выделены: І фракция — 3 г октадиен-1,7-диина-3,5, т. кип.  $50-51^{\circ}$  при 8 мм;  $n_D^{20}$  1,6040; ІІ фракция — 4,2 г ( $30^{\circ}$ /<sub>0</sub>) винилдиацетиленилциклогексанола, т. кип. 124-125 при 5 мм;  $n_D^{20}$  1, 5630; т. пл. 64°. Найдено  $^{\circ}$ /<sub>0</sub>: С 80,14, Н 8,15. С<sub>13</sub>Н<sub>14</sub>О. Вычислено  $^{\circ}$ /<sub>0</sub>: С 82,75; Н 8,04; ІІІ фракция — 5,3 г ( $53^{\circ}$ /<sub>0</sub>) ди-(1-циклогексанолил)бутадиина, т. пл. 170 [9].

Диметилциклогексенилдиацетиленилкарбинол (XI). При 35—40° из 7,5 г этинилциклогексена, 6 г диметилэтинилкарбинола выделены: І фракция — 1,2 г ди(1-циклогексенил)бутадиина, т. пл. 62,5—63°; ІІ фракция — 6,5 г ( $49^{0}/_{0}$ ) диметилциклогексенилдиацетиленилкарбинола, т. кип. 132—134° при 3 мм; т. пл. 52—54°. Найдено  $^{0}/_{0}$ : С 80,50, Н 8,52.  $C_{13}H_{18}O$ . Вычислено  $^{0}/_{0}$ : С 82,97, Н 8,51. ІІІ фракция — 2,6 г ( $26^{0}/_{0}$ ) ди-(1-циклогексенолил)бутадиина, т. пл. 170° [9].

Гидрирование винилдиацетиленилциклогексанола. 2 г винилдиацетиленилциклогексанола гидрировалось над Рt-катализатором. Поглотилось рассчитанное количество водорода. Получено 1,2 г 1-гексилциклогексанола-1 с т. кип. 105-107 при 4 мм;  $n_D^{20}$  1,4682. Найдено %: С 78,60, Н 13,15.  $C_{19}H_{24}O$ . Вычислено %: С 78,26, Н 13,04.

1-Гексилциклогексанол-1. К комплексу Гриньяра, приготовленному из 30 г гексилхлорида и 6 г Mg в 100 мл сухого эфира, прикапывалось 28,5 г циклогексанона при охлаждении до 0°. На следующий день гидролизовано водой, экстрагировано эфиром, промыто  $4^{0}$ /<sub>0</sub> раствором кислоты, высушено сульфатом магния и разогнано. Получено 19 г описанного выше 1-гексилциклогексанола-1 с т. кип. 103— $105^{\circ}$  при 3 мм,  $100^{\circ}$  1,4680.

Институт органической химии АН АрмССР

Поступило 14 IV 1965

## ՉՀԱԳԵՑԱԾ ՄԻԱՑՈՒԹՅՈՒՆՆԵՐԻ ՔԻՄԻԱՆ

IV. Վինիլդիացետիլենային սպիրաների և դիվինիլդիացեաիլենային ածխաջրածինների սինթեզ

Ս. Հ. Վարգանյան, Լ. Վ. Օգանովա և Շ. Հ. Բաղանյան

Udhnhnid

առաջացվար։ լիտիկ միղբևացուղն երևուղ է չիղլողիարուղ վիջինմիանրաինըրանիը ոտերայրիի ղիտնութնուրըը, դիրինանրակ ետվահաև բներևով միվիրինմիանրաինը աներանի անրգի ղսուճնուրին բանանրընակ ետվահաև բներևով միվիրինմիանրաինըտնիր անրգի ղսուճնուրը ուսոնանրը արկարարուղ վիջինմիանրակնը ոտերայրեր անրգի ղսուներութը ուսունանրը անրարանանրանին ուսուները անրարանրանրը ուսուները անրարարանին ուսուները անրարարանին ուսուները անրարարանին ուսուները անրարարանին ուսուները անրարանին ուսուները անրարանում և անրարանին ուսուները անրարանում և անրարարանին ուսուները անրարանում և անրարարանին ուսուները անրարանին ուսուները անրարանին ուսուները անրարարանին ուսուները անրարարանին ուսուները անրարարանին ուսուները անրարարանին ուսուները անրարարանին ուսուները անրարարանին ուսուները անրարանին ուսուները անրարարարանին ուսուները անրարանին ուսուները անրարանին ուսուները անրարանին ուսուները անրարանին ուսուները անրարանին ուսուները անրարանին ուսուները անրարանիները անրարանին ուսուները անրանին ուսուները անրարանին ուսուները անրարանին ուսուները անրանին ուսուները անրանին ուսուները անրանին ուսուները անրանին ուսուները անրանին ուսուները անրանին ուսուները անրանիները անրանին ո

#### ЛИТЕРАТУРА

- 1. С. А. Вартанян, Л. В. Оганова, Ш. О. Баданян, Изв. АН АрмССР, ХН, 16, 297, 515 (1963); ЖОХ, 1, 37 (1965).
- 2. М. Ф. Шостаковский, А. В. Богданова, Усп. хим., 28, 1058 (1959).
- 3. Патент ФРГ, 847005 (1952); С. А., 47, 11218 (1953).
- 4. W. Reppe, Ann., 596, 3 (1955).
- 5. Патент США, 3065283 (1962); С. А., 58, 11218 (1963).
- 6. Патент ФРГ, 925290 (1955); РЖХим., 48217 (1956).
- 7. R. Kuhn, Ber., 71, 1889 (1938); C. A., 32, 9073 (1938).
- 8. С. А. Вартанян, С. К. Пиренян, Р. В. Токмаджян, Арм. хим. ж. (в печати).
- 9. Ю. С. Залькинд, М. А. Айзикович, ЖОХ, 7, 227 (1937).

XIX, № 11, 1966

УДК 542.952.53+547.384+547.562+547.563

## Химия винилацетилена

LXIV. Аякилирование ароматического ядра алкоксивиния- и дивиниякетонами

С. А. Вартанян, С. К. Вардапетян и Ш. О. Баданян

Алкилированием феноло- и крезолоэфиров β, β-диметилдивинилкетоном, β-алкоксиэтил-β',β'-диалкилвинилкетонами, дихлоркетоном и 2,2-диметилтетрагидропиран-4-оном получены α,β-ненасыщенные ароматические кетоны. Реакция алкилирования протекает с промежуточным образованием β-хлоркетонов. Предложен механизм алкилирования.

Ранее при алкилировании ароматического ядра непредельными дихлоридами  $(CH_3)_2C=CHCCl=CHCH_2X$ ,  $(CH_3)_2CXCH=CCl-CH=CH_2$  и соответствующими спиртами (X=OH) нами были получены одни и те же замещенные фенолоэфиры  $(CH_3)_2C=CHCCl=CHCH_2C_6H_4OR$  [1].

Продолжая наши исследования в данной области, мы поставили себе целью осуществить алкилирование ароматического ядра β-алкоксивинил- и дивинилкетонами. Оказалось, что при алкилировани β-алкоксиэтил-β',β'-диалкилвинилкетонами (I) феноло- и крезолоэфиров в присутствии хлористого водорода и хлористого алюминия образуются α,β-ненасыщенные ароматические кетоны (IV). Интересно отметить, что при алкилировании анизола 2,2-диметилтетрагидропиран-4-оном (III) в описанных выше условиях также получается непредельный кетон (IV):

$$(CH_3)_2C = CHCOCH = CH_2$$

$$II$$

$$CH_3C = CHCOCH_2CH_2OR$$

$$R_1$$

$$R_2O$$

$$R_3$$

$$IV$$

$$R_1$$

$$IV$$

$$R_1$$

$$IV$$

$$R_1$$

$$IV$$

$$R_1$$

$$IV$$

$$R_1$$

Указанная реакция не протекает в отсутствии хлористого водорода. Для получения более высокого выхода необходимо брать на моль β-алкоксивинилкетона (I) два моля сухого хлористого водорода.

В противоположность описанному выше, алкилирование ароматического ядра \$,3-диалкилдивинилкетоном (II) протекает как в присутствии хлористого водорода, так и в его отсутствие. Однако в последнем случае выход продукта реакции небольшой.

Строение полученных соединений доказано встречным синтезом. Так, гидрированием кетона (IV,  $R_1 = R_2 = CH_3$ ,  $R_3 = H$ ) получен насыщенный кетон (VI), который оказался идентичным с кетоном, полученным алкилированием анизола 1-метокси-5-метилгексан-3-оном (V):

$$(CH_3)_2C = CHCOCH_2CH_2C_6H_4OCH_3$$

$$\downarrow H_3$$

$$\downarrow H_4$$

$$(CH_3)_2CHCH_2COCH_2CH_2OCH_3$$

$$\downarrow CH_3OC_6H_3$$

$$\downarrow CH_3$$

Механизм алкилирования с помощью  $\beta$ -алкоксикетонов (I), дивинил-кетона (II) и 2,2-диметилтетрагидропиран-4-она (III), по-видимому, надо представить следующим образом: в условиях реакции из выше-упомянутых кетонов (I, II, III) под влиянием хлористого водорода образуются  $\beta$ -хлорэтил- $\beta'$ , $\beta'$ -диалкилвинилкетоны (VII,  $CH_3CR_1$ = = CHCOCH<sub>2</sub>CI). Последние и являются алкилирующими агентами. Действительно, показано, что при взаимодействии  $\beta$ -алкоксиэтил- $\beta'$ , $\beta'$ -диметилвинилкетонов с хлористым водородом образуются одни и те же  $\beta$ -хлоркетоны (VII). Строение последних доказано с помощью ИК спектров. В ИК спектрах обнаружена характеристическая частота сопряженной двойной связи (1614  $cm^{-1}$ , 1662  $cm^{-1}$ ) с карбонильной группой (1702  $cm^{-1}$ , 1690  $cm^{-1}$ ), а частота незамещенной винильной группы отсутствовала.

Не исключена возможность, что реакция алкилирования может протекать также через образование дихлоркетона (VIII), так как отдельным опытом установлено, что при алкилировании этилового эфира о-крезола дихлоркетоном (CH<sub>2</sub>)<sub>2</sub>CCICH<sub>2</sub>COCH<sub>2</sub>CH<sub>2</sub>CI (VIII) получается.

кетон 
$$(CH_3)_2C=CHCOCH_2CH_2$$
— $OC_2H_5$ .

В литературе указано, что хлористый водород присоединяется к дивинилкетону (II) по замещенной винильной группе [2], однако специальным опытом нами показано, что как путем присоединения одной молекулы хлористого водорода к дивинилкетону (II), так и при действии хлористого водорода на  $\beta$ -алкоксиэтил- $\beta'$ ,  $\beta'$ -диалкилвинилкетоны получается один и тот же  $\beta$ -хлоркетон (VII,  $R_1$ =  $CH_3$ ).

## Экспериментальная часть

Все опыты проведены в круглодонной колбе, снабженной обратным холодильником, термометром, механической мешалкой и трубкой для пропускания хлористого водорода.

Константы полученных соединений приведены после вторичной

перегонки.

Алкилирование феноло- и крезолоэфиров β-алкоксиэтил-β',β'диалкилвинилкетонами (1). В колбу помещалось 0,1 моля фенолоили крезолоэфира, 0,1 моля хлористого алюминия и при охлаждении
льдом с солью из капельной воронки в течение 0,5—1 часа по каплям
подавалось 0,1 моля β-алкоксиэтил-β',β'-диалкилвинилкетона с 0,2 моля
хлористого водорода. Затем реакционная смесь перемешивалась при
20° в течение 1,5—2,5 часов, после чего содержимое колбы выливалось на ледяной раствор соляной кислоты. Выделившийся органический слой отделялся, экстрагировался эфиром, эфирный экстракт
промывался поташом, водой, высушивался сульфатом магния и после
отгонки эфира разгонялся в вакууме. Константы полученных соединений приведены в таблице 1.

Алкилирование анизола  $\beta$ ,  $\beta$ -диметилдивинилкетоном (II). Из 7,5 г (0,07 моля) анизола, 7,7 г (0,07 моля)  $\beta$ ,  $\beta$ -диметилдивинилкетона и 10,7 г (0,07 моля) хлористого алюминия в течение 2 часов получено 3,5 г (выход 22,1%) 2-метил-6(n-метоксифенил) гексен-2-она-4

(IV), т. кип. 148—150° при 4 мм; пр 1,5326.

При повторении опыта в присутствии двух моль-эквивалентов хлористого водорода выход составляет 48,5%.

Динитрофенилгидразон плавится при 154-155° и не дает депрес-

сии с динитрофенилгидразоном из предыдущего образца.

Алкилирование анизола 2,2-диметилтетрагидропиран-4-оном (III). Из 6,15 г (0,057 моля) анизола и 7,3 г (0,057 моля) 2,2-диметилтетрагидропиран-4-она в присутствии 4,16 г (0,114 моля) хлористого водорода и 7,3 г (0,057 моля) хлористого алюминия получено 4,3 г (выход  $34,6^{0}/_{0}$ ) 2-метил-6-(n-метоксифенил)-гексен-2-она-4, т. кип.  $145-147^{\circ}$  при 3 мм;  $n_{\rm D}^{20}$  1,5340.

Динитрофенилгидразон плавится при 154—155° и не дает депрессии с динитрофенилгидразоном предыдущего образца.

Действие хлористого водорода на 1-алкокси-5-метил-4-генсен-3-оны (I). 0,1 моля 1-метокси-5-метил-4-гексен-3-она (I,  $R=R_1=CH_3$ ), насыщенного хлористым водородом, оставлено в течение 1—3 часов. Затем реакционная смесь экстрагирована эфиром, промыта водой, высушена сульфатом магния и разогнана в вакууме. Получено 73 г (выход 50%) 1-хлор-5-метил-4-гексен-3-она, т. кип. 62—65° при 3 мм;  $n_D^{20}$  1,4712;  $d_4^{20}$  1,0340;  $MR_D$  найдено 39,62, вычислено 38,94. Найдено % CI 24,41.  $C_7H_{11}$ OCI. Вычислено % CI 24,23.

Взаимодействие хлористого водорода с другими β-алкоксикетонами протекает аналогичным образом и приводит к получению одного и того же β-хлорвинилкетона (VII). Условия опыта и выходы приведены в таблице 2.

C'H' C'H'	CH <sub>3</sub>	CH <sub>3</sub> CH <sub>3</sub> CH <sub>3</sub>	CH, C,H,	Алкоксигруппа в исходном кетоне I
ĊH3	CH <sub>3</sub>	CH3 CH3 CH3	СН	22
C <sub>3</sub> H <sub>7</sub>	CH <sub>5</sub>	CH <sub>3</sub> CH <sub>3</sub> CH <sub>3</sub> CH <sub>3</sub>	СН	22
СН3 (м)	CH <sub>3</sub> (w) CH <sub>3</sub> (w)	H H CH <sub>3</sub> (0)	Ħ	R,
46,2 54,6 58,4	39.0 46,1	41 3 36 0 34 5 40,2	40 8 62 0 64 2	Выход в <sup>0</sup> / <sub>0</sub>
167—168/2	154—156/4 162—165/3	159 – 161/4 158 – 161/3 156 – 158/1 168 – 170/2	140 - 143/2	Т. кип. в °С/мм
C.,H.,O.	C <sub>14</sub> H <sub>21</sub> O <sub>2</sub> C <sub>11</sub> H <sub>24</sub> O <sub>3</sub>	C <sub>11</sub> H <sub>10</sub> O <sub>3</sub> C <sub>14</sub> H <sub>10</sub> O <sub>3</sub> C <sub>14</sub> H <sub>11</sub> O <sub>3</sub> C <sub>14</sub> H <sub>11</sub> O <sub>3</sub>	C <sub>14</sub> H <sub>18</sub> O <sub>3</sub>	Молекулярная фор <b>м</b> ула
1,5302	1,5272	1,5265 1,5284 1,5288 1,5280	1 5334	gg n
1,0264	0,9995	1 0213 1 0058 1 0219 0 9996	1.0391	d 20
78,30	75 67 79 12	70 13 70 91 74 20 75 75	65, 18	найдено
78, 29	73 67 78 29	69 05 69 05 73 67 73 67	64,44	вычислено
78,18	77, 83 78, 32	76,85 76,84 77,91 78,03	77,10	найдено
78,46	78,04 78,46	77, 58 77, 58 78, 04 78, 04	77,06	вычис- лено = ω
9.38	9,25 9,36	8 52 8 56 8 70 9,23	8,31	найдено = =
9,23	8 94 9 23	8 62 8 62 8 99	8, 25	лено
96—97	78 – 79 83 – 85·	8,62 76—77 8,62 120—122 8,99 115—117 8,94 98—100	8,25 154-155	Т. пл. тиштро- фенил- гидра- гидра- зона в °С
12,63	13.05	13, 27 13, 75 13, 05 13, 18	14,51	наки онадивн
12,72	13, 14 12,72	13,59 13,59 13,14 13,14	14,07	вычислено

R<sub>3</sub>O-CH<sub>3</sub>CH<sub>2</sub>COCH=C-CH<sub>3</sub>

Таблица 2

Кол-во исхо	дных вец	Продолжи-	Выход		
алкокси I, R <sub>1</sub> =		жлористый водород	тельность в часах	Во	
R=CH <sub>a</sub>	0,1	0,1	1	50	
$R = C_2H_5$	0,1	0,1	2	41,3	
R=C <sub>2</sub> H <sub>5</sub>	0,1	0,2	1	48,1	
R=C <sub>4</sub> H <sub>9</sub>	0,1	0,2	4	44,2	

Присоединение хлористого водорода к 5-метил-1,4-гексадиен-3-ону. Смесь 5,5 г (0,05 моля) дивинилкетона (II) и 1,87 г (0,05 моля) хлористого водорода оставлена в течение 20 часов и обработана аналогично вышеописанному. Получено 1,7 г (выход 23,20) 1-хлор-5-метил-4-гексен-3-она, т. кип.  $58-61^\circ$  при 2 мм;  $n_D^{20}$  1,4712. В литературе указаны т. кип.  $57-60^\circ$  при 8 мм,  $n_D^{20}$  1,4789 [2].

Алкилирование этилового эфира о-крезола 1,5-дихлор-5-метилгексан-3-оном. Из 8 г (0,06 моля) этилового эфира о-крезола и 11,2 г (0,06 моля) дихлоркетона (VIII), полученного по прописи [2], в присутствии 8 г (0,06 моля) хлористого алюминия получено 5 г (выход  $40,6^{0}/_{0}$ ) 2-метил-6(м-метил-n-этоксифенил)-гексен-2-она-4, т. кип.  $148-152^{\circ}$  при 3 мм;  $n_{D}^{20}$  1,5276.

Динитрофенилгидразон плавится при 79—80° и не дает депрессии с известным образцом.

2-Метил-6-(п-метоксифенил)гексан-4-он (VI). Из 4,18 г (0,035 моля) анизола и 5,1 г (0,03 моля)  $\beta$ -метоксиэтил- $\beta'$ , $\beta'$ -диметилэтилкетона (V) в присутствии 2,5 г (0,07 моля) хлористого водорода и 4,67 г (0,035 моля) хлористого алюминия получено 3,5 г (выход 45,4%) 2-метил-6-(п-метоксифенил)гексен-4-она (VI), т. кип. 146—147° при 4 мм;  $n_D^{20}$  1,5112,  $d_A^{20}$  0,9999, MRD найдено 65,91; вычислено 64,90. Найдено %: С 76,32; Н 9,05.  $C_{14}H_{90}O_{2}$ . Вычислено %: С 76,36; Н 9,09

2,4-Динитрофенилги дразон плавится при 114—116° (из смеси спирт, бензол).

6) 8 г 2-метил-6(n-метоксифенил)гексен-2-она-4 (IV) гидрировалось в 15 мл абсолютного спирта в присутствии платинового катализатора. Поглотилось рассчитанное количество водорода. Получено 5,1 г (выход 63,1%) 2-метил-6-(n-метоксифенил)гексан-4-она, т. кип. 147—150° при 4 мм;  $n_2^{20}$  1,5108;  $d_2^{20}$  0,9989.

Динитрофенилгидразон плавится при 116—117° (спирт, бензол) и не дает депрессии с предыдущим образцом.

Институт органической химии АН АрмССР

Поступило 5 II 1965

### ՎԻՆԻԼԱՑԵՏԻԼԵՆԻ ՔԻՄԻԱՆ

LXIV. Արոմաաիկ կորիցի ալկիլումը ալկօքսիվինիլ- և դիվինիլկետոններով

Ս. Հ. Վարդանյան, Ս. Կ. Վարդապեսյան և Շ. Հ. Aադանյան

## Udhnhnid

ջլորկետոնների առաջացմամբ։

Σլորկետոնների առաջացմամբ։

Σլորկետոնների առաջացմամբ։

Σլորկետոններ և հետարաբերի և հետարան և հետարան և հետանիլում է և հետանիլալ β-ալկում և հետանար և հետարանի և ալյում ին հետանար և հետանար

#### ЛИТЕРАТУРА

1. С. А. Вартанян, С. К. Вардапетян, Ш. О. Баданян, Изв. АН АрмССР, XH, 16 507 (1963).

2. И. Н. Назаров, Т. Д. Нагабина, Изв. АН СССР, ОХН, 1943, 206.

XIX, № 11, 1966

УДК 678.074+678.762.2+678.763.2

# Синтез и исследование привитых эластомеров

I. Синтез привитого сополимера цис-1,4-полибутадиен-хлоропрен

В. А. Даниелян, Л. А. Сохикян и Э. Д. Григорян

Синтезирован привитый сополимер цис-1,4-полибутадиен—хлоропрен полимеризацией хлоропрена в бензольных растворах цис-1,4-полибутадиена, в присутствни
разных свободнорадикальных инициаторов (перекись бензоила, гидроперекись кумола,
гидроперекись 1,1-дифенилэтана, динитрил азоизомасляной кислоты, система перекись
бензоила — диэтиланилин). Фракционным осаждением ацетоном привитые сополимеры
выделены из бензольных растворов и отделены от соответствующих гомополимеров
Определены химический состав и вискозиметрические константы выделенных.
фракций.

Синтезу, и, особенно, более или менее систематическому исследованию привитых или блок-сополимеров, содержащих полихлоропрен в основной или боковой цепи, посвящены только единичные работы, а также несколько патентов [1].

В настоящей работе описывается синтез и выделение из реакционной смеси привитого сополимера цис-1,4-полибутадиен-хлоропрен. полученного по механизму свободно-радикальной передачи цепи на полимер, при полимеризации хлоропрена в растворе цис-1,4-полибутадиена (СКД) в присутствии разных инициаторов. При таком механизме прививка может быть инициирована как прямой атакой основной полимерной цепи первичными радикалами инициатора, так и вследствие передачи цепи от гомополимерного макрорадикала к макромолекуле основного полимера. К такой атаке особенно чувствительны а-метиловые водородные атомы. При прививке на полидиены не исключается также присоединение первичного или макрорадикала по внутренней или боковой двойным связям. Возникновение активных центров вдоль основной макромолекулы приводит к астабилизации цепи и становится потенциальной причиной ее деструкции или структурирования, соответственно при малых и больших концентрациях полимера в растворе [2].

Для предотвращения этих вторичных процессов, а также для попутного доказательства возникновения активных центров нами были поставлены предварительные опыты по изучению взаимодействия инициатора с основной цепью в растворе. Так, при концентрации каучука (СКД) 0,5 z/100~мл и перекиси бензоила (ПБ) 0,075 z/100~мл в  $\kappa$ -гептане нагревание в атмосфере азота при 50°C в течение 8 часов привело к уменьшению удельной вязкости от  $\tau_{\text{уд}} = 0,830~\text{до}$ 

 $\eta_{yz}=0.435$ . Увеличение концентрации ПБ до 0,150 г/100 мл и продолжение нагрева в течение 4 часов при 45°C снизило вязкость раствора до  $\eta_{yz}=0.305$ . Только при концентрациях каучука 2 г/100 мл и выше наблюдалось структурирование и гелеобразование. При концентрации 2 г/100 мл в условиях, аналогичных вышеуказанным, удельная вязкость растворимой части увеличивалась от  $\eta_{yz}=8.67$  до  $\eta_{yz}=11.05$ . При этом около  $20^{\circ}/_{0}$  полимера сшивается. Таким образом, учитывая увеличение эффективности прививки при увеличении концентрации прививаемого полимера, а также уменьшение вероятности структурирования в условиях присутствия мономера, считали целесообразным работать при коцентрациях СКД от 2 до 3 г/100 мл. Такие концентрации СКД оказались подходящими также при проведении прививки в бензольных растворах.

Отделение привитого сополимера от гомополимеров осуществлялось фракционным осаждением. Для наиболее полного и чистого выделения привитого сополимера, который, как правило, выпадает из раствора между областями осаждения основных гомополимеров [3], были определены эти области в нескольких системах растворитель осадитель (табл. 1).

Таблица I
Области осаждения цис-1,4-полибутадиена (СКД) и полихлоропрена (ПХ)
в нескольких системах растворитель—осадитель при 20°С

Растворитель — осадитель	Полимер	Область осаждения $\gamma = \frac{V_{\text{oc.}}}{V_{\text{pact.}}}$			
Andrew III		начало	конец		
Бензол/метанол	СКД	0,20	0,31		
a Mary I. I was	пх	0,25	0,44		
Четыреххлористый углерод/метанол	СКД	0,20	0,29		
	ПХ	0,22	0,38		
и-Гептан/ацетон	СКД	0,72	1,28		
	пх	не растворяетс	я в и-гептане		
Четыреххлористый углерод/ацетон	СКД	1,06	1,66		
A DESCRIPTION OF THE PERSON OF	пх	2,62	3,40		
Бснзол/ацетон	СКД	0,82	1,28		
A CONTRACTOR	пх	2,1	3,1		

Все осаждения производились из разбавленных растворов полимеров (макс. конц. 1 г/100 мл) для предотвращения агломерирования и совместного осаждения разных фракций.

Так как области осаждения зависят как от среднего молекулярного веса полимеров, так и от их молекулярно-весового распределения, при определении приведенных данных использовались: СКД, применяемый при прививке, и немного более высокомолекулярный, чем полученный

в растворе эмульсионный полихлоропрен. Соответствующие измеренные вискозиметрические молекулярные веса 295100 (СКД) и 257000 (ПХ) были вычислены по формулам: для СКД,  $[\tau] = 3,37 \cdot 10^{-4}$  М<sup>0,716</sup> (бензол, 30°C) [4], для ПХ  $[\tau] = 1,46 \cdot 10^{-4}$  М<sup>0,78</sup> (бензол, 20°C) [5].

Данные таблицы 1 показывают, что, исходя из отдаленных областей осаждения гомополимеров и легкого центрифугирования, вследствие малых удельных весов растворителя и осадителя оптимальной можно считать пару бензол/ацетон. Она и была использована во всех опытах. Для проверки полноты разделения и чистоты фракций из смешанного раствора гомополимеров в бензоле с парциальными концентрациями СКД 0,5 г/100 мл и ПХ 0,5 г/100 мл (общий объем раствора 100 мл) производилось осаждение ацетоном в указанных пределах. Было осаждено 0,486 г СКД с элементарным составом (%): С 88,76; Н 11,02; С1 — отсутствие (вычислено С 88,88; Н 11,12) и 0,492 г ПХ с элементарным составом (%): С 54,35; Н 5,82; СІ 39,7 (вычислено С 54,2; Н 5,66; СІ 40,1).

Таким образом, отсутствие солюбилизации очевидно.

Синтез привитых сополимеров цис-1,4-полибутадиен—хлоропрен. Естественно, проведение синтеза в и-гептановых растворах привело бы к одновременному выделению полихлоропрена, так как последний нерастворим в указанном растворителе. Однако, полимеризация хлоропрена в и-гептане приводит к полностью или большей частью нерастворимым порошкообразным или образующим крошку при вальцовке каучукообразным полимерам. При увеличении концентрации мономера растворимость и стабильность каучукообразной фазы увеличивается. При  $[C_4H_5Cl] = 0,795$  моль/л и  $[\Pi B] = 1,46 \cdot 10^{-8}$  моль/л в и-гептане получается нерастворимый в алифатических, ароматических и хлорированных растворителях порошок желтого цвета. Увеличение концентраций мономера и инициатора до  $[C_4H_5Cl] = 2,52$  моль/л и  $[\Pi B] = 4,6 \cdot 10^{-8}$  моль/л в и-гептане дает эластичный полимер, частично растворимый в бензоле, толуоле, хлорбензоле и четыреххлористом углероде.

Полимеризация хлоропрена в растворах СКД в  $\kappa$ -гептане приводит к аналогичным результатам. Слабая прививка, ([C<sub>4</sub>H<sub>5</sub>Cl] = 0,077 моль/ $\kappa$ , [СКД] = 0,25 моль/ $\kappa$ , [ПБ] = 1,12·10<sup>-3</sup> моль/ $\kappa$ ) почти не дает боковых цепей (содержание ПХ в растворимой части  $\approx$ 0,5% вес.). Более глубокая прививка ([C<sub>4</sub>H<sub>5</sub>Cl] = 0,475 моль/ $\kappa$ , [СКД] =  $\approx$ 0,25 моль/ $\kappa$ , [ПБ] = 1,63·10<sup>-3</sup> моль/ $\kappa$ , содержание ПХ в нефракционированном продукте реакции 13,8% вес.) приводит к нерастворимым, дающим крошку при вальцовке полимерам. Температура реакции во всех опытах 50°  $\pm$  1°C.

Для предотвращения всех неудобств, связанных с гетерогенностью реакционной среды, дальнейшие опыты были поставлены в бензольных растворах. Условия синтезов с применением разных пе-

рекисных, гидроперекисных, азо- и окислительно-восстановительных инициаторов и полученные результаты приведены в таблице 2.

Таблица 2 Условия и результаты синтела привитого сополимера иис-1,4-полибутадиен хлоропрен с применением разных инициаторов

Инициатор	Концентрация в бензоле (моль/л)			атура ризации	поли-	иа в 10н.	Ha Ha	
	СКД	Хлоро- прен	Иннцнатор	Температу полимериза (°C)	Врсмя пол меризации (час.)	Содержанн хлоропрена нефракцион полнмере (0/0 вес)	Содержание хлоропрена в привитой фракции (°/0, всс)	
ПБ	0,310	0,486	1,66-10-3	50	8	18,1	10.9	
гпк	0,448	0,930	2,61-10-3	30	13	6,95	14,3	
гпк	0,413	1,272	2,92.10-3	30	13	30.0	10,5	
ГПК	0,412	1,710	$2,82.10^{-3}$	30	13	46,2	8,71	
ГДФЭ	0,412	1,710	2,08-10-3	30	13	51,5	11,2	
ДНАМК	0,412	1,710	2,81-10-3	30	13	61,0	27,8	
ПБ:ДЭА, 10:11	0,412	1,710	2.03.10-3	30	13	61,2	20,2	
ПБ:ДЭА, 20:11	0,412	1,710	2,03.10-3	30	13	33,3	7,7	
							7.4	

ПБ — перекись бензоила; ГПК — гидроперекись кумола; ГДФЭ — гидроперекись 1,1-дифенилэтана; ДНАМК — динитрил азоизомасляной кислоты; ДЭА — диэтиланилин. 1 Концентрации приведены относительно ПБ.

На рисунке приведена интегральная кривая осаждения реакционной смеси гомополимеров и сополимера, полученных в опыте № 6 таблицы 2.

Как видно, прививка протекает с разной эффективностью при использовании всех испытанных инициаторов, в том числе динитрила азоизомасляной кислоты. Интересно отметить, что при прививке метилметакрилата на натуральный каучук (цис-1,4-полиизопрен), в отличие от перекиси бензоила, ДНАМК оказался неэффективным [6]. Способность ДНАМК инициировать привитую сополимеризацию цис-1,4-полибутадиена указывает на возможное присоединение радикалов (СН<sub>3</sub>)2ССN к двойным связям цис-1,4-полибутадиена, тогда как цис-1,4-полиизопрен не способен к такому присоединению. Другим объяснением этого явления было бы уменьшение подвижности а-метиленового водорода цис-1,4-полиизопрена по сравнению с подвижностью того же водорода цис-1,4-полибутадиена. В таком случае прививка к цис-1,4-полибутадиену происходит только (или также) с отрывом а-водорода.

Снятые нами ИК-спектры привитых сополимеров качественно и количественно представляют наложение спектров смеси гомополимеров составляющих мономеров. Следоватезьно, не являясь доказательством присутствия привитого сополимера, ИК-спектроскопия может

служить методом структурного и количественного анализа графт-

полимера.

Определенные нами характеристические вязкости  $[\eta]$  средних фракций реакционных смесей полимеров, полученных в опытах таблицы 2, находятся в пределах  $1,05 \div 2,2$ , тогда как для исходного СКД  $[\eta] = 2,65$ . Уменьшение  $[\eta]$  с увеличением молекулярного веса для гомополимеров и привитых сополимеров с совместимыми основной и боковыми цепями может служить доказательством наличия разветвления. Определенные по формуле  $\eta_{yz}/C = [\eta] + K' [\eta]^2 C + \cdots$  константы Хаггинса K' привитых фракций имеют значения от 0,230 до

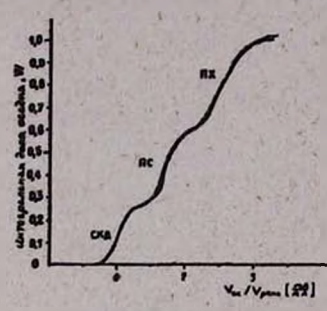


Рис. 1. Интегральная кривая фракционного осаждения смеси цис-1,4-полибутадиен (СКД) — привитый сополимер, цис-1,4-полибутадиен— хлоропрен, (ПС) — полихло-ропрен (ПХ). Растворитель— Клоропре бензол, осадитель — ацетон (темп. 22°С).

0,638, тогда как для исходного СКД K' = 0,351. Однако, изменение K' не может быть однозначным доказательством наличия или отсутствия привитых цепей [7].

Таким образом, самым достоверным признаком прививки в нашем случае пужно считать, в первую очередь, трехступенчатую интегральную кривую осаждения, а также заметное уменьшение характеристической вязкости средних фракций дробного осаждения.

## Экспериментальная часть

Бензол и н-гептан очищены от тиофена согласно [8].

Xлоропрен, после сушки пятиокисью фосфора ректифицирован дважды, непосредственно перед полимеризацией ( $t_{\text{кип.}} = 56,0 \div 56,5$ °C при 680 мм рт. ст.,  $n_D^{20}$  1,4582).

*Цис-полибутадиен* экстрагировался в течение 10-15 часов ацетоном в аппарате Сокслета и дважды растворен и переосажден бензолом и метаполом. *Сушка* исходных и синтезированных полимеров и сополимеров производилась в вакуум-сушилке под давлением  $P \leq 20$  мм рт. ст. и при температуре не выше 50°C. *Выделение* осажденных фракций производилось в термостатированной центрифуге в поле ускорения ≈8000 g.

Привитая полимеризация проводилась в термостатированной трехгорлой колбе, снабженной мешалкой, обратным холодильником и термометром, в токе очищенного от кислорода сухого азота.

Фракционное осаждение проводилось в термостатированной конической колбе с магнитной мешалкой, при интенсивном перемешивании и медленном добавлении осадителя.

Характеристические вязкости измерялись в вискозиметре типа Оствальда. Содержание полихлоропрена в полимерных фракциях определялось на основе элементарного анализа на Cl, путем пересчета на полихлоропрен, а в отдельных случаях производился полный эле-ментарный анализ для уточнения сомнительных данных.

Всесоюзный научно-исследовательский и проектный институт полимерных продуктов, Институт органической химии АН АрмССР

Поступило 31 VII 1965

# ՊԱՏՎԱՍՏՎԱԾ ԷԼԱՍՏՈՄԵՐՆԵՐԻ ՍԻՆԹԵԶ ԵՎ ՀԵՏԱԶՈՏՈՒԹՅՈՒՆ

II. ցիս-Պոլիբուտադիհն—քլորապրեն պատվաստված ճամատեղ պոլիմերի սինթեգ

Վ. Հ. Դանիհլյան, Լ. Ա. Սոխիկյան և Է. Դ. Գրիգույան

## Udhnynid

խապերը պատվաստված ոսպոլիմերի սինթեղ։ Արամե, Ձլորապերնի պոլիմերացման եղանակով ցիս-պոլիբուտադինը—քլո-Ներկա աչխատանքում նկարադրվում է ցիս-պոլիբուտադինն—ըլալիը, Ներկա աչխատանքում նկարադրվում է ցիս-պոլիբուտադիննի բենզոլալին

որուսան է, որ օգտագործված բոլոր ինիցիատորների ներկայությամբ (բևնզոիլի պերօքսիդ, կումոլի չիդրոպերօքսիդ, 1։1-դիֆենիլէ Թանի չիդրոպերօքսիդ, ազոիզոկարագաթթվի դինիտրիլ և բենզոիլի պերօքսիդ—դիէթիլանիլին տիստեմ) ջլորապրենի պատվաստումն ընթանում է տարբեր չափերով։

դես բենզոլում ստացված համատեղ արլիմ երները լրիվ լուծելի հեպտանա-Որոշված է նաև, որ պատվաստումը ցիս-պոլիբուտադիենի հեպտանա-

կալությունը։

Պատվաստված համատեղ պոլիմերները միաժամանակ առաջացած համապրիներից (պոլիքլորապրենից) և ռեակցիալի մեջ չմտած ցին-պոլիքուտադիննից անջատվել են կոտորակալին նստեցմամբ, նրանց խառնուրդի թենզոլալին լուծուլթները ացետոնով տիտրելով։ Ալդ, ինչպես նաև վիսկոզիմետրական տվյալներից որոշված Հագինսի հաստատունի արժեքները և էլեմենտար անակալությունը։

#### ЛИТЕРАТУРА

J. L. Bolland, H. W. Melville, Proc. 1-st. Rubb. Technol. Conf., London, p. 239 (1938); H. W. Melville, J. Chem. Soc., 1941, 414; D. J. Angler, W. F. Watson, J. Pol. Sci., 18, 129 (1955). Англ. пат. 828895, 837334, 838996. Пат. США 2842518 (описание патентов см. Р. Цереза, Блок и привитые сополнмеры, Мир, Москва, 1964, стр. 192, 199, 200, 210).

2. Л. М. Романов, Б. А. Долгоплоск, Б. Л. Ерусалимский, ДАН СССР, 105, 298

(1955).

3. J. Danon, M. Jobard, M. Lautout, M. Magat, M. Michel, M. Riou, C. Whippler, J. Pol. Sci., 34, 517 (1959).

4. F. Danusso, G. Moraglio, J. Pol. Sci., 51, 475 (1961).

- 5. W. E. Mochel, J. B. Nichols, J. Am. Chem. Soc., 70, 2185 (1948).
- 6. P. Allen, G. Ayrey, C. Moore, J. Pol. Sci., 26, 55 (1959). G. Ayrey, C. Moore, J. Pol. Sci., 36, 41 (1959).
- 7. J. M. Manson, L. Cragg, Can. J. Chem., 36, 858 (1957); J. Pol. Sci., 33, 193 (1958).
- 8. А. Вайсбергер, Э. Проскауэр, Дж. Риддик, Э. Тупс, Органические растворители. ИЛ, Москва, 1958.

XIX, № 11, 1966

УДК 678.074+678.742.4+678.763.2

# Синтез и исследование привитых эластомеров

11. Синтез привятого сополимера полиизобутилен-хлоропрен

#### В. А. Даниелян и К. М. Шагинян

Сиптезирован в растворе и массе и отделен от гомополимеров привитый сополимер полиизобутилен—клоропрен. Установлено, что процесс протекает в гетерогенных условиях и эффективность прививки повышается с увеличением вязкости реакционной среды. Найдено, что из трех исследованных инициаторов (гидроперекиськумола, перекись бензоила, динитрил азоизомасляной кислоты) при 40°С только первый способен инициировать прививку хлоропрена на полиизобутилен.

Гомополимерный полиизобутилен, как известно, из-за отсутствия двойных связей в цепи, не может вулканизироваться обычными для полидиеновых эластомеров вулканизирующими системами. Это достижимо лишь применением некоторых перекисных и гидроперекисных соединений при высоких температурах по механизму отрыва водорода. Сополимеризация изобутилена с  $1-2^0/_0$  дивинила или изопрена (бутилкаучук) позволяет вести вулканизацию с небольшой скоростью, применением серных систем. Бромирование бутил-каучука и применение специальных ускорителей повышает скорость вулканизации.

Привитая сополимеризация полиизобутилена с диеновыми мономерами позволит провести вулканизацию за счет боковых цепей.. Описанный в данной работе привитый сополимер полиизобутилен—хлоропрен способен вулканизироваться обычной для полихлоропрена системой ZnO—MgO. Полученный эластомер должен сочетать химические и физико-механические свойства составных сополимеров с преобладанием термо-механических свойств основной цепи, полиизобутилена.

В данной работе описывается синтез привитого сополимера полиизобутилен—хлоропрен методом полимеризации хлоропрена в толуольном растворе полиизобутилена и в массе, в присутствии свободно-радикальных инициаторов. При этом из трех применяемых инициаторов—гидроперекись кумола (ГПК), перекись бензоила (ПБ) и динитрил
азоизомасляной кислоты (ДНАМК)—в наших экспериментальных условиях эффективным оказался только первый.

Общей особенностью этого синтеза является несовместимость полиизобутилена с полихлоропреном в молекулярном и макромасштабах. Следует указать, что малополярная углеводородная цепь полиизобутилена делает её несовместимой не только с полихлоропреном, но также со многими другими полимерами, в том числе: с полистиролом. Последний случай был подробно изучен [1] при прививке стирола на. полиизобутилен. Как и в нашем случае, несовместимость привела к протеканию процесса в гетерогенных условиях с расслоением реакционной среды и образованию микро- и макрофаз. Это приводит к понижению эффективности прививки вследствие вытеснения части мономера из прививаемой зоны реакции и участия этой доли только в реакции гомополимеризации. Хотя и в зоне прививки создаются благоприятные условия для эффективной реакции прививки (большая концентрация основного полимера), значительная гомополмеризация в области, где отсутствует основной полимер, уменьшает эффективность прививки  $\delta$  ( $\delta = \frac{G_{\rm np.}}{G_{\rm ob.}}$ , где  $G_{\rm np.}$  — вес мономера, вступающего в реак-

цию прививки,  $G_{00}$ . — общий вес заполимеризованного мономера [2]).

Так как несовместимость существует и на молекулярном уровне, проведение реакции в очень вязких растворах или в массе, при больших концетрациях основного гомополимера увеличивает в большей степени, чем интенсивное перемешивание менее вязких растворов. В вязких средах, затруднение диффузии и, следовательно, расслоение приводит к максимальному контакту мономера с полимером и к увеличению зоны реакции прививки.

Прививка в толуоле при концетрациях полиизобутилена [ПИБ] = 0.536 моль/ $\Lambda$ , хлоропрена [C<sub>4</sub>H<sub>5</sub>Cl] = 2.58 моль/ $\Lambda$ , гидроперекиси кумола [ГПК] =  $1^{0}$ /<sub>0</sub> к хлоропрену, при интенсивном перемешивании (10 час,  $30^{\circ}$ C) приводит к расслоению на два слоя, верхний—мутный, нижний — прозрачно-желтый.

Разделние слоев и их отдельное фракционное осаждение показало, что верхний слой состоит из полиизобутилена (ПИБ), привитого сополимера (ПС) и полихлоропрена (ПХ), тогда как в нижнем слое содержатся только два последних полимера.

Элементарные анализы выделенных из слоев гомополимеров ( $^{0}$ /<sub>0</sub>): ПИБ — С 85,9, Н 14,00 (вычислено С 85,71, Н 14,3); ПХ — С 54,3, Н 5,9, СI 40,0 (вычислено С 54,2, Н 5,66, СI 40,1). Средние результаты элементарных анализов привитого сополимера из верхнего и нижнего слоев ( $^{0}$ /<sub>0</sub>): С 79,2, Н 12,6, СI 9,41. В пересчете на полихлоропрен, содержание последнего в привитом сополимере 23,5%. Приведенные данные указывают на почти полную чистоту выделенных фракций гомополимеров.

Для изучения эффекта вязкости реакционной среды при одинаковых концетрациях основного полимера была проведена прививка в массе и в толуольном растворе (табл. 1).

Вычисленные нами эффективности прививки: в растворе  $\delta=0,183$ , в массе  $\delta=0,352$ . В условиях опыта в массе, где вследствие большей конверсии мономера вязкость больше чем в растворе, наблюдается увеличение  $\delta$ , хотя и согласно Вексу [3] и Мори и сотр. [2], увеличение концентраций мономера и инициатора должно было привести

Таблица 1

Результаты синтеза привитого сополимера полиизобутилен—хлоропрен в толуоле и в массе ([ПИБ] = 0,536 моль/л, [С<sub>4</sub>H<sub>5</sub>C!]: в массе 10,8 моль/л, в толуоле 2,58 моль/л, [ГПК] =  $1^{0}/_{0}$  вес. от хлоропрена,  $40^{\circ}$ C, 15 час)

Среда реакции	Вес. <sup>0</sup> / <sub>0</sub> фрак-			Элементарный состав (%) фракций							ние	кон- лоро- вес.)		
	1 (ПИБ)	II (TIC)	(ХП) III	С	Н	CI	С	н	CI	С	H	CI	Содержа ПХ в ПС (°/0 вес.)	Степень версин х прена (°/,
Масса Раствор	нет 67,1	42,0 8,9	58,0 24,0	- 85,2	_ 13,8	Сл.	60,4 64,9	8,8 11,0	30,2 24,3	53,4 54,1	5,6 5,9	40,1 40,0	75,0 60,5	20,6 -8,55

к уменьшению д. Таким образом, при несовместимости составных гомополимеров проведение прививки в массе увеличивает ее эффективность в значительной степени, по сравнению с прививкой в растворе, вследствие увеличения общей вязкости реакционной среды.

В условиях, указанных в таблице 1, прививка в  $\kappa$ -гептане привела к нерастворимому в ароматических, алифатических и хлорированных растворителях сшитому продукту (степень конверсии хлоропрена 4,550%).

Для изучения эффекта инициатора была проведена прививка в массе, возбужденная инициаторами разных классов (ГПК, ПБ и ДНАМК) с использованием ПИБ с  $[\eta]=1,85, \overline{M}_v=832000$  и K'=0,794. Результаты приведены в таблице 2.

Таблица 2 Результаты синтеза привитого сополимера полинзобутилен—хлоропрен в массе в присутствии разных инициаторов ( $[C_4H_5CI]=10.8$ ,  $[\Pi UB]=0.536$ ,  $[\Gamma\Pi K]=0.066$ ,  $[\Pi B]=[\Pi HAMK]=0.033$  моль/л, 40°C, 8 час)

Вес. % фракций Степень Эффект конверсии Содержание ПХ Инициатор прививки. Ш хлоропрена в ПС (º/o вес) (ПИБ) (IIC)  $(\Pi X)$ (0/o, Bec) ГПК 10,3 21,8 18,0 60,2 88,7 (35,5% C1) 0.21 ПБ 13,0 18,3 3,9 77,8 13,4 (5,4%, C1) **ДНАМК** 16,8 13,2 5,9 80.9 66,0 (26,5% C1)

С ПБ в качестве инициатора, в условиях, указанных в таблице 2, в отсутствие ПИБ была поставлена также гомополимеризация хлоропрена. С конверсией 25,5% был получен полихлоропрен с  $[\eta]=1,53$ ,  $\overline{M}_{\pi}=464000$  и K'=0,33.

Смеси полимеров, полученных из опытов таблицы 2, были расфракционированы, и для фракций были определены [7], константы

Хаггинса K' (по формуле  $\frac{\eta_{y_A}}{C} = [\eta] + K' [\eta]^2 C + \cdots$ ), а также молекулярные веса гомополимерных фракций. Молекулярные веса ПИБ и ПХ были вычислены соответственно по формулам  $[\eta] = 2,0\cdot 10^{-4} \cdot \overline{M}_{v}^{0.67}$  (толуол, 20°C) [4] и  $[\eta] = 5,0\cdot 10^{-4}\cdot \overline{M}_{v}^{0.615}$  (толуол, 20°C [5]. Вискозиметрические данные фракций и молекулярные веса гомополимеров приведены в таблице 3. Прямые зависимости  $\frac{\eta_{y_A}}{C} = f(C)$  приведены на рисунке 1.

Таблица З

Вискозиметрические данные и молекулярные веса фракций реакционной смеси

ПИБ—хлоропрен (разные инициаторы)

		nt.	Ф	p a	к ц	и и	-18	
Инициатор	EU	I		4	11			
унициатор	[η]	k'	$\overline{M}_v \cdot 10^{-3}$	[ŋ]	k'	[ŋ]	k'	M <sub>v</sub> ·10 <sup>-3</sup>
гпк	1,94	0,675	890	3,46	0,308	1,215	0,33	319
ПБ	2,22	0,625	1087	1,00	0,175	0,78	0,33	155,4
ДНАМК	2,42	0,495	1248	1,04	0,241	1,15	0,25	293

Меньшее значение  $\delta$  в серии опытов с разными инициаторами, по сравнению с предыдущим опытом в массе ( $\delta=0.21$  и  $\delta=0.325$ ) в

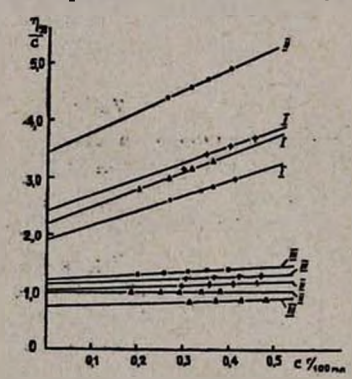


Рис. 1. Зависимости приведенных вязкостей  $\eta_{yz}/C$  фракций (I — ПИБ, II — ПС, III — ПХ) от их концентрации C при синтезе с разными инициаторами:  $\bullet$  — гидроперекись кумола,  $\triangle$  — перекись бензоила, + динитрил азоизомасляной кислоты.

одинаковых концентрационных и температурных условиях, можно объяснить лучшим контактом мономер—полимер во втором случае.

## Обсуждение результатов

Из приведенных данных видно, что во всех случаях скорость полимеризации хлоропрена уменьшается в присутствии полиизобутилена. Это можно объяснить тем, что радикалы инициатора участвуют не только в инициировании гомополимеризации, но и взаимодействуют с макромолекулами основного полимера (ПИБ), причем с деградацией инициирующей способности. Подобное уменьшение скорости полимеризации было отмечено и другими авторами [2, 6].

Молекулярные веса гомополимерных ПХ фракций при применении указанных

выше инициаторов значительно ниже молекулярного веса полихлоропрена, полученного в отсутствии основного полимера. Это указывает,

по всей вероятности, на протекание реакции деградативной передачи цепи от растущих макрорадикалов полихлоропрена к основному полимеру.

Сравнение вискозиметрических данных средних фракций и, прежде всего, наблюдаемый нами вид осадков при фракционировании доказывают, что прививка инициируется только гидроперекисью кумола, тогда как остальные два инициатора приводят лишь к гомополимеризации хлоропрена. Действительно, для второй фракции первого опыта таблицы 3 [7] = 3,46 (намного выше характеристической вязкости составных гомополимеров). Такое увеличение [1] вполне объяснимо образованием звездообразной структуры привитых макромолекул при сильно отличающихся полярностях и несовместимости составных гомополимеров. В случае остальных двух инициаторов, для средних фракций  $[\eta] = 1.00$  (ПБ) и  $[\eta] = 1.04$  (ДНАМК) меньше тех же параметров гомополимеров. Видимо, эти фракции состоят из осколков деструктированного или частично сольватированного ПИБ [7] и из высокомолекулярной части ПХ, перешедшего частично из третьей фракции во вторую. К' первого опыта (0,308) также больше двух остальных, хотя этот параметр однозначно не доказывает прививку [8].

Суммируя приведенные данные, мы предлагаем механизм прививки, согласно которому из трех изученных инициаторов только ГПК инициирует прививку отрывом метильного водородного атома ПИБ. Этот труднопротекающий акт отрыва метильного водорода нужно приписать очень активным  $CH_3$  радикалам, образующимся по реакции  $C_6H_5C(CH_3)_2O^{\cdot} \rightarrow C_6H_5COCH_8+CH_8$  [9]. Менее активные бензоатные, фенильные и  $(CH_3)_2CCN$  радикалы, а также аллильные концы полихлоропреновых макрорадикалов отрывают только более подвижные метиленовые водороды, которые приводят к астабилизации основной цепи, и скорее—к вторичным реакциям (разрыв цепи), чем к прививке. Увеличение молекулярного веса основного полимера после реакции, по-видимому, нужно объяснить именно этими вторичными реакциями [10].

## Экспериментальная часть

Полиизобутилен, подвергаемый прививке, промышленный образец марки П-80, экстрагирован ацетоном в аппарате Сокслета, растворен в толуоле и переосажден ацетоном. Хлоропрен дважды ректифицирован, причем, после первой ректификации высушен CaCl<sub>2</sub> или MgSO<sub>4</sub> ( $t_{\text{квп.}}$  56,2°C при 682 мм рт. ст.;  $n_{\text{colo}}^{20}$  1,4582,  $d_{\text{colo}}^{20}$  0,9583).

Прививку в растворе проводили в термостатированной трехгорлой колбе, снабженной термометром и мешалкой, под непрерывным током чистого азота. В массе прививка проводилась в ампулах со шлифом, в атмосфере азота. Фракционное осаждение проводилось в термостатированной ( $\pm$  0,1°C) трехгорлой грушевидной колбе, снабженной мешалкой, термометром и бюреткой для добавления осадителя. Фракции были высушены до постоянного веса, при температуре не выше 50°C.

Разделение ПС от гомополимеров было осуществлено фракционным осаждением смеси полимеров ацетоном из 10/0-ного толуольного раствора при 22°C. В первой фракции

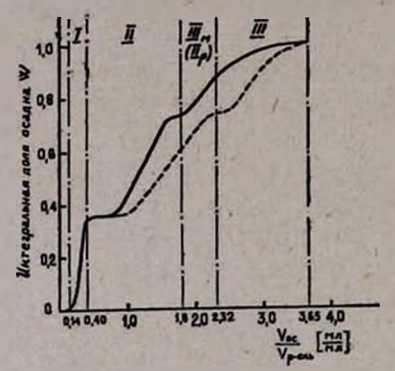


Рис. 2. Кривая фракционного осаждения системы ПИБ (I) + ПС (II) + + ПХ (III) при синтезе: — в массе, — - в растворе.

осаждали ПИБ от  $\gamma_1=0.14$  до  $\gamma_2=$  =0.40 ( $\gamma=\frac{V_{oc}}{V_{p-eab}}$ , где  $V_{oc}$  и  $V_{p-eab}$ — соответственно объемы осадителя и растворителя). В третьей фракции осаждали ПХ в интервалах  $\gamma_1=2.32$  до  $\gamma_2=3.65$  (прививка в растворе) и  $\gamma_1=1.80$  до  $\gamma_2=3.65$  (прививка в массе). Привитый сополимер, обладающий средней растворимостью, осаждался между указанными областями гомополимеров. Кривая фракционного осаждения изученной системы приведена на рисунке 2.

Для вискозиметрирования был использован вискозиметр типа. Уббелоде, позволяющий производить разбавления непосредственнов нем.

Институт органической химии АН АрмССР

Поступило 31 VII 1965.

## ՊԱՏՎԱՍՏՎԱԾ ԷԼԱՍՏՈՄԵՐՆԵՐԻ ՍԻՆՔԵԶ ԵՎ ՀԵՏԱԶՈՏՈՒՔՅՈՒՆ

II. Պոլիիզոբուաիլեն-թլորապրեն պատվաստված ճամատեղ պոլիմերի սինթեգ

Վ. Հ. Դանիելյան և Կ. Մ. Շահինյան

Udhahaid

Ներկա աշխատանքում նկարագրվում է ազատ-ռադիկալալին հարուցժան եղանակով, պոլիիզոբուտիլենի ներկալությամբ տոլուոլալին լուծուլթում և զանգվածում 40°C-ում քլորապրենի պոլիմերացմամբ պոլիիզոբուտիլեն քլորապրեն պատվաստված համատեղ պոլիմերների սինթեց։

Տոլուոլ--ացետոն զուլգով կոտորակալին նստեցմամբ և վիսկոզիմետրական տվլալների հիման վրա որոշված է, որ օգտագործված երեք հարուցիչներից (կումոլի հիդրոպերօքսիդ, բենզոիլի պերօքսիդ և ազոիզոկարագաթթվել դինիտրիլ), միալն առաջինն է ընդունակ հարուցելու պատվաստումը։ վաստման ռեակցիալի մեկանիդմ։

#### ЛИТЕРАТУРА

- 1. J. Sebban-Danon, J. chim. phys., 58, 246, 263 (1961).
- 2. I. Mori, I. Minoura, M. Imoto, Makromol. Chem., 24, 205 (1957).
- 3. J. F. Voeks, J. Pol. Sci., 18, 123 (1955).

1 1

- 4. T. G. Fox, P. J. Flory, J. Phys. Colloid. Chem., 53, 197 (1949).
- R. L. Scott, W. C. Carter, M. Magat, J. Am. Chem. Soc.. 71, 220 (1949); Rubber,. Chem. and Technol., 22, 660 (1949).
- 6. M. Lazar, J. Pavlinec, J. Pol. Sci., A2, No. 7, 3197 (1964).
- 7. Л. М. Романов, Б. А. Долгоплоск, Б. А. Ерусалимский, ДАН СССР, 105, 298 (1955); Р. Радо, Д. Шимункова, Высокомол. соед., 3, 1277 (1961).
- 8. J. M. Manson, L. H. Cragg, Can. J. Chem., 36, 858 (1957); J. Pol. Sci., 33, 193 (1958).
- 9. M. S. Kharash, A. Fono, W. Nudenberg, J. Org. Chem., 16, 113 (1951).
- 10. Л. М. Пырков, С. Я. Френкель, Усп. хим., 32, 305 (1963).

XIX, № 11, 1966

#### КРАТКИЕ СООБЩЕНИЯ

УДК 541.123.6+541.8

# Диаграмма растворимости четверной взаимной системы Na<sub>2</sub>SiO<sub>3</sub>—K<sub>2</sub>SiO<sub>3</sub>—NaOH—KOH—H<sub>2</sub>O при 0°C

Г. Г. Бабаян, Э. А. Саямян, Э. Б. Оганесян и А. П. Гюнашян

В ранее проведенных исследованиях [1] нами были даны сведения по растворимости вышеуказанной системы при 15°С. Для выявления температурной зависимости полей кристаллизации была исследована растворимость в системе Na<sub>2</sub>SiO<sub>3</sub>—K<sub>2</sub>SiO<sub>3</sub>—NaOH—KOH—H<sub>2</sub>O при 0°С. Полученные данные были пересчитаны на солевой состав сделанный по принципу преимущественного связывания ионов в менее растворимые соли и носящий поэтому условный характер и состав в ионных процентах.

Были установлены ветви кристаллизации, отвечающие сосуществованию  $Na_3HSiO_4 \cdot 10H_2O$  и  $Na_2SiO_2 \cdot 9H_2O$  (от т. 1 до т. 2), ветвы  $Na_3HSiO_4 \cdot 10H_3O$  и  $NaOH \cdot H_2O$  (от т. 2 до т. 3), ветвы  $NaOH \cdot H_2O$  и  $Na_2SiO_3 \cdot 9H_2O$  (от т. 2 до т. 4).

Было установлено образование двух двойных солей составов  $3Na_2SiO_3 \cdot K_2SiO_3 \cdot 21H_2O$  и  $Na_2SiO_3 \cdot 3K_2SiO_3 \cdot 17H_2O$ . Поле кристаллизации первой соли ограничено с одной стороны ветвью совместной кристаллизации  $Na_2SiO_3 \cdot 9H_2O$  и  $3Na_2SiO_3 \cdot K_2SiO_3 \cdot 21H_2O$  (от т. 5 до т. 6), с другой стороны ветвью совместной кристаллизации  $3Na_2SiO_3 \cdot K_2SiO_3 \cdot 21H_2O$  с твердыми растворами между двойными солями Na и K — силикатов  $T_1$  (от т. 5 до т. 7) и ветвью совместной кристаллизации  $3Na_2SiO_3 \cdot K_2SiO_3 \cdot 21H_2O$  и  $Na_2SiO_3 \cdot 3K_2SiO_3 \cdot 17H_2O$  (от т. 6 до т. 8). Поле кристаллизации второй двойной соли —  $Na_2SiO_3 \cdot 3K_2SiO_3 \cdot 17H_2O$  ограничено ветвью совместной кристаллизации  $Na_2SiO_3 \cdot 9H_2O$  с  $Na_2SiO_3 \cdot 3K_2SiO_3 \cdot 17H_2O$  с одной стороны, с другой стороны  $Na_2SiO_3 \cdot 3K_2SiO_3 \cdot 17H_2O$  с твердыми растворами между двойными солями Na и K—силикатов— $T_1$ .

Ниже  $55^{\circ}/_{0}$  ионных ОН происходит обрыв первой ветви, ниже  $60^{\circ}/_{0}$  — второй ветви в связи с прекращением кристаллизации этих солей при больших концентрациях  $K_{2}SiO_{3}$ . Поэтому поле кристаллизации  $Na_{2}SiO_{3} \cdot 3K_{2}SiO_{3} \cdot 17H_{2}O$  в нижней части не ограничено. При высоких содержаниях ионов ОН (выше  $98^{\circ}/_{0}$  ионов) наблюдается поле кристаллизации  $NaOH \cdot H_{2}O$ , которое ограничено ветвью совместной кристаллизации  $NaOH \cdot H_{2}O$  и твердых растворов T, и очень узкой ветвью совместной кристаллизации  $NaOH \cdot H_{2}O$  с твердыми растворами между  $NaOH \cdot H_{2}O$  и  $KOH \cdot H_{2}O - T_{1}$ .

Имеется очень узкое поле выделения твердых растворов Тограниченное ветвью совместной кристаллизации  $T_1$  и  $KOH \cdot H_2O$  и поле выделения  $KOH \cdot H_2O$ , ограниченное с одной стороны ветвью совместной кристаллизации  $KOH \cdot H_2O$  с твердыми растворами  $T_1$ , с другой стороны ветвью совместной кристаллизации  $KOH \cdot H_2O$  и  $KOH \cdot 2H_2O$  и, наконец, поле кристаллизации  $KOH \cdot 2H_2O$ , ограниченное ветвью совместной кристаллизации  $KOH \cdot 2H_2O$  с твердыми растворами  $T_1$ . Данная ветвь при достижении  $53^0/_0$  ионных  $OH^-$  и  $93^0/_0$  ионных  $OH^-$  и  $OH^-$  и

Таким образом, диаграмма растворимости взаимной четверной системы Na<sub>2</sub>SiO<sub>3</sub>—K<sub>2</sub>SiO<sub>3</sub>—NaOH—KOH—H<sub>2</sub>O при 0°C имеет девять полей кристаллизации, ограниченных 12-ю линиями одновременной кристаллизации двух соединений, восемью эвтоническими точками, отвечающими совместной кристаллизации трех соединений и пятью эвтоническими точками, отвечающими совместной кристаллизации двух соединений.

Точки совместной кристаллизации:

- 1.  $Na_2SiO_3 \cdot 9H_2O + Na_3HSiO_4 \cdot 10H_2O$ ;
- 2.  $Na_2SiO_3 \cdot 9H_2O + Na_3HSiO_4 + T_1$ ;
- 3.  $Na_3HSiO_4 \cdot 10H_2O + NaOH \cdot H_2O$ ;
- 4.  $Na_3HSiO_4 \cdot 10H_2O + NaOH \cdot H_2O + T_1$ ;
- 5.  $Na_{s}SiO_{s} \cdot 9H_{s}O + 3Na_{s}SiO_{s} + K_{s}SiO_{s} \cdot 21H_{s}O + T_{s}$
- 6.  $Na_2SiO_3 \cdot 9H_2O + 3Na_2SiO_3 \cdot K_2SiO_3 \cdot 21H_2O + Na_2SiO_3 \cdot 3K_2SiO_3 \cdot 17H_2O$
- 7.  $3Na_{2}SiO_{3} \cdot K_{2}SiO_{3} \cdot 21H_{2}O + Na_{2}SiO_{3} \cdot 3K_{2}SiO_{3} \cdot 17H_{2}O + T_{1}$ ;

NaOH·H<sub>2</sub>O + T

 $NaOH \cdot H_2O + T_1 + T$ 

 $KOH \cdot H_2O + T_1 + T$ 

 $KOH \cdot H_3O + T_1$ 

 $KOH \cdot H_2O + KOH \cdot 2H_2O + T_1$ 

 $KOH \cdot H_2O + KOH \cdot 2H_2O$ 

В отличие от диаграммы при 15°С, поля кристаллизации диаграммы при 0°С значительно сократились. Так например, если в случае 15°С ветвь  $Na_2SiO_3 \cdot 3K_2SiO_3 \cdot 17H_2O$  обрывается при  $35^0/_0$  ионных ОН, то при 0°С та же ветвь обрывается уже при  $55^0/_0$  ионных ОН. Точно такая же картина наблюдается для ветви  $Na_2SiO_3 \cdot 3K_2SiO_3 \cdot 17H_2O + T_1$  и для ветви  $T_1 + KOH \cdot 2H_2O$ . Вообще все области кристаллизации суживаются. Это объясняется тем, что количество выделившегося осадка при 0°С больше, и соответственно содержание кремнезема в растворе ниже.

Ереванский научно-исследовательский институт химии Госхимкомитета СССР

Поступило 17 XII 1965

#### ЛИТЕРАТУРА

1. Г. Г. Бабаян, А. П. Гюнашян, Э. Б. Оганесян, Э. А. Саямян, Арм. хим. ж., 19 175 (1966).

XIX. № 11, 1966

УЛК 547.722.4

# Синтез 3,4-дихлорфурана

Г. М. Мкрян, С. Э. Зурабян, А. В. Арутюнян и Р. А. Казарян

Известно, что введение галоида в β-положение и особенно двух галоидных атомов в 2,3-положение сопряженных диенов приводит к соединениям, полимеризующимся значительно быстрее соответствующих углеводородов; в частности, 2,3-дихлорбутадиен-1.3 полимеризуется примерно в 2000 раз быстрее бутадиена [1]. В связи с этим можно было ожидать, что в 3,4-дихлорфуран, имеющий структуру, родственную 2,3-дихлорбутадиену-1,3, в отличие от фурана, окажется соединением, способным самопроизвольно полимеризоваться.

Непосредственное хлорирование фурана элементарным хлором, как известно, приводит к смеси 2-, 2,5-, и 2,3,5-галоидопроизводных. Единственное упоминание в литературе о 3,4-дихлорфуране относится к 1930 году, где синтез его был осуществлен декарбоксилированием 3,4-дихлорпирослизевой кислоты [2]. В работе не ука-

зывалось о способности 3,4-дихлорфурана к полимеризации.

Синтез 3,4-дихлорфурана был осуществлен нами, исходя из бутин-2-диола-1,4 по следующей схеме:

Получение 2,2,3,3-тетрахлорбутандиола путем хлорирования диацетата бутиндиола и его омыления давало более высокий суммарный выход продукта, чем при непосредственном хлорировании бутиндиола. Наши попытки получить тетрахлорбутандиол с удовлетворительными выходами хлорированием бутиндиола по известным в литературе потентным данным [3,4] не увенчались успехом.

Попытки провести циклизацию тетрахлорбутандиола в тетрахлортетрагидрофуран были безуспешными в случае применения таких дегидратирующих агентов, как серная и фосфорная кислоты. Либо исходное вещество возвращалось неизменным, либо реакционная масса значительно осмолялась (конц. серная кислота при температуре ~ 150°). Твердые водоотнимающие агенты, применяемые для циклизации ү-гликолей [5], оказались более подходящими. Выяснилось, что во всех

случаях наряду с циклодегидратацией при температуре ~200° происходит также и отщепление хлористого водорода.

Из испытанных отщепляющих агентов — безводный хлористый цинк, фосфат алюминия и окись алюминия — наилучшим оказалась прокаленная при 300—400° окись алюминия. В среде дифенилового эфира при температуре 190—220° с одновременной отгонкой продуктов из зоны реакции был получен 3,4-дихлорфуран с выходом 54%. При использовании хлористого цинка и фосфата алюминия выход дихлорфурана колебался в пределах 16—20%.

3,4-Дихлорфуран легко вступает в реакцию с малеиновым ангидридом, давая неизвестный до сих пор 3,6-эндоксо-4,5-дихлор-1,2,3,6-тетрагидрофталевый ангидрид:

Полученный 3,4-дихлорфуран при стоянии без стабилизатора в течение 1,5—2 месяцев превращается в вязкий полимерный продукт. Об исследовании по полимеризации 3,4-дихлорфурана будет сообщено позднее.

#### Экспериментальная часть

Диацетат бутин-2-диола-1,4 получен с выходом 91,2% нагреванием бутиндиола с уксусным ангидридом [6]. Хлорирование диацетата с выходом диацетата 2,2,3,3-тетрахлорбутандиола 60,5% осуществлено при 20° в четыреххлористом углероде [7].

2,2,3,3-Тетрахлорбутандиол. Смесь 78 г диацетата 2,2,3,3-тетрахлорбутандиола, 40 мл воды, 80 мл концентрированной соляной кислоты и 150 мл спирта перемешивали 6 часов при 50— $60^\circ$ . Реакционную смесь упаривали в вакууме почти досуха. Кристаллический остаток отфильтровывали, промывали водой и перекристаллизовывали из водного спирта. Выход 52,0 г  $(91,2^0/_0)$  2,2,3,3-тетрахлорбутандиола с т. пл. 254— $255^\circ$  (лит. [7] т. пл.  $250^\circ$ ).

3,4-Дихлорфуран. В трехтубусную колбу помещали смесь 114 г 2,2,3,3-тетрахлорбутандиола, 100 г прокаленной при 300—400° окиси алюминия и 200 мл дифенилового эфира, нагревали до температуры 190—220° при перемешивании. Отгоняющиеся продукты конденсировали в нисходящем холодильнике и собирали в приемнике. Реакцию считали законченной, когда прекращался отгон продуктов из реакционной колбы (~2 часа). Отгон промывался водой, раствором соды, снова водой, затем сушили сульфатом магния. После перегонки получили 37,2 г (54,3⁰/₀) 3,4-дихлорфурана, кипящего при 117—119°/680 мм, 55—56°/70 мм, п<sup>20</sup> 1,4860, d<sup>20</sup> 1,4119 (лит. [2] т. кип. 122,8—123,1°, п<sup>20</sup> 1,4861, d<sup>20</sup> 1,4136). Найдено ⁰/₀: С1 51,8. С₄Н₂СІ₂О. Вычислено ⁰/₀: С1 51,75.

При стоянии в течение 1,5—2 месяцев дихлорфуран превращается

в вязкий полимерный продукт.

3,6-Эндоксо-4,5-дихлор-1,2,3,6-тетрагидрофталевый ангидрид. Смесь 4,1 г 3,4-дихлорфурная и 3,0 г малеинового ангидрида в 8 мл бензола слегка нагрета и оставлена на 2 часа при комнатной температуре. Выпавший аддукт (5,9 г) отфильтрован; из маточника выделен еще 1,0 г вещества. После перекристаллизации из бензола т. пл. 147—147,5°. Найдено %: С 40,72, Н 1,69, СІ 30,01. С<sub>в</sub>Н<sub>4</sub>СІ<sub>2</sub>О<sub>4</sub>. Вычислено %: С 40,86, Н 1,71, СІ 30,21.

Всесоюзный научно-исследовательский и проектный институт полимерных продуктов

Поступило 18 1 1966

#### ЛИТЕРАТУРА

1. А. А. Петров, Усп. хим., 13, 203 (1944).

2. A. F. Shepard, N. R. Winslow, J. R. Johnson, J. Am. Chem. Soc., 52, 2083 (1930)

3. Брит. пат., 803058 (1958) [С. А., 53, 7992 (1959)].

4. A. Echte, H. Ganster, Пат. ФРГ, 1152395 (1964) [РЖХим., 1965, 6H27].

5. Брит. пат. 508548 (1939) [С. А., 34, 779 (1940)].

6. G. F. Hennion, F. D. Kupiecki, J. Org. Chem., 18, 1601 (1953).

7. Т. Нада, М. Sato, Японск. пат., 18270 (1960) [С. А., 55, 22136 (1961)].

XIX, № 11, 1966

## Азат Акопович Алчуджан

Азат Акопович Алчуджан родился в 1906 г. в г. Ахалцихе, Груз.ССР. Начальное образование получил в Баку. В 1932 г. окончил Ленинградский технологический институт им. Ленсовета. В 1936 г. защитил кандидатскую диссертацию на тему: "К вопросу о гидрогенизационном катализе". С 1938 г. по сей день он бессменно руководит кафедрой общей и аналитической химии (ныне — общей и неор-

ганической химии) Ереванского политехнического института им. К. Маркса.

С 1943 по 1957 гг., будучи зав. кафедрой, являлся также деканом химико-технологического факультета института.

Наряду с плодотворной педагогической деятельностью А. А. Алчуджан постоянно и интенсивно ведет научно-исследовательскую работу. Основным направлением его научно-исследовательской деятельности является область гетерогенного катализа. В 1952 г. защитил докторскую диссертацию на тему: "Изучение металлических палладия, кобальта, никеля и никеля на окиси алюминия, как катализа-



торов гидрирования". Вскоре же он был утвержден в ученом звания профессора.

В 1932—1935 годах им обнаружено влияние скорости пропускания водорода на активность никелевого катализатора при его формировании. На основании этих работ удалось повысить активность катализаторов синтеза аммиака, что нашло широкое промышленное применение. Большой теоретический и практический интерес представляют такжеработы Азата Акоповича в области комплексной переработки минерального сырья Армянской ССР. В настоящее время он руководит работами по теме, связанной с комплексным использованием сваранцской железо-оливинитовой руды, а также шоржинских ультраосновных пород.

А. А. Алчуджан автор более шестидесяти научных трудов. Кромемногих статей в специальных периодических изданиях, им написаны

книги и учебно-методические пособия. Впервые им составлен практикум по химии на армянском языке, которым широко пользуются студенты политехнического института и других вузов республики. На армянском языке им написано учебное пособие "Высокомолекулярные соединения". Он является редактором книг на армянском языке: "Качественный анализ", "Основы металлургии" и др.

А. А. Алчуджан непрерывно воспитывает и растит молодых научных работников. Под его руководством выполнено несколько диссертационных работ. В настоящее время он является научным руководителем ряда аспирантов и соискателей. Он является членом многих ученых Советов, активно участвует в партийной и общественной работе института, является председателем первичной организации Всесоюзного химического общества им. Д. И. Менделеева, членом редакционной коллегии Армянского химического журнала. А. Алчуджан удостоен почетных грамот Армянской ССР и награжден медалями. В 1965 г. ему было присвоено почетное звание заслуженного деятеля науки Армянской ССР.

Отмечая большие заслуги Азата Акоповича Алчуджана в деле подготовки молодых специалистов республики, а также в деле развития химии в республике, коллектив Ереванского политехнического института и редакция Армянского химического журнала желают юбиляру долгих лет плодотворной научной и общественной деятельности и новых творческих успехов.

# **۴በዺ ԱՆ Դ Ա Կ በ Ւ Թ Ց በ Ւ Ն**

	t.
Ընդհանուր և ֆիզիկական քիմիա	
Մ. Դ. Մուսերիձե, Ա. Հ. Մանրաշյան, Ա. Ռ. Նալբանդյան — Մեթանի՝ «Եղեկի գ	n/h
դոյացում Ն. Մ. Ռևյլևրյան, Ֆ. Հ. Կարապետյան, Հ. Հ. Չալրիկյան — Մի ջանի ԹԹունե աղդեցությունը բենպոյային յուծույթներում բենդոիլի պերօջոիդ — բենդիյամ	re h
ռևակցիայի կինևարկայի վրա Լ. Ն. Սաղոյան, Ս. Ա. Ալևշկերիչ — Նիկելի ենքերըսիցի հիդրատի Էլեկտրանադորգ։	
կանության ուսումնասիրություն. Գ. Ա. Չուխաջյան, Լ. Գ. Մհլրոնյան, Ցու. Կ. Կաբալյան, Ս. Մ. Ոսկանյան, Ցու. Կոտիկյան — <i>Ելեկտրահաղորդականության մեթոդի օգտագործումը ացե</i> տա	U.
դենիդի պոլիմերացման կինետիկայի ուսումնասիրման նամար	
Ս.նօ <b>ւգանական և անալի</b> շիկ քիմիա	
Ս. Վ. Ռաժիկովսկայա, Վ. Խ. Հովնաիննիսյան — Քրոժի սեսկվիսուլֆիզի սապում և ֆիզիկա-թիժիական հատկությունները	. 844  S
այջայի և արևողուկաը որպես այրման կառալիդատորը ունիվերոալ կլան	
օրդանական նյութերի մեջ C և H որոցելիս	
ամիաժանը և գարապարմ արև մանրորդեն ի մինաց և արերագրություններու	
Ա. Ա. Աբրանամյան, Հ. Ա. Մեդրոյան, Ռ. Ս. Սարգսյան, Գ. Հ. Գալսայան — <i>Օրգո</i>	
Նական միացություններում ածխածնի, ջրածնի և ֆաորի համատեղ որոշմա	-2
նոր եղանակ	. 259
Օրգանական քիմիա	
Ս. Հ. Վարդանյան, Շ. Հ. Բադանյան, Ա. Վ. Մուշեղյան — Վ <i>իъիլացեաիլեեի ջիմիա</i> ։	200
LXXV. Ացետիլեն-ալլևն-կումուլենային վերմիմերավորում՝ վինիլացետ	
քրրայիր ծնահիմրրեաուպ ծնաևն ագրորդակ արձափանրկա	
Ս. Հ. Վարդանյան, Լ. Վ. Օգանովա, Շ. Հ. Բադանյան — Չնադեցած միացություններ	· /·
գիժիան։ IV. Վինիլգի-ցնաիլենային սպիրաների և գիվինիյդիացետիլենայի	
ածխաջրաժինների տին Թեղ	. 871
Ս. Հ. Վարդանյան, Ս. Կ. Վարդապհայան, Շ. Հ. Բադանյան — Վիծիլացետիլեծի ջի միած։ LXIV. Արոմտակն կորիդի ալկիլումը ալկօգտիվիծիլ- և գիվիծիլկն	-
ուսը, բրերով	
Վ. Հ. Դանիհլյան, Լ. Ա. Սոխիկյան, Է. Դ. Գրիգորյան — <i>Գատվաստված էլաստոմեր</i>	
ների սին թեղ և հետաղոտությաւն։ I. ցիս-Գոլիբուտադիեն — գլորապրեն պատ	
թաստված համատեղ պոլիմերի սինթեղ	
Վ. Հ. Գանինլյան, Կ. Մ. Շանինյան — <i>Գաավաստված էլաստոժեթնիրի ոինթեղ և հե</i>	
տազոտություն։ II. Գոլիիդորուտիլեն—բլորապրեն պատրաստված համատն	
ալոլիմերի սինքեկ	
hars hagnrynedsbr	
Հ. Գ. Բաբայան, Է. Ա. Սայամյան, Է. Բ. Հովճաննիսյան, Ա. Գ. Գյունաշյան-	
Na <sub>3</sub> SiO <sub>3</sub> —K <sub>2</sub> SiO <sub>3</sub> —NaOH—KOH—H <sub>2</sub> O փոխադարձ չորրորդային տիսանա լուծելիության դիադրամը 0°C-ում	
Գ. Մ. Մկրյան, Ս. Է. Զուրաբյան, Ա. Վ. Հարությունյան, Ռ. Ա. Ղազա <u>թ</u> յան — <i>8,4-Դի</i>	
ֆլորֆուրանի տիննեզ	898
lorn 6 þ կ m	
Ա. Հ Ալչուցյան (Ծննգյան 60-ամյակի առթիվ)	901
14 44	7-1

901

0	4	-	•	4		

А. А. Алчубжан (к. 60-летию со дня рождения) . . . . . .

COLUMN STREET STREET, STREET, UNUTSTI